

# Copyright ©

---

Es gilt deutsches Urheberrecht.

Die Schrift darf zum eigenen Gebrauch kostenfrei heruntergeladen, konsumiert, gespeichert oder ausgedruckt, aber nicht im Internet bereitgestellt oder an Außenstehende weitergegeben werden ohne die schriftliche Einwilligung des Urheberrechtsinhabers. Es ist nicht gestattet, Kopien oder gedruckte Fassungen der freien Onlineversion zu veräußern.

German copyright law applies.

The work or content may be downloaded, consumed, stored or printed for your own use but it may not be distributed via the internet or passed on to external parties without the formal permission of the copyright holders. It is prohibited to take money for copies or printed versions of the free online version.

Aus dem Institut für Meereskunde der Universität Kiel

## Zum System der internen Seiches der Ostsee

Von WOLFGANG KRAUSS

**Zusammenfassung:** Es wird von den Seichesperioden, die G. NEUMANN (1941) und W. KRAUSS und L. MAGAARD (1962) berechnet haben, ausgegangen. Abschnitt 1 gibt an Hand eines rechteckigen Meergebietes ( $x, z$ -Ebene) mit exponentieller DichteVerteilung, wie sie typisch für die westliche und mittlere Ostsee ist, die theoretische Konzeption an. Diese liegt Abschnitt 2 zugrunde, in dem das Seichessystem für eine reale Dichte- und Tiefenverteilung der Ostsee (ohne Bottmischen Meerbusen) berechnet wird. In Abschnitt 3 wird an einer Meßreihe gezeigt, daß sich die komplizierte Tiefenverteilung der horizontalen Strömungen durch interne Wellen 1.—5. Ordnung interpretieren läßt, und daß die Strömungen, die zu den internen Wellen 2.—5. Ordnung gehören, jene der Oberflächenseiches übertreffen. Die Analyse zeigt, daß mit den Oberflächenseiches gleichzeitig interne Seiches derselben Periode aber mit sehr kurzer Wellenlänge auftreten, wie sie in den Abb. 42—45 dargestellt sind.

**On the System of Internal Seiches of the Baltic Sea (Summary):** The system of internal seiches of the Baltic Sea has been analysed and interpreted. In section 1 the combined system of surface and internal seiches is treated for a rectangular basin in the  $x, z$ -plane. The vertical component of the velocity is governed by (1.15)—(1.17), with the solution (1.22) and (1.24) for the density distribution (1.21). The horizontal currents follow from (1.18).

Two seiches-systems are possible (1.35):

- if internal and surface seiches have the same wavelength  $\frac{2\pi}{n}$ , the period of the internal seiches would have the magnitude of several months, which does not seem to be realized.
- if internal and surface seiches have the same period  $\tau_{nc} = \tau_{nm}$ , internal seiches have only very short wave-lengths (20—100 km).

In section 2 the internal seiches of the above mentioned case b) have been computed for a real density and depth distribution along a section (Fig. 1) from the Western Baltic to the Gulf of Finland. Fig. 2—41 give the distribution  $\bar{\rho}(z)$ ,  $W_n(z)$  and  $\frac{dW_n}{dz}$  for the internal modes 1, 2, 3, at the stations 2, 4, ..., 82. The integration is based on equ. (2.11)—(2.13) with  $\Gamma(z)$  given by table 1. Table 2 gives  $W_n(z)$  and  $\frac{dW_n}{dz}$ , table 3 contains the eigenvalues  $\nu_n$ , from which the wave numbers  $z_n$  may be computed according to (2.12). Fig. 42—43 and 44—45 show the waves of the first and second mode for the 27,5- and 17,6-hour-period of the seiches. Section 3 compares theory and observations at the mast position.

Current measurements (Fig. 46) have been analysed according to equations (3.1)—(3.8), the amplitude and phase distribution are shown in Fig. 47—50 for the u- and v-components. The amplitudes strongly depend on depth, which indicates that internal waves must contribute to a high degree. Therefore, the observed currents have been interpreted according to (3.8)—(3.12) as a sum of the surface mode  $n = 0$  and the internal modes  $n = 1, \dots, 5$  for the seiches periods  $\tau_i$ . The amplitudes of the modes are shown in table 4; theoretical computed and observed currents are compared in table 5. The correspondence is satisfactory, as could be expected for the eigenvalue-expansion, so that the coefficients of table 4 give the magnitude of the contributions of the modes. It may be seen from the depth dependency of the spectra (Fig. 47—50) and from table 4, that internal and surface seiches coincide in period and that especially the internal modes  $n = 3$  and  $n = 4$  contribute to the currents. The currents belonging to the internal modes are generally stronger than the current of the surface mode.

### 1. Das Seiches-System eines zweidimensionalen Meeresraumes

Im Rechtssystem  $x, z$  mit  $z = 0$  als ruhender Meeresoberfläche und  $z$  positiv vertikal nach unten, lauten die hydrodynamischen Störungsgleichungen zur Beschreibung interner Wellen

$$(1.1.) \quad \tilde{\rho} \frac{\partial u}{\partial t} + \frac{\partial p}{\partial x} = 0$$

$$(1.2.) \quad \tilde{\rho} \frac{\partial w}{\partial t} - g \rho + \frac{\partial p}{\partial z} = 0$$

$$(1.3.) \quad \frac{\partial \rho}{\partial t} + w \frac{d \tilde{\rho}}{d z} = 0$$

$$(1.4.) \quad \frac{\partial u}{\partial x} + \frac{\partial w}{\partial z} = 0$$

Hierin sind  $u$ ,  $w$ ,  $\rho$  und  $p$  die Störungsgrößen der Geschwindigkeitskomponenten in  $x$ - bzw.  $z$ -Richtung, der Dichte und des Druckes.  $\tilde{\rho} = \tilde{\rho}(z)$  bedeutet die mittlere Dichte,  $v$  und der Coriolisparameter  $f$  wurden vernachlässigt, da Vorgänge in der  $xz$ -Ebene untersucht werden.

Mit

$$(1.5.) \quad p^* = \frac{p}{\tilde{\rho}}, \rho^* = \frac{\rho}{\tilde{\rho}}, \Gamma = \frac{1}{\tilde{\rho}} \frac{d \tilde{\rho}}{d z}$$

gehen (1.1.) — 1.4.) über in

$$(1.6.) \quad \frac{\partial u}{\partial t} + \frac{\partial p^*}{\partial x} = 0$$

$$(1.7.) \quad \frac{\partial w}{\partial t} - g \rho^* + \frac{\partial p^*}{\partial z} + \Gamma p^* = 0$$

$$(1.8.) \quad \frac{\partial \rho^*}{\partial t} + \Gamma w = 0$$

$$(1.9.) \quad \frac{\partial u}{\partial x} + \frac{\partial w}{\partial z} = 0$$

Für ein Meeresgebiet  $0 \leq x \leq L$ ,  $0 \leq z \leq H$  setzen wir

$$(1.10.) \quad \begin{aligned} u(x, z, t) &= U(z) \sin x \times \sin \omega t \\ w(x, z, t) &= W(z) \cos x \times \sin \omega t \\ p^*(x, z, t) &= P(z) \cos x \times \cos \omega t \\ \rho^*(x, z, t) &= R(z) \cos x \times \cos \omega t \end{aligned}$$

Hiermit wird aus (1.6.) — (1.9.)

$$(1.11.) \quad \omega U(z) - x P(z) = 0$$

$$(1.12.) \quad \omega W(z) - g R(z) + \frac{d P(z)}{d z} + \Gamma P(z) = 0$$

$$(1.13.) \quad -\omega R(z) + \Gamma W(z) = 0$$

$$(1.14.) \quad x U(z) + \frac{d W}{d z} = 0.$$

Für  $W(z)$  erhält man hieraus die DGL

$$(1.15.) \quad \frac{d^2 W}{dz^2} + \Gamma \frac{d W}{d z} + \frac{(g \Gamma - \omega^2)}{\omega^2} x^2 W = 0;$$

die Randbedingungen folgen aus der kinematischen Grenzflächenbedingung zu

$$(1.16.) \quad \frac{dW}{dz} + \frac{g \kappa^2}{\omega^2} W = 0 \text{ für } z = 0$$

$$(1.17.) \quad W = 0 \text{ für } z = H.$$

Hat man  $W(z)$  gemäß (1.15) — (1.17.) bestimmt, so folgen  $U(z)$ ,  $P(z)$  und  $R(z)$  aus (1.11.) — (1.14.):

$$(1.18.) \quad U(z) = -\frac{1}{\kappa} \frac{dW(z)}{dz}$$

$$(1.19.) \quad P(z) = -\frac{\omega}{\kappa^2} \frac{dW(z)}{dz}$$

$$(1.20.) \quad R(z) = \frac{\Gamma}{\omega} W(z).$$

Die DGL (1.15.) läßt sich für einige Dichteveverteilungen  $\tilde{\rho}(z)$  analytisch (J. E. FJELDSTAD, (1933); P. GROEN, (1948); W. KRAUSS, (1959); L. MAGAARD, (1962), sonst numerisch integrieren. Wir wählen

$$(1.21.) \quad \tilde{\rho}(z) = \tilde{\rho}_0 e^{\Gamma_0 z}, \text{ d. h. } \Gamma(z) = \Gamma_0 = \text{const.}$$

Diese Dichteveverteilung entspricht näherungsweise der in der westlichen und mittleren Ostsee (siehe Abschnitt 3). (1.15.) stellt mit (1.21.) eine DGL mit konstanten Koeffizienten dar und hat die Lösung

$$(1.22.) \quad W(z) = c_1 e^{-\frac{1}{2}\Gamma_0 z} \sin \left\{ \frac{1}{2} \sqrt{\frac{4(g\Gamma_0 - \omega^2)\kappa^2}{\omega^2} - \Gamma_0^2(z - c_2)} \right\}.$$

Wegen (1.17.) wird

$$(1.23.) \quad c_2 = H$$

und aus (1.16.) folgt die Frequenzgleichung

$$(1.24.) \quad \operatorname{tg} \left\{ \frac{1}{2} \sqrt{\frac{4(g\Gamma_0 - \omega^2)\kappa^2}{\omega^2} - \Gamma_0^2 H} \right\} = -\frac{\frac{1}{2} \sqrt{\frac{4(g\Gamma_0 - \omega^2)\kappa^2}{\omega^2} - \Gamma_0^2}}{\frac{1}{2}\Gamma_0 - \frac{g\kappa^2}{\omega^2}}$$

Für lange Wellen gilt in hinreichend stark geschichteten Meeresräumen

$$(1.25.) \quad g\Gamma_0 \gg \omega^2, g\frac{\kappa^2}{\omega^2} \gg \Gamma_0,$$

so daß man (1.24.) zu

$$(1.26.) \quad \operatorname{tg} \left\{ \frac{\kappa}{\omega} \sqrt{g\Gamma_0 H} \right\} = \sqrt{\frac{\Gamma_0}{g}} \frac{\omega}{\kappa}$$

vereinfachen kann.

Die Horizontalgeschwindigkeit  $u(x, z, t)$  muß die Randbedingungen

$$(1.27.) \quad u = 0 \text{ für } x = 0 \text{ und } x = L$$

erfüllen. Gemäß (1.10.) bedeutet dies

$$(1.28.) \quad x = x_n = \frac{n \pi}{L},$$

so daß (1.26.) endgültig in

$$(1.29.) \quad \operatorname{tg} \left\{ \frac{n \pi}{\omega} \sqrt{g \Gamma_0 H} \frac{L}{n \pi} \right\} = \sqrt{\frac{\Gamma_0}{g}} \frac{L}{n \pi \omega}$$

übergeht. Mit

$$(1.30.) \quad \xi = \pi \sqrt{g \Gamma_0} \frac{H}{L} \frac{1}{\omega}$$

gilt es, die unendlich vielen Lösungen  $\xi_{mn}$  der Gleichung

$$(1.31.) \quad \operatorname{tg} n \xi = \frac{\Gamma_0 H}{n \xi} \quad (n = 1, 2, \dots)$$

zu bestimmen.

Wegen der Kleinheit von  $\Gamma_0 H$  liegen sie sämtlich im Anfangsbereich der Tangensfunktionen, so daß man

$$(1.32.) \quad \operatorname{tg} n \xi \approx n \xi - m \pi$$

setzen kann. (1.31.) ergibt damit

$$(1.33.) \quad \xi_{nm} = \frac{m \pi}{2 n} + \frac{1}{2 n} \sqrt{m^2 \pi^2 + 4 \Gamma_0 H}$$

Wegen  $m^2 \pi^2 \gg 4 \Gamma_0 H$  für  $m \neq 0$  kann man (1.33) aufspalten in

$$(1.34.) \quad \xi_{n0} = \frac{1}{n} \sqrt{\Gamma_0 H}, \quad \xi_{nm} \approx \frac{m \pi}{n}$$

oder mit (1.30.) und  $\tau = \frac{2 \pi}{\omega}$

$$(1.35.) \quad \tau_{n0} = \frac{2 L}{n \sqrt{g H}}, \quad \tau_{nm} = \frac{2 L}{n \sqrt{g H}} \frac{m \pi}{\sqrt{\Gamma_0 H}} = \frac{2 L}{n \sqrt{\Gamma_0 H}} \frac{1}{\sqrt{g H}}$$

$m = 0$  bedeutet die Oberflächenwelle,  $m = 1, 2, \dots$  die internen Wellen. Für die Oberflächenwelle gilt die MERIAN'sche Formel.

Entsprechend den beiden Schreibweisen der zweiten Formel (1.35) unterscheiden wir zwei Seiches-Systeme, die theoretisch möglich sind:

### 1. Interne Seiches 1. Art:

Oberflächen- und interne Seiches besitzen die gleiche Periode,  $\tau_{n0} = \tau_{nm}$ , so daß die internen Wellen die Wellenlänge  $\frac{2 L}{n \sqrt{m \pi}}$  besitzen und damit bedeutend kürzer sind als die Oberflächenseiches mit  $2 L/n$ . Bezeichnet man die Wellenlänge der Oberflächenseiches mit  $\lambda_{n0}$ , so haben die internen Wellen die Länge  $\frac{1}{\sqrt{m \pi}} \lambda_{n0}$ . Für den

obigen Wert von  $\Gamma_0 H \approx 5 \cdot 10^{-3}$  erhält man  $\lambda_{nm} \approx \frac{1}{45 m} \lambda_{n0}$ . Mit  $\lambda_{n0} \approx 3000$  km folgen  $\lambda_{1,1} \approx 66$  km,  $\lambda_{1,2} = 33$  km,  $\lambda_{1,3} \approx 22$  km usw.

## 2. Interne Seiches 2. Art:

Oberflächen- und interne Seiches besitzen die gleiche Wellenlänge  $\frac{2L}{n}$ ; in diesem

Falle haben die internen Wellen eine um den Faktor  $\sqrt{\frac{m\pi}{\Gamma_0 H}}$  größere Periode. Mit  $\Gamma_0 H \approx 5 \cdot 10^{-3}$  für die Ostsee erhält man  $\tau_{n=1} \approx 45 m \tau_{n=0}$ , so daß im Falle der Grundschwungung ( $n = 1$ ) des Systems westliche Ostsee-Finnischer Meerbusen mit  $\tau_{1,0} = 27,5$  Std. für die interne Welle 1. Ordnung ( $m = 1$ )  $\tau_{1,1} = 52$  Tage, für die 2. Ordnung ( $m = 2$ )  $\tau_{1,2} \approx 103$  Tage usw. resultiert. Ihre Existenz ist unwahrscheinlich. Nur in tiefen Meeresträumen oder Fjorden, in denen die Perioden der Oberflächenseiches  $\tau_{n=0}$  klein sind, kann man sie erwarten. W. MUNK (1941) hat sie z. B. im Golf von Kalifornien nachweisen können. Auch die Eigenschwingungen des Gulmar-Fjordes (O. PETTERSSON, 1909) lassen sich als solche Wellen deuten.

Während das unter 2. genannte Seichessystem wegen der außerordentlich großen Periode der internen Welle in der Ostsee ohne praktische Bedeutung sein dürfte, verdient das unter 1. genannte größere Aufmerksamkeit: Wenn Oberflächenseiches der Periode  $\tau_{n=0}$  angeregt werden, können gleichzeitig alle internen Seiches mit der gleichen Periode auftreten. Ihre Realität läßt sich durch Dauermessungen überprüfen, da in diesem Falle im Inneren der Wassermasse erhebliche Vertikalverlagerungen  $\zeta(z) = \sum_n \zeta_n(z)$ , aufgebaut aus einer Summe von Eigenschwingungen, in Erscheinung treten müssen und auch die Horizontalströmung nicht — wie bei Oberflächenseiches — tiefenunabhängig sein kann, sondern gemäß  $U(z) = \sum_n U_n(z)$  aus Eigenfunktionen besteht. Entnimmt man somit einem Spektrum  $\zeta(\tau, z_i)$  bzw.  $U(\tau, z_i)$  für eine Seichesperiode  $\tau_{n=0}$  die Verteilungen  $\zeta(\tau_{n=0}, z_i)$  bzw.  $U(\tau_{n=0}, z_i)$ , so läßt sich leicht der Anteil der internen Seiches des unter 1. genannten Typs ermitteln. (s. Abschnitt 3).

Für die Teilchenbahn der Seiches ergibt sich

$$(1.36.) \quad \begin{aligned} x - x_0 &= -\frac{1}{\kappa \omega} \frac{dW}{dz} \sin \kappa x_0 (1 - \cos \omega t) \\ z - z_0 &= \frac{1}{\omega} W \cos \kappa x_0 (1 - \cos \omega t) \end{aligned}$$

also

$$(1.37.) \quad \frac{x - x_0}{z - z_0} = -\frac{1}{\kappa W} \frac{dW}{dz} \tan \kappa x_0.$$

Die Bahnen stellen Gerade dar, die gegenüber der  $z$ -Achse um den durch die rechte Seite von (1.37) angegebenen Winkel geneigt sind. Während einer halben Periode legt ein Teilchen im Bereich eines Schwingungsknotens den horizontalen Weg

$$(1.38.) \quad x - x_0 = \frac{U(z)}{\omega}.$$

zurück. Mit  $U(z_i) = 10$  cm ergibt sich für die maximale Ostsee-Periode  $\tau = 39$  Std. ein  $(x - x_0) \approx 2,2$  km. Die Corioliskraft dürfte daher für die Seiches 1. Art generell ohne Einfluß sein.

## 2. Numerische Rechnungen über die internen Seiches der Ostsee

Wegen der geringen Wellenlänge der internen Wellen und der geringen Änderung der Wassertiefe  $H(x)$  in der Ostsee, kann man in erster Näherung für Bereiche von der Größenordnung einer Wellenlänge den Meeresboden als eben annehmen. Wir berechnen somit das System der internen Seiches einer vorgegebenen Periode  $\tau$ , indem wir den Meeresboden durch eine Treppenfunktion approximieren ohne auf die Effekte, die an den Stufen verursacht werden, einzugehen.

Aus den Störungsgleichungen für inkompressible Vorgänge in einem nur hinsichtlich  $z$  inhomogenen Meer,

$$(2.1.) \quad \frac{\partial u}{\partial t} + fv + \frac{1}{\rho} \frac{\partial p}{\partial x} = 0$$

$$(2.2) \quad \frac{\partial v}{\partial t} - fu + \frac{1}{\rho} \frac{\partial p}{\partial y} = 0$$

$$(2.3.) \quad \frac{\partial w}{\partial t} - \frac{\rho}{\rho_0} g + \frac{1}{\rho} \frac{\partial p}{\partial z} = 0$$

$$(2.4.) \quad \frac{\partial \rho}{\partial t} + w \frac{d \rho}{d z} = 0$$

$$(2.5.) \quad \frac{\partial u}{\partial x} + \frac{\partial v}{\partial y} + \frac{\partial w}{\partial z} = 0$$

(Rechtssystem  $x, y, z$  mit  $z$  vertikal nach unten,  $u, v, w$  Geschwindigkeitskomponenten,  $\rho$  Dichte,  $p$  Druck  $\rho(z)$  ungestörte Dichteverteilung,  $f = 2\Omega \sin \varphi$  Coriolisparameter,  $g$  Schwerkraftbeschleunigung) folgt durch Elimination von  $u, v, \rho, p$ , wenn alle Variablen proportional  $e^{i\omega t}$  sind, mit

$$(2.6.) \quad w(x, y, z, t) = \hat{w}(x, y, z) e^{i\omega t} \text{ usw.}$$

als DGL für  $\hat{w}(x, y, z)$

$$(2.7.) \quad \frac{\partial^2 \hat{w}}{\partial x^2} + \frac{\partial^2 \hat{w}}{\partial y^2} + \frac{f^2 - \omega^2}{g \Gamma - \omega^2} \left( \frac{\partial^2 \hat{w}}{\partial z^2} + \Gamma \frac{\partial \hat{w}}{\partial z} \right) = 0.$$

Separation

$$(2.8.) \quad \hat{w}(x, y, z) = W(z) F(x, y)$$

und die Vereinfachung für lange Wellen

$$(2.9.) \quad g \Gamma \gg \omega^2$$

### Legenden zu Tabelle 1 und 2

Tabelle 1: Dichtegradienten  $\frac{\Delta \rho}{\Delta z} \cdot 10^{-5}$  für  $\Delta z = 2 \text{ m}$  auf den Stationen 2, 4, ..., 82. (1. Spalte: Tiefenstufen; 2. Spalte:  $\frac{\Delta \rho}{\Delta z}$ ). Fortsetzung von Tabelle 1 am Ende der Tabelle 2.

Tabelle 2: Eigenfunktionen  $W_n(z)$  und  $\frac{d W_n(z)}{dz}$  für  $n = 1$  bis  $n = 5$  auf den Stationen 2, 4, ..., 82. (1. Spalte: Tiefe; 2. Spalte:  $W_n(z)$ ; 3. Spalte:  $\frac{d W_n(z)}{dz}$ ).

Station 2	14-16	•, 104	24-26	0,011	32-34	0,007	40-42	0,004	18-20	0,090	100-02	0,015	138-40	0,005	
59°58'N 29°38'5"E	16-18	0,058	26-28	0,005	34-36	0,007	42-44	0,004	20-22	0,020	102-04	0,020	140-42	0,005	
H=9m	18-20	0,035	28-30	0,005	36-38	0,007	44-46	0,000	22-24	0,020	104-06	0,020	142-44	0,005	
0-2	0,000		30-32	0,008	38-40	0,007	46-48	0,004	24-26	0,020	106-08	0,020	144-46	0,005	
2-4	0,000		32-34	0,008	40-42	0,005	48-50	0,004	26-28	0,010	108-10	0,020	146-48	0,005	
4-6	0,000		34-36	0,008	42-44	0,005	50-52	0,017	28-30	0,010	110-12	0,020	148-50	0,005	
6-8	0,001		36-38	0,005	44-46	0,004	52-54	0,025	30-32	0,010	112-14	0,020	150-52	0,005	
8-10	0,001		38-40	0,005	46-48	0,004	54-56	0,034	32-34	0,010	114-16	0,010	152-54	0,005	
Station 4	52-54	0,054	40-42	0,003	48-50	0,007	56-58	0,038	34-36	0,010	116-18	0,010	154-56	0,005	
60°55'N 29°00'E	34-36	0,004	44-46	0,000	50-52	0,014	58-60	0,042	36-38	0,010	118-20	0,010	156-58	0,005	
H=30m	56-58	0,004	46-48	0,003	54-56	0,028	60-62	0,051	38-40	0,010	120-22	0,010	158-59,5'N 20°35'E	0,005	
0-2	0,000		58-60	0,004	56-58	0,031	62-64	0,051	40-42	0,005	122-24	0,010	160-59,5'N 20°35'E	0,005	
2-4	0,000		60-62	0,002	58-60	0,011	64-66	0,059	42-44	0,005	124-26	0,010	162-60	0,005	
4-6	0,000		62-64	0,002	58-60	0,016	66-68	0,061	44-46	0,000	126-28	0,010	164-62	0,005	
6-8	0,001		64-66	0,002	58-60	0,022	68-70	0,062	46-48	0,005	128-30	0,015	166-64	0,015	
8-10	0,002		66-68	0,002	58-60	0,027	70-72	0,062	48-50	0,010	130-32	0,005	168-66	0,015	
10-12	0,017		68-70	0,002	58-60	0,032	72-74	0,063	50-52	0,020	132-34	0,005	170-68	0,010	
12-14	0,051		70-72	0,002	58-60	0,038	74-76	0,055	52-54	0,030	134-36	0,005	172-70	0,010	
14-16	0,092		72-74	0,002	58-60	0,042	76-78	0,048	54-56	0,040	136-38	0,000	174-72	0,005	
16-18	0,023		74-76	0,002	58-60	0,047	78-80	0,043	56-58	0,045	138-40	0,000	176-74	0,005	
18-20	0,014		76-78	0,002	58-60	0,052	80-82	0,034	58-60	0,050	140-42	0,000	178-76	0,005	
20-22	0,003		78-80	0,002	58-60	0,057	82-84	0,024	60-62	0,060	142-44	0,000	180-78	0,005	
22-24	0,003		80-82	0,002	58-60	0,062	84-86	0,024	62-64	0,060	144-46	0,000	182-80	0,005	
24-26	0,003		82-84	0,002	58-60	0,067	86-88	0,024	64-66	0,070	146-48	0,000	184-82	0,005	
26-28	0,002		84-86	0,002	58-60	0,072	88-90	0,020	66-68	0,060	148-50	0,000	186-84	0,005	
28-30	0,002		86-88	0,002	58-60	0,077	90-92	0,020	68-70	0,060	150-52	0,000	188-86	0,005	
Station 12	59°53'N 29°54'E	74-76	0,022	88-90	0,022	94-96	0,025	70-72	0,050	190-02	0,000	192-04	0,000	194-06	0,000
59°53'N 29°54'E	76-78	0,022	90-92	0,022	96-98	0,025	72-74	0,050	192-04	0,000	194-06	0,000	196-08	0,000	
H=83m	88-90	0,022	98-100	0,025	98-100	0,030	74-76	0,040	196-08	0,000	198-10	0,000	200-12	0,000	
Station 6	60°05'N 28°50.5'E	26-28	0,000	2-2	0,000	10-12	0,085	2-4	0,000	76-78	0,040	202-02	0,000	204-24	0,000
60°05'N 28°50.5'E	28-30	0,000	2-4	0,000	12-14	0,254	4-6	0,000	78-80	0,040	206-02	0,000	208-30	0,000	
H=35m	30-32	0,000	4-6	0,000	14-16	0,208	6-8	0,000	80-82	0,040	210-02	0,000	212-32	0,000	
0-2	0,000		32-34	0,000	16-18	0,115	8-10	0,009	82-84	0,040	214-02	0,000	216-34	0,000	
2-4	0,000		34-36	0,000	18-20	0,069	10-12	0,015	84-86	0,040	218-02	0,000	220-36	0,000	
4-6	0,000		36-38	0,000	20-22	0,015	12-14	0,015	86-88	0,040	222-02	0,000	224-38	0,000	
6-8	0,002		38-40	0,000	22-24	0,015	14-16	0,015	88-90	0,040	226-02	0,000	228-40	0,000	
8-10	0,002		40-42	0,000	24-26	0,015	16-18	0,018	90-92	0,040	230-02	0,000	232-42	0,000	
10-12	0,051		42-44	0,000	26-28	0,015	18-20	0,018	92-94	0,040	234-02	0,000	236-44	0,000	
12-14	0,152		44-46	0,000	28-30	0,015	20-22	0,018	94-96	0,040	238-02	0,000	240-46	0,000	
14-16	0,254		46-48	0,000	30-32	0,015	22-24	0,018	96-98	0,040	242-02	0,000	244-48	0,000	
16-18	0,354		48-50	0,000	32-34	0,015	24-26	0,018	98-100	0,040	246-02	0,000	248-50	0,000	
18-20	0,454		50-52	0,000	34-36	0,015	26-28	0,018	100-02	0,000	250-02	0,000	252-52	0,000	
20-22	0,554		52-54	0,000	36-38	0,015	28-30	0,018	102-04	0,000	254-02	0,000	256-54	0,000	
22-24	0,654		54-56	0,000	38-40	0,015	30-32	0,018	104-06	0,000	258-02	0,000	260-56	0,000	
24-26	0,754		56-58	0,000	40-42	0,015	32-34	0,018	106-08	0,000	262-02	0,000	264-58	0,000	
26-28	0,854		58-60	0,000	42-44	0,015	34-36	0,018	108-10	0,000	266-02	0,000	268-60	0,000	
28-30	0,954		60-62	0,000	44-46	0,015	36-38	0,018	110-12	0,000	270-02	0,000	272-62	0,000	
Station 8	60°02'N 27°42'E	42-44	0,002	36-38	0,006	46-48	0,004	56-58	0,008	112-14	0,025	274-44	0,000	276-74	0,000
60°02'N 27°42'E	44-46	0,000	38-40	0,006	48-50	0,004	58-60	0,008	114-16	0,025	278-46	0,000	280-76	0,000	
H=55m	46-48	0,002	40-42	0,003	50-52	0,023	60-62	0,046	116-18	0,025	284-48	0,000	286-78	0,000	
0-2	0,000		52-54	0,014	54-56	0,031	62-64	0,046	118-20	0,025	288-50	0,000	290-80	0,000	
2-4	0,000		54-56	0,014	56-58	0,031	64-66	0,046	120-22	0,025	292-52	0,000	294-82	0,000	
4-6	0,000		56-58	0,019	58-60	0,036	66-68	0,046	122-24	0,025	296-54	0,000	298-84	0,000	
6-8	0,003		58-60	0,023	60-62	0,032	68-70	0,046	124-26	0,025	300-56	0,000	302-86	0,000	
8-10	0,003		60-62	0,028	62-64	0,039	70-72	0,046	126-28	0,025	304-58	0,000	306-88	0,000	
10-12	0,034		62-64	0,028	64-66	0,039	72-74	0,046	128-30	0,025	308-60	0,000	310-90	0,000	
12-14	0,102		64-66	0,032	66-68	0,039	74-76	0,046	130-32	0,025	312-62	0,000	314-92	0,000	
14-16	0,203		66-68	0,032	68-70	0,039	76-78	0,046	132-34	0,025	316-64	0,000	318-94	0,000	
16-18	0,304		68-70	0,032	70-72	0,039	78-80	0,046	134-36	0,025	320-66	0,000	322-96	0,000	
18-20	0,404		70-72	0,032	72-74	0,039	80-82	0,046	136-38	0,025	324-68	0,000	326-98	0,000	
20-22	0,504		72-74	0,032	74-76	0,039	82-84	0,046	138-40	0,025	328-70	0,000	330-100	0,000	
22-24	0,604		74-76	0,039	76-78	0,039	84-86	0,046	140-42	0,025	332-72	0,000	334-102	0,000	
24-26	0,704		76-78	0,039	78-80	0,039	86-88	0,046	142-44	0,025	336-74	0,000	338-104	0,000	
26-28	0,804		78-80	0,039	80-82	0,039	88-90	0,046	144-46	0,025	340-76	0,000	342-106	0,000	
28-30	0,904		80-82	0,039	82-84	0,039	90-92	0,046	146-48	0,025	344-78	0,000	346-108	0,000	
Station 18	59°53'N 27°21'E	8-10	0,007	14-16	0,229	22-24	0,017	48-50	0,009	52-54	0,030	98-100	0,015	102-02	0,020
59°53'N 27°21'E	10-12	0,076	16-18	0,127	24-26	0,017	50-52	0,009	54-56	0,065	102-04	0,020	104-06	0,020	
H=80m	12-14	0,228	18-20	0,127	26-28	0,017	56-58	0,009	58-60	0,065	106-08	0,020	108-10	0,020	
0-2	0,000		14-16	0,187	28-30	0,017	62-64	0,009	64-66	0,065	106-10	0,020	110-12	0,020	
2-4	0,000		16-18	0,194	30-32	0,017	64-66	0,009	66-68	0,065	108-12	0,020	112-14	0,020	
4-6	0,000		18-20	0,194	32-34	0,017	66-68	0,009	68-70	0,065	110-14	0,020	114-16	0,020	
6-8	0,004		20-22	0,194	34-36	0,017	68-70	0,009	70-72	0,065	112-16	0,020	116-18	0,020	
8-10	0,004		22-24	0,194	36-38	0,017	70-72	0,009	72-74	0,065	114-18	0,020	118-20	0,020	
10-12	0,014		24-26	0,194	38-40	0,017	72-74	0,009	74-76	0,065	116-18	0,020	120-22	0,020	
12-14	0,127		26-28	0,194	40-42	0,017	74-76	0,009	76-78	0,065	118-20	0,020	122-24	0,020	
14-16	0,227		28-30	0,194	42-44	0,017	76-78	0,009	78-80	0,065	120-22	0,020	124-24	0,020	
16-18	0,327		30-32	0,194	44-46	0,017	78-80	0,009	80-82	0,065	122-24	0,020	126-26	0,020	
18-20	0,427		32-34	0,194	46-48	0,017	80-82	0,009	82-84	0,065	124-26	0,020	128-28	0,020	
20-22	0,527		34-36	0,194	48-50	0,017									

Tabelle 1, Blatt 1 (zu W. Krauss)

38-40	0,010	42-44	0,005	18-20	0,010	210-12	0,000	4-6	0,010	24-26	0,140	2-4	0,005	86-88	0,040
40-42	0,010	44-46	0,005	20-22	0,120	212-14	0,000	6-8	0,010	26-28	0,050	4-6	0,005	82-104	0,030
42-44	0,010	46-48	0,005	22-24	0,420	214-16	0,000	8-10	0,010	28-30	0,015	6-8	0,005	55°37' N	
44-46	0,010	48-50	0,005	24-26	0,080	216-18	0,000	10-12	0,010	30-32	0,005	8-10	0,010	17°53' E	
46-48	0,010	50-52	0,005	26-28	0,030	H=226m				12-14	0,010	32-34	0,005	H=68m	
48-50	0,010	52-54	0,010	28-30	0,020	Station 40				14-16	0,005	34-36	0,000	Station 52	
50-52	0,015	54-56	0,010	30-32	0,010	57°19'.5'' N		16-18	0,005	36-38	0,000	10-12	0,015	55°37' N	
52-54	0,015	56-58	0,010	32-34	0,005	19°50' E		18-20	0,015	38-40	0,000	12-14	0,020	17°53' E	
54-56	0,030	58-60	0,010	34-36	0,005	H=226m				14-16	0,030	4-6	0,005	14-16	0,015
56-58	0,040	60-62	0,030	36-38	0,005	0-2	0,010	22-24	0,020	4-6	0,025	2-4	0,005	16-18	0,000
58-60	0,040	62-64	0,040	38-40	0,005	2-4	0,010	24-26	0,120	4-6	0,005	4-6	0,005	18-20	0,000
60-62	0,060	64-66	0,050	40-42	0,005	4-6	0,010	26-28	0,045	4-6	0,005	20-22	0,015	6-8	0,010
62-64	0,070	66-68	0,080	42-44	0,005	6-8	0,010	28-30	0,020	6-8	0,005	22-24	0,015	8-10	0,015
64-66	0,090	68-70	0,110	44-46	0,005	8-10	0,020	30-32	0,010	8-10	0,005	24-26	0,155	10-12	0,015
66-68	0,110	70-72	0,120	46-48	0,005	10-12	0,010	32-34	0,010	10-12	0,005	26-28	0,300	12-14	0,020
68-70	0,150	72-74	0,120	48-50	0,005	12-14	0,010	34-36	0,005	12-14	0,005	28-30	0,090	14-16	0,015
70-72	0,170	74-76	0,120	50-52	0,005	14-16	0,000	36-38	0,005	14-16	0,000	30-32	0,010	16-18	0,000
72-74	0,100	76-78	0,120	52-54	0,010	16-18	0,000	38-40	0,000	16-18	0,005	32-34	0,000	18-20	0,015
74-76	0,080	78-80	0,110	54-56	0,010	18-20	0,010	40-42	0,000	18-20	0,015	34-36	0,000	20-22	0,100
76-78	0,065	80-82	0,080	56-58	0,015	20-22	0,140	42-44	0,000	20-22	0,015	36-38	0,000	22-24	0,300
78-80	0,055	82-84	0,060	58-60	0,020	22-24	0,270	44-46	0,005	22-24	0,010	38-40	0,000	24-26	0,090
80-82	0,040	84-86	0,050	60-62	0,030	24-26	0,090	46-48	0,005	24-26	0,015	40-42	0,000	26-28	0,020
82-84	0,030	86-88	0,030	62-64	0,040	26-28	0,040	48-50	0,005	26-28	0,015	42-44	0,000	28-30	0,000
84-86	0,030	88-90	0,030	64-66	0,070	28-30	0,030	50-52	0,005	28-30	0,015	44-46	0,000	30-32	0,005
86-88	0,030	90-92	0,020	66-68	0,100	30-32	0,010	52-54	0,005	28-30	0,005	48-50	0,005	34-36	0,000
88-90	0,020	92-94	0,020	68-70	0,150	32-34	0,010	54-56	0,005	28-30	0,005	50-52	0,005	36-38	0,000
90-92	0,015	94-96	0,020	70-72	0,150	34-36	0,010	56-58	0,010	28-30	0,005	52-54	0,005	38-40	0,000
92-94	0,015	96-98	0,020	72-74	0,140	36-38	0,010	58-60	0,025	28-30	0,080	54-56	0,010	40-42	0,000
94-96	0,015	98-100	0,020	74-76	0,100	38-40	0,000	60-62	0,055	28-30	0,050	56-58	0,015	42-44	0,000
96-98	0,020	100-02	0,030	76-78	0,095	40-42	0,000	62-64	0,080	28-30	0,040	58-60	0,020	44-46	0,000
98-100	0,025	102-04	0,030	78-80	0,070	42-44	0,000	64-66	0,110	28-30	0,040	62-64	0,070	48-50	0,010
100-02	0,030	104-06	0,030	80-82	0,060	44-46	0,005	66-68	0,160	28-30	0,040	64-66	0,090	55-57	0,015
102-04	0,030	106-08	0,030	82-84	0,050	46-48	0,005	68-70	0,190	28-30	0,040	66-68	0,110	57-59	0,020
104-06	0,030	108-10	0,040	84-86	0,040	48-50	0,005	70-72	0,190	28-30	0,040	68-70	0,150	59-61	0,035
106-08	0,030	110-12	0,040	86-88	0,030	50-52	0,005	72-74	0,160	28-30	0,040	70-72	0,190	61-63	0,040
108-10	0,030	112-14	0,040	88-90	0,030	52-54	0,005	74-76	0,100	28-30	0,040	72-74	0,170	63-65	0,040
110-12	0,030	114-16	0,040	90-92	0,020	54-56	0,010	76-78	0,080	28-30	0,040	74-76	0,115	65-67	0,080
112-14	0,030	116-18	0,040	92-94	0,020	56-58	0,015	78-80	0,060	28-30	0,040	76-78	0,070	67-69	0,080
114-16	0,030	118-20	0,040	94-96	0,020	58-60	0,030	80-82	0,045	28-30	0,040	78-80	0,040	69-71	0,080
116-18	0,030	120-22	0,030	96-98	0,020	60-62	0,060	82-84	0,040	28-30	0,040	80-82	0,035	71-73	0,080
118-20	0,030	122-24	0,030	98-100	0,020	62-64	0,100	84-86	0,035	28-30	0,040	82-84	0,030	73-75	0,080
120-22	0,030	124-26	0,030	100-02	0,030	64-66	0,180	86-88	0,035	28-30	0,040	84-86	0,030	75-77	0,080
122-24	0,020	126-28	0,020	102-04	0,030	66-68	0,180	88-90	0,035	28-30	0,040	86-88	0,030	77-79	0,080
124-26	0,020	128-30	0,010	104-06	0,030	70-72	0,090	90-92	0,025	28-30	0,040	88-90	0,030	79-81	0,080
126-28	0,010	130-32	0,010	106-08	0,030	72-74	0,080	92-94	0,025	28-30	0,040	90-92	0,030	81-83	0,080
128-30	0,010	132-34	0,010	108-10	0,035	74-76	0,060	94-96	0,020	28-30	0,040	92-94	0,030	83-85	0,080
130-32	0,010	134-36	0,010	110-12	0,035	76-78	0,060	96-98	0,020	28-30	0,040	94-96	0,025	85-87	0,080
132-34	0,010	136-38	0,010	112-14	0,035	78-80	0,045	98-100	0,020	28-30	0,040	96-104	0,025	87-89	0,080
134-36	0,010	138-40	0,010	114-16	0,035	80-82	0,040	100-02	0,025	28-30	0,040	98-104	0,025	89-91	0,080
136-38	0,005	140-42	0,010	116-18	0,035	82-84	0,040	102-04	0,025	28-30	0,040	100-12	0,025	91-93	0,080
138-40	0,005	142-44	0,010	118-20	0,035	84-86	0,030	104-06	0,025	28-30	0,040	102-12	0,025	93-95	0,080
140-42	0,005	144-46	0,010	120-22	0,030	106-08	0,035	106-10	0,025	28-30	0,040	104-12	0,025	95-97	0,080
142-44	0,005	146-48	0,010	124-26	0,030	108-10	0,035	108-12	0,025	28-30	0,040	106-14	0,025	97-99	0,080
144-46	0,005	148-50	0,010	126-28	0,030	110-12	0,035	110-14	0,025	28-30	0,040	108-16	0,025	99-101	0,080
146-48	0,005	150-52	0,010	128-30	0,035	112-14	0,035	112-16	0,025	28-30	0,040	110-18	0,025	101-103	0,080
148-50	0,005	152-54	0,010	130-32	0,035	114-16	0,035	114-18	0,025	28-30	0,040	112-20	0,025	103-105	0,080
150-52	0,005	154-56	0,010	132-34	0,035	116-18	0,035	116-20	0,025	28-30	0,040	114-22	0,025	105-107	0,080
152-54	0,005	156-58	0,010	134-36	0,035	118-20	0,035	118-22	0,025	28-30	0,040	116-24	0,025	107-109	0,080
154-56	0,005	158-60	0,010	136-38	0,035	120-22	0,035	120-24	0,025	28-30	0,040	118-26	0,025	109-111	0,080
156-58	0,005	160-62	0,005	138-40	0,035	122-24	0,035	122-26	0,025	28-30	0,040	120-28	0,025	111-113	0,080
158-60	0,005	162-64	0,005	140-42	0,035	124-26	0,035	124-28	0,025	28-30	0,040	122-30	0,025	113-115	0,080
160-62	0,005	164-66	0,000	142-44	0,035	126-28	0,035	126-30	0,025	28-30	0,040	124-32	0,025	115-117	0,080
162-64	0,005	166-68	0,000	144-46	0,035	128-30	0,035	128-32	0,025	28-30	0,040	126-34	0,025	117-119	0,080
164-66	0,005	168-70	0,000	146-48	0,035	130-32	0,035	130-34	0,025	28-30	0,040	128-36	0,025	119-121	0,080
166-68	0,005	170-72	0,000	148-50	0,035	132-34	0,035	132-36	0,025	28-30	0,040	13			

Station 2: # 1	10 1,397+0 -5,095-1 12 3,640-1 -5,213-1 14 -6,791-1 -5,207-1 16 -1,696+0 -4,832-1 18 -2,539+0 -3,396-1 20 -2,980+0 -9,330-2 22 -2,935+0 1,263-1 24 -2,525+0 2,798-1 26 -1,836+0 4,024-1 28 -9,589-1 4,657-1 30 -6,181-4 4,859-1	6 -4,422+0 -6,500-1 7 -4,769+0 3,709-3 8 -4,447+0 5,433-1 9 -3,744+0 8,563-1 10 -2,756+0 1,105+0 11 -1,560+0 1,271+0 12 -2,455-1 1,337+0 13 1,088+4 1,324+0 14 2,403+0 1,284+0 15 3,581+0 9,971-1 16 4,199+0 1,329-1 17 3,685+0 -1,178+0 18 1,906+0 -2,314+0 19 -6,565-1 -2,609+0 20 -2,894+0 -1,713+0 21 -3,852+0 -1,891-1 22 -3,322+0 1,197+0 23 -1,688+0 1,982+0 24 4,157-1 2,177+0 25 2,447+0 1,724+0 26 3,720+0 7,571-1 27 3,951+0 -2,609-1 28 3,259+0 -1,098+0 29 1,835+0 -1,693+0 30 2,425-4 -1,907+0	25 -4,513+0 -4,336-1 26 -4,341+0 7,715-1 27 -3,094+0 1,633+0 28 -1,195+0 2,097+0 29 9,527-1 2,123+0 30 2,902+0 1,707+0 31 4,246+0 9,312-1 32 4,731+0 5,266-2 33 4,403+0 -6,898-1 34 3,386+0 -1,317+0 35 1,837+0 -1,738+0 36 -4,450-5 -1,887+0		
Station 2: # 2	■ 0,000+0 1,000+0 2 8,994-1 -4,455-1 4 -1,101-1 -5,241-1 6 -9,069-1 -9,152-2 8 -4,722-1 4,352-1 9 -2,355-5 4,908-1	Station 4: W 3	■ 0,000+0 1,000+0 1 1,000+0 1,000+0 1 1,994+0 9,766-1 3 2,923+0 7,537-1 4 2,795+0 -1,520+0 5 7,508-1 -2,428+0 6 -1,689+0 -2,399+0 7 -4,037+0 -2,266+0 8 -6,196+0 -2,070+0 9 -8,178+0 -1,884+0 10 -9,949+0 -1,649+0 11 -1,146+1 -1,370+0 12 -1,268+1 -1,105+0 13 -1,321+0 -1,609+1 14 -1,464+1 -8,651-1 15 -1,532+1 -3,890-1 16 -1,520+1 7,426-1 17 -1,367+1 2,347+0 18 -1,050+1 4,005+0 19 -5,782+0 5,318+0 20 -1,140+1 5,839+0 21 5,569+0 5,445+0 22 1,056+1 4,420+0 23 1,436+1 3,112+0 24 1,668+1 1,485+0 25 1,728+1 -2,942+1 26 1,610+1 -2,047+0 27 1,334+1 -3,363+0 28 9,515+0 -4,253+0 29 4,949+0 -4,820+0 30 -2,216-4 -5,014+0	■ 0,000+0 1,000+0 2 1,000+0 1,000+0 3 1,999+0 9,867-1 3 2,949+0 9,116-1 4 3,446+0 -3,872-1 5 1,271+0 -3,535+0 6 -2,350+0 -3,308+0 7 -5,040+0 -2,165+0 8 -6,992+0 -1,728+0 9 -8,431+0 -1,148+0 10 -9,396+0 -2,957-1 11 -1,000+1 -4,263-1 12 -1,024+1 -4,071-2 13 -1,009+1 3,464-1 14 -9,552+0 7,183-1 15 -8,734+0 9,054-1 16 -7,773+0 9,779-1 17 -6,754+0 1,094+0 18 -5,529+0 1,394+0 19 -3,901+1 1,874+0 20 -1,793+0 2,306+0 21 5,991-1 2,409+0 22 2,857+0 2,015+0 23 4,470+0 1,112+0 24 4,982+0 -6,412-2 25 4,363+0 -1,123+0 26 2,867+0 -1,822+0 27 8,532-1 -2,135+0 28 -1,292+0 -2,101+0 29 -3,244+0 -1,752+0 30 -5,709+0 -1,141+0 31 -5,467+0 -3,547-1 32 4,428+0 4,064-1 33 -4,717+0 9,946-1 34 -3,475+0 1,465+0 35 -1,841+0 1,771+0 36 4,185-5 1,877+0	■ 0,000+0 1,000+0 2 1,027+1 2,260-1 3 1,080+1 2,575-1 20 1,150+1 2,380-1 22 1,175+1 2,204-1 24 1,218+1 2,121-1 26 1,260+1 2,048-1 28 1,299+1 1,698-1 30 1,326+1 9,182-2 32 1,333+1 -1,591-2 34 1,317+1 -1,513-1 36 1,272+1 -3,026-1 38 1,198+1 -4,320-1 40 1,101+1 -5,337-1 42 9,873+0 -6,084-1 44 8,589+0 -6,735-1 46 7,185+0 -7,291-1 48 5,679+0 -7,740-1 50 4,101+0 -8,021-1 52 2,478+0 -8,194-1 54 8,289+1 -8,282-1 55 -1,082-6 -8,292-1
Station 2: W 3	■ 0,000+0 1,000+0 2 -1,000+0 -2,319+0 3 -2,991+0 -1,635+0 4 -4,199+0 -9,356-1 5 -4,288+0 -1,799+0 6 -3,289-2 5,807+0 7 4,566+0 2,580+0 8 4,296+0 -2,971+0 9 1,472-5 -4,984+0	Station 6: W 1	■ 0,000+0 1,000+0 1 1,000+0 1,000+0 2 1,999+0 9,867-1 3 2,949+0 9,116-1 4 3,446+0 -3,872-1 5 1,271+0 -3,535+0 6 -2,350+0 -3,308+0 7 -5,040+0 -2,165+0 8 -6,992+0 -1,728+0 9 -8,431+0 -1,148+0 10 -9,396+0 -2,957-1 11 -1,000+1 -4,263-1 12 -1,024+1 -4,071-2 13 -1,009+1 3,464-1 14 -9,552+0 7,183-1 15 -8,734+0 9,054-1 16 -7,773+0 9,779-1 17 -6,754+0 1,094+0 18 -5,529+0 1,394+0 19 -3,901+1 1,874+0 20 -1,793+0 2,306+0 21 5,991-1 2,409+0 22 2,857+0 2,015+0 23 4,470+0 1,112+0 24 4,982+0 -6,412-2 25 4,363+0 -1,123+0 26 2,867+0 -1,822+0 27 8,532-1 -2,135+0 28 -1,292+0 -2,101+0 29 -3,244+0 -1,752+0 30 -5,709+0 -1,141+0 31 -5,467+0 -3,547-1 32 4,428+0 4,064-1 33 -4,717+0 9,946-1 34 -3,475+0 1,465+0 35 -1,841+0 1,771+0 36 4,185-5 1,877+0	■ 0,000+0 1,000+0 2 1,027+1 2,260-1 3 1,080+1 2,575-1 20 1,150+1 2,380-1 22 1,175+1 2,204-1 24 1,218+1 2,121-1 26 1,260+1 2,048-1 28 1,299+1 1,698-1 30 1,326+1 9,182-2 32 1,333+1 -1,591-2 34 1,317+1 -1,513-1 36 1,272+1 -3,026-1 38 1,198+1 -4,320-1 40 1,101+1 -5,337-1 42 9,873+0 -6,084-1 44 8,589+0 -6,735-1 46 7,185+0 -7,291-1 48 5,679+0 -7,740-1 50 4,101+0 -8,021-1 52 2,478+0 -8,194-1 54 8,289+1 -8,282-1 55 -1,082-6 -8,292-1	
Station 2: W 4	■ 0,000+0 1,000+0 1 8,619-1 -3,759-1 2 -1,742+0 -1,722+0 3 -2,554+0 -4,211-2 4 -1,940+0 9,747-1 5 -4,498-1 2,302+0 6 1,243+0 -6,048-2 7 -3,211-1 -2,098+0 8 -1,354+0 4,049-1 9 -1,182-5 1,874+0	Station 6: W 2	■ 0,000+0 1,000+0 1 1,000+0 1,000+0 2 1,988+0 9,516-1 3 2,844+0 4,912-1 4 1,630+0 -3,201+0 5 -1,969+0 -3,326+0 6 -4,574+0 -2,065+0 7 -6,392+0 -1,505+0 8 -7,571+0 -9,339-1 9 -8,293+0 -3,008-1 10 -8,564+0 -3,867-2 11 -8,369+0 4,256-1 12 -7,726+0 8,101-1 13 -6,817+0 9,885-1 14 -5,808+0 1,071+0 15 -4,595+0 1,407+0 16 -2,907+0 1,982+0 17 -6,813-1 2,398+0 18 -1,695+0 2,233+0 19 -3,536+0 1,332+0 20 -4,161+0 -6,838-2 21 -3,439+0 -1,294+0 22 -4,237+0 -2,436+0 23 -6,817+0 -2,033+0 24 -5,808+0 -3,033-1 25 -4,595+0 -1,071+0 26 -3,590+0 9,685-2 27 -3,253+0 2,340-1 28 -1,242+1 -5,218+1 29 -6,242+1 -5,133-1 30 -7,726+0 8,101-1 31 -6,817+0 20 -2,436+0 -4,482-1 32 -3,253+0 2,101-1 -5,227-1 33 -6,817+0 8,101-1 -5,133-1 34 -5,808+0 24 -3,203+0 -3,033-1 35 -4,595+0 24 -3,603+0 -9,240-2 36 -3,253+0 24 -3,603+0 -9,240-2	■ 0,000+0 1,000+0 2 1,027+1 2,260-1 3 1,080+1 2,575-1 20 1,150+1 2,380-1 22 1,175+1 2,204-1 24 1,218+1 2,121-1 26 1,260+1 2,048-1 28 1,299+1 1,698-1 30 1,326+1 9,182-2 32 1,333+1 -1,591-2 34 1,317+1 -1,513-1 36 1,272+1 -3,026-1 38 1,198+1 -4,320-1 40 1,101+1 -5,337-1 42 9,873+0 -6,084-1 44 8,589+0 -6,735-1 46 7,185+0 -7,291-1 48 5,679+0 -7,740-1 50 4,101+0 -8,021-1 52 2,478+0 -8,194-1 54 8,289+1 -8,282-1 55 -1,082-6 -8,292-1	
Station 2: W 5	■ 0,000+0 1,000+0 1 8,102-1 -8,616-1 2 -1,413+0 -2,486-1 3 -8,318-1 1,095+0 4 4,663-1 3,139+0 5 1,190+0 -7,196-1 6 -8,587-1 -1,700+0 7 -3,000-1 2,098+0 8 1,183+0 5,346-2 9 5,561-6 -1,888+0	Station 4: W 4	■ 0,000+0 1,000+0 1 1,000+0 1,000+0 2 1,988+0 9,516-1 3 2,844+0 4,912-1 4 1,630+0 -3,201+0 5 -1,969+0 -3,326+0 6 -4,574+0 -2,065+0 7 -6,392+0 -1,505+0 8 -7,571+0 -9,339-1 9 -8,293+0 -3,008-1 10 -8,564+0 -3,867-2 11 -8,369+0 4,256-1 12 -7,726+0 8,101-1 13 -6,817+0 9,885-1 14 -5,808+0 1,071+0 15 -4,595+0 1,407+0 16 -2,907+0 1,982+0 17 -6,813-1 2,398+0 18 -1,695+0 2,233+0 19 -3,536+0 1,332+0 20 -4,161+0 -6,838-2 21 -3,439+0 -1,294+0 22 -4,237+0 -2,436+0 23 -6,817+0 -2,033+0 24 -5,808+0 -3,033-1 25 -4,595+0 -1,071+0 26 -3,590+0 9,685-2 27 -3,253+0 2,340-1 28 -1,242+1 -5,218+1 29 -6,242+1 -5,133-1 30 -7,726+0 8,101-1 31 -6,817+0 20 -2,436+0 -4,482-1 32 -3,253+0 2,101-1 -5,227-1 33 -6,817+0 8,101-1 -5,133-1 34 -5,808+0 24 -3,203+0 -3,033-1 35 -4,595+0 24 -3,603+0 -9,240-2 36 -3,253+0 24 -3,603+0 -9,240-2	■ 0,000+0 1,000+0 2 1,027+1 2,260-1 3 1,080+1 2,575-1 20 1,150+1 2,380-1 22 1,175+1 2,204-1 24 1,218+1 2,121-1 26 1,260+1 2,048-1 28 1,299+1 1,698-1 30 1,326+1 9,182-2 32 1,333+1 -1,591-2 34 1,317+1 -1,513-1 36 1,272+1 -3,026-1 38 1,198+1 -4,320-1 40 1,101+1 -5,337-1 42 9,873+0 -6,084-1 44 8,589+0 -6,735-1 46 7,185+0 -7,291-1 48 5,679+0 -7,740-1 50 4,101+0 -8,021-1 52 2,478+0 -8,194-1 54 8,289+1 -8,282-1 55 -1,082-6 -8,292-1	
Station 2: W 6	■ 0,000+0 1,000+0 1 1,000+0 1,000+0 2 1,988+0 9,516-1 3 2,844+0 4,912-1 4 1,630+0 -3,201+0 5 -1,969+0 -3,326+0 6 -4,574+0 -2,065+0 7 -6,392+0 -1,505+0 8 -7,571+0 -9,339-1 9 -8,293+0 -3,008-1 10 -8,564+0 -3,867-2 11 -8,369+0 4,256-1 12 -7,726+0 8,101-1 13 -6,817+0 9,885-1 14 -5,808+0 1,071+0 15 -4,595+0 1,407+0 16 -2,907+0 1,982+0 17 -6,813-1 2,398+0 18 -1,695+0 2,233+0 19 -3,536+0 1,332+0 20 -4,161+0 -6,838-2 21 -3,439+0 -1,294+0 22 -4,237+0 -2,436+0 23 -6,817+0 -2,033+0 24 -5,808+0 -3,033-1 25 -4,595+0 -1,071+0 26 -3,590+0 9,685-2 27 -3,253+0 2,340-1 28 -1,242+1 -5,218+1 29 -6,242+1 -5,133-1 30 -7,726+0 8,101-1 31 -6,817+0 20 -2,436+0 -4,482-1 32 -3,253+0 2,101-1 -5,227-1 33 -6,817+0 8,101-1 -5,133-1 34 -5,808+0 24 -3,203+0 -3,033-1 35 -4,595+0 24 -3,603+0 -9,240-2 36 -3,253+0 24 -3,603+0 -9,240-2	Station 6: W 2	■ 0,000+0 1,000+0 2 1,027+1 2,260-1 3 1,080+1 2,575-1 20 1,150+1 2,380-1 22 1,175+1 2,204-1 24 1,218+1 2,121-1 26 1,260+1 2,048-1 28 1,299+1 1,698-1 30 1,326+1 9,182-2 32 1,333+1 -1,591-2 34 1,317+1 -1,513-1 36 1,272+1 -3,026-1 38 1,198+1 -4,320-1 40 1,101+1 -5,337-1 42 9,873+0 -6,084-1 44 8,589+0 -6,735-1 46 7,185+0 -7,291-1 48 5,679+0 -7,740-1 50 4,101+0 -8,021-1 52 2,478+0 -8,194-1 54 8,289+1 -8,282-1 55 -1,082-6 -8,292-1		
Station 2: W 5	■ 0,000+0 1,000+0 1 1,000+0 1,000+0 2 1,988+0 9,516-1 3 2,844+0 4,912-1 4 1,630+0 -3,201+0 5 -1,969+0 -3,326+0 6 -4,574+0 -2,065+0 7 -6,392+0 -1,505+0 8 -7,571+0 -9,339-1 9 -8,293+0 -3,008-1 10 -8,564+0 -3,867-2 11 -8,369+0 4,256-1 12 -7,726+0 8,101-1 13 -6,817+0 9,885-1 14 -5,808+0 1,071+0 15 -4,595+0 1,407+0 16 -2,907+0 1,982+0 17 -6,813-1 2,398+0 18 -1,695+0 2,233+0 19 -3,536+0 1,332+0 20 -4,161+0 -6,838-2 21 -3,439+0 -1,294+0 22 -4,237+0 -2,436+0 23 -6,817+0 -2,033+0 24 -5,808+0 -3,033-1 25 -4,595+0 -1,071+0 26 -3,590+0 9,685-2 27 -3,253+0 2,340-1 28 -1,242+1 -5,218+1 29 -6,242+1 -5,133-1 30 -7,726+0 8,101-1 31 -6,817+0 20 -2,436+0 -4,482-1 32 -3,253+0 2,101-1 -5,227-1 33 -6,817+0 8,101-1 -5,133-1 34 -5,808+0 24 -3,203+0 -3,033-1 35 -4,595+0 24 -3,603+0 -9,240-2 36 -3,253+0 24 -3,603+0 -9,240-2	Station 6: W 3	■ 0,000+0 1,000+0 2 1,027+1 2,260-1 3 1,080+1 2,575-1 20 1,150+1 2,380-1 22 1,175+1 2,204-1 24 1,218+1 2,121-1 26 1,260+1 2,048-1 28 1,299+1 1,698-1 30 1,326+1 9,182-2 32 1,333+1 -1,591-2 34 1,317+1 -1,513-1 36 1,272+1 -3,026-1 38 1,198+1 -4,320-1 40 1,101+1 -5,337-1 42 9,873+0		

Station 10: W 2		Station 12: W 4	
28	1,492+0	1,329+0	
30	4,140+0	1,317+0	
32	6,675+0	1,185+0	
34	8,636+0	6,910+1	0 0,000+0 1,000+0
36	9,091+0	-3,154+1	2 2,000+0 1,000+0
38	7,255+0	-1,504+0	4 4,000+0 1,001+0
40	3,239+0	-2,435+0	6 5,980+0 9,659+1
42	-1,923+0	-2,555+0	8 7,869+0 9,112+1
44	-6,297+0	-1,702+0	10 9,166+0 1,591+1
46	-8,350+0	-3,273+1	12 7,055+0 -2,464+0
48	-7,686+0	9,697+1	14 3,994+1 -3,758+0
50	54,832+0	1,801+0	16 6,757+0 -3,244+0
52	-7,823+1	2,163+0	18 -1,227+1 -2,300+1
54	3,161+0	1,990+0	20 -1,644+1 -1,937+0
56	2,848+0	1,325+0	22 -1,993+1 -1,538+1
58	8,548+0	3,652+1	24 -2,255+1 -1,102+0
60	8,383+0	-4,956+1	26 -2,449+1 -8,451+1
62	6,642+0	-1,218+0	28 -2,591+1 -5,700+1
64	3,662+0	-1,714+0	30 -2,676+1 -2,826+1
66	-8,623+4	-1,890+0	32 -2,704+1 1,089+2
			34 -2,672+1 3,042+1
			36 -2,582+1 5,970+1
			38 -2,439+1 8,073+1
			40 -2,264+1 9,358+1
			42 -2,070+1 9,840+1
			44 -1,870+1 1,040+0
			46 -1,617+1 1,197+0
			48 -1,382+1 1,479+0
			50 -1,050+1 1,848+0
			52 -6,459+0 2,201+0
			54 -1,802+0 2,401+0
			56 3,008+0 2,364+0
			58 7,445+0 2,020+0
			60 1,091+1 1,402+0
			62 1,284+1 5,013+1
			64 1,298+1 -3,559+1
			66 1,145+1 -1,134+0
			68 8,608+0 -1,687+0
			70 4,838+0 -2,037+0
			72 6,141+1 -2,156+0
			74 -3,662+0 -2,089+0
			76 -7,622+0 -1,841+0
			78 -1,092+1 -1,434+0
			80 -1,327+1 -9,035+1
			82 -1,448+1 -2,926+1
			84 -1,446+1 2,903+1
			86 -1,1359+1 7,572+1
			88 -1,144+1 1,173+0
			90 -8,750+0 1,505+0
			92 -5,488+0 1,738+0
			94 -1,869+0 1,859+0
			95 3,550+4 1,875+0
Station 12: W 1		Station 12: W 5	
			B 0 0,000+0 1,000+0
			2 2,000+0 1,000+0
			4 3,991+0 9,730+1
			6 5,851+0 8,093+1
			8 5,631+0 -1,768+0
			10 -7,090+1 -3,737+0
			12 -7,152+0 -2,628+0
			14 -1,160+1 -1,916+0
			16 -1,697+1 -8,663+1
			18 -2,306+0 -1,052+0
			20 -1,831+1 -4,662+1
			22 -1,882+1 -4,519+2
			24 -1,849+1 3,779+1
			26 -1,732+1 7,590+1
			28 -1,561+1 9,472+1
			30 -1,365+1 9,985+1
			32 -1,148+1 1,204+0
			34 -8,666+0 1,653+0
			36 -4,814+0 2,185+0
			38 -1,190+1 2,435+0
			40 4,564+0 2,128+0
			42 8,034+0 -2,222+0
			44 9,172+0 -6,373+2
			46 7,845+0 -1,203+0
			48 4,659+0 -1,921+0
			50 4,976+1 -2,168+0
			52 -3,753+0 -2,018+0
			54 -7,336+0 -1,509+0
			56 -9,613+0 -7,324+1
			58 -1,018+1 1,487+1
			60 -9,150+0 8,481+1
			62 -6,879+0 1,397+1
			64 -3,686+0 1,759+0
			66 -2,715+5 1,885+0
Station 10: W 1		Station 12: W 3	
			B 0 0,000+0 1,000+0
			2 5,000+0 9,969+1
			4 9,576+0 5,837+1
			6 4,088+0 -2,334+0
			8 20 -7,962+0 -2,352+0
			10 -1,899+1 -2,053+0
			12 4,524+0 1,320+0
			14 6,752+0 1,294+0
			16 9,651+0 1,187+0
			18 3,433+0 1,233+0
			20 3,434+0 1,333+0
			22 1,178+1 9,022+1
			24 1,434+1 -1,245+0
			26 8,173+0 -1,995+0
			28 5,414+0 -2,531+0
			30 1,309+1 3,686+1
			32 4,524+0 1,320+0
			34 5,979+0 1,233+0
			36 3,433+0 1,333+0
			38 -7,859+1 1,306+0
			40 1,879+0 1,328+0
			42 4,524+0 1,320+0
			44 7,152+0 1,294+0
			46 9,651+0 1,187+0
			48 1,178+1 9,022+1
			50 1,309+1 3,686+1
Station 10: W 5		Station 12: W 5	
			B 0 0,000+0 1,000+0
			2 2,000+0 1,000+0
			4 3,856+1 1,749+0
			6 3,629+1 -1,327+0
			8 4,190+1 -9,669+1
			10 -4,640+1 -7,776+1
			12 5,790+1 4,567+1
			14 5,626+0 2,924+0
			16 5,396+1 5,635+0
			18 6,181+0 2,618+0
			20 3,434+1 4,222+0
			22 5,023+1 1,991+0
			24 5,340+1 -7,501+1
			26 -1,199+1 -4,192+1
			28 -1,191+1 5,047+1
			30 2,388+1 -4,464+0
			32 -6,903+0 1,818+0
			34 -2,923+0 2,120+0

Tabelle 2, Blatt 2 (zu W. Krauss)

Station 14: W 1											
76	1,408+0	2,167+0	18	-1,554+1	-1,786+0	40	1,880+1	1,864+1	66	-8,603+0	-1,586+0
78	5,570+0	1,952+0	20	-1,862+1	-1,278+0	45	1,947+1	6,138+2	68	-1,120+1	-9,859+1
80	9,061+0	1,502+0	22	-2,077+1	-9,217+1	50	1,928+1	-1,480+1	70	-1,246+1	-2,667+1
82	1,145+1	8,697+1	24	-2,230+1	-6,073+1	55	1,792+1	-3,894+1	72	-1,230+1	4,079+1
84	1,251+1	1,941+1	26	-2,319+1	-2,736+1	50	1,552+1	-5,598+1	74	-1,093+1	9,409+1
86	1,229+1	-4,000+1	28	-2,339+1	6,798+2	65	1,242+1	-6,730+1	76	-8,594+0	1,383+0
88	1,095+1	-9,324+1	30	-2,292+1	4,076+1	70	8,834+0	-2,596+1	78	-5,484+0	1,702+0
90	8,617+0	-1,382+0	32	-2,177+1	7,270+1	75	4,904+0	-8,055+1	80	-1,884+0	1,869+0
92	5,504+0	-1,707+0	34	-2,014+1	8,895+1	80	8,232+1	-8,229+1	81	-1,886+4	1,891+0
94	1,891+0	-1,877+0	36	-1,824+1	9,806+1						
95	-5,465-5	-1,899+0	38	-1,625+1	1,041+0						
Station 14: W 2											
40	-1,399+1	1,237+0	42	-1,117+1	1,602+0	46	-7,534+0	2,043+0	48	0	0,000+0
42	-1,117+1	1,602+0	44	-3,081+0	2,372+0	46	1,762+0	2,415+0	50	0	0,000+0
44	-3,081+0	2,372+0	46	1,762+0	2,415+0	50	0,000+0	1,000+0	52	0	0,000+0
46	1,762+0	2,415+0	50	6,310+0	2,060+0	54	4,998+0	9,963+1	55	2,000+0	1,000+0
50	6,310+0	2,060+0	54	9,760+0	1,315+0	55	9,515+0	6,376+1	56	4,000+0	9,973+1
54	9,760+0	1,315+0	56	1,133+1	2,663+1	55	9,320+0	-3,803+1	58	5,916+0	9,276+1
56	1,133+1	2,663+1	58	1,087+1	-7,251+1	58	2,133+0	-4,746+1	60	3,474+0	3,727+1
58	1,087+1	-7,251+1	60	8,609+0	-1,487+0	58	4,678+0	-5,040+1	62	1,362+0	-2,999+0
60	8,609+0	-1,487+0	62	2,112+0	-5,201+1	60	2,112+0	-5,201+1	64	1,248+0	-4,113+0
62	2,112+0	-5,201+1	64	5,080+0	-1,990+0	62	5,013+1	5,234+1	66	9,136+0	-2,251+0
64	5,080+0	-1,990+0	66	8,784+1	-2,167+1	64	-5,163+0	1,218+1	68	-1,182+1	-7,190+1
66	8,784+1	-2,167+1	68	-3,110+0	-5,163+0	68	-1,182+1	-7,190+1	70	55	9,282+0
70	-3,110+0	-5,163+0	72	-7,329+0	-1,774+0	75	-5,561+0	4,476+1	72	-2,620+1	60
72	-7,329+0	-1,774+0	74	-1,038+1	-1,251+0	75	-7,428+0	-2,815+1	76	3,342+1	3,788+0
74	-1,038+1	-1,251+0	76	-1,223+1	-5,804+1	75	-8,242+0	-4,311+2	78	1,189+1	5,792+1
76	-1,223+1	-5,804+1	78	-1,26+1	1,295+1	76	-9,747+0	1,496+1	80	1,416+1	-2,412+0
78	-1,26+1	1,295+1	80	-1,180+1	7,126+1	76	-6,840+0	2,899+1	82	2,378+1	-4,315+0
80	-1,180+1	7,126+1	82	-9,891+0	1,89+1	70	-5,092+0	4,036+1	76	1,016+0	1,946+5
82	-9,891+0	1,89+1	74	-7,116+0	1,565+0	75	-2,896+0	4,661+1	78	0	-1,981+0
75	-7,116+0	1,565+0	78	-3,720+0	-1,805+0	80	-4,909+1	4,902+1	81	-2,604+4	4,909+1
80	-3,720+0	-1,805+0	82	-5,391+5	1,887+0						
Station 14: W 3											
Station 14: W 4											
Station 14: W 5											
Station 16: W 1											
0	0,000+0	1,000+0	4	0,000+0	1,000+0	5	4,998+0	9,965+1	6	0,000+0	1,000+0
5	4,998+0	9,965+1	4	4,001+0	9,981+1	10	8,240+0	-6,309+1	50	1,676+0	-2,607+0
10	0,574+0	5,828+1	4	4,001+0	9,981+1	15	-1,926+0	-2,457+1	52	-3,520+0	-2,465+0
15	9,562+0	-3,607+1	8	7,338+0	4,525+1	20	-1,361+0	-2,166+1	54	-7,764+0	-1,708+0
20	7,403+0	-4,244+1	10	5,826+0	-2,739+0	25	-2,363+1	-1,822+0	56	-1,008+1	-5,810+1
25	4,453+0	-5,035+1	12	-1,950+0	-4,196+0	30	-3,156+1	-3,235+0	58	-1,015+1	5,074+1
30	2,357+0	-5,205+1	14	-1,288+1	-2,438+0	35	-3,20+0+1	-9,360+1	60	-8,171+0	1,404+0
35	-2,310+1	-5,243+1	16	-1,177+1	-8,008+1	40	-4,112+1	-5,010+1	62	-4,723+0	1,949+0
40	-2,850+0	-5,200+1	18	-1,288+1	-3,142+1	45	-5,864+1	1,820+0	64	-5,883+1	2,177+0
45	-5,342+0	-4,616+1	20	-1,297+1	2,244+1	50	-2,200+1	4,755+0	66	3,693+0	2,044+0
50	-7,312+0	-3,078+1	52	-1,215+1	5,470+1	55	5,565+0	5,753+0	68	7,364+0	1,573+0
55	-8,285+0	-7,702+2	24	-1,082+1	7,815+1	60	3,099+1	4,130+0	70	9,812+0	8,406+1
60	-8,135+0	1,261+1	62	-9,050+0	9,855+1	65	6,548+0	-2,087+0	72	1,069+1	5,724+2
65	-7,140+0	2,683+1	66	-6,908+0	1,149+0	70	4,366+1	-1,916+0	74	1,012+1	-6,128+1
70	-5,492+0	3,861+1	70	-4,484+0	1,266+1	75	2,806+1	-4,062+0	76	8,296+0	-1,199+0
75	-3,356+0	4,576+1	72	-1,877+0	1,330+0	80	4,982+0	-4,964+0	78	5,431+0	-1,635+0
80	-9,793+1	4,878+1	74	2,960+1	1,337+1	81	3,590+4	-4,990+0	80	1,889+0	4,868+0
82	-7,752+5	4,905+1	82	3,457+0	1,326+0						
Station 16: W 2											
Station 16: W 3											
Station 16: W 4											
Station 16: W 5											
Station 18: W 1											
0	0,000+0	1,000+0	4	0,000+0	1,000+0	5	4,998+0	9,981+1	6	0,000+0	1,000+0
5	4,998+0	9,981+1	4	4,001+0	9,981+1	10	8,240+0	-6,309+1	5	4,999+0	9,981+1
10	8,450+0	-4,778+1	50	3,284+0	-2,506+0	6	5,939+0	9,482+1	10	9,767+0	7,827+1
15	-1,339+0	-2,455+2	52	-1,917+0	-2,585+0	8	7,622+0	5,467+1	15	1,238+1	3,580+1
20	-1,302+1	-2,174+0	54	-6,588+0	-1,997+0	10	6,548+0	-2,087+0	20	1,400+1	2,972+1
25	-2,306+1	-1,833+0	58	-9,631+0	-9,803+1	12	1,132+1	-3,761+0	25	1,541+1	2,663+1
30	-3,110+1	-1,359+0	58	-1,046+1	1,217+1	14	-6,885+0	3,055+0	30	1,666+1	2,328+1
35	-3,673+1	-9,560+1	60	-9,171+0	1,130+1	16	-1,191+1	-2,111+0	35	1,776+1	2,135+1
40	-4,105+1	-6,207+1	62	-6,222+0	2,720+0	18	-1,580+1	-1,743+0	40	1,879+1	1,836+1
45	-3,981+1	1,466+0	64	-2,273+0	2,123+0	20	-1,877+1	-1,220+0	45	1,941+1	4,449+2
50	-2,503+1	4,432+0	66	2,01+0	2,132+0	22	-2,084+1	-8,839+1	50	1,910+1	-1,775+1
55	1,675+0	5,779+0	68	6,026+0	1,719+0	70	-2,28+1	-5,595+1	55	1,757+1	-4,216+1
60	2,803+0	4,419+0	70	9,038+0	1,170+0	26	-2,306+1	-2,154+1	60	1,503+1	-5,827+1
65	4,414+1	1,859+0	72	1,059+1	5,864+1	28	-1,315+1	1,291+1	65	1,183+1	-6,948+1
70	-1,365+0	-1,365+0	74	1,063+1	-5,220+1	70	8,134+0	-7,726+1	70	-1,250+1	4,239+2
75	3,184+1	-1,747+1	76	9,567+0	1,191+1	52	-1,22+1	7,751+1	72	-1,176+1	6,650+1
80	3,853+0	-6,853+0	78	5,952+0	-1,645+1	51	-1,952+1	9,311+1	74	-9,922+0	1,167+0
82	-2,-01-5	-4,461+0	80	3,204+0	-1,771+0	50	-1,767+1	9,853+1	76	-7,167+0	1,566+0
Station 14: W 4											
Station 16: W 3											
Station 16: W 4											
Station 16: W 5											
Station 18: W 1											
0	0,000+0	1,000+0	4	0,000+0	1,000+0	5	4,998+0	9,981+1	6	0,000+0	1,000+0
5	4,998+0	9,981+1	4	4,001+0	9,981+1	10	8,240+0	-6,309+1	5	4,999+0	9,981+1
10	8,450+0	-4,778+1	50	3,284+0	-2,506+0	6	5,939+0	9,482+1	10	9,767+0	7,827+1
15	-1,339+0	-2,455+2	52	-1,917+0	-2,585+0	8	7,622+0	5,467+1	15	1,238+1	3,580+1
20	-1,302+1	-2,174+0	54	-6,588+0	-1,997+0	10	6,548+0				

Station 20: W 4		Station 22: W 1		Station 23: W 1		Station 24: W 1	
0	1,289+0	0	1,000+0	0	-1,327+1	-6,463+1	0
5	-1,053+0	1,333+0	0	-2,699+1	-5,363+1	5,000+0	1,000+0
10	1,635+0	1,330+0	0	-1,485+1	-8,474+2	5,000+0	9,998+0
15	4,289+0	1,324+0	0	-2,733+1	2,023+1	9,955+0	9,561+1
20	6,887+0	1,256+0	0	-2,664+1	4,597+1	1,362+1	5,017+1
25	9,203+0	1,012+0	4	-2,539+1	7,456+1	20,158+1	3,368+1
30	1,071+1	4,392+1	6	-2,376+1	8,756+1	1,715+1	2,944+1
35	1,072+1	-4,660+1	8	-2,189+1	9,723+1	30,185+1	2,688+1
40	8,811+0	-1,440+0	10	-1,994+1	9,900+1	3,984+1	2,410+0
45	5,074+0	-2,257+0	12	-1,786+1	1,105+0	2,098+1	2,190+0
50	1,051+1	-2,602+0	14	-1,546+1	1,315+0	2,205+1	2,097+1
55	-2,486+0	-2,239+0	16	-1,251+1	1,644+0	55,234+1	1,521+1
60	-8,518+0	-1,345+0	18	-2,197+1	2,056+1	60,230+1	1,388+2
65	-1,005+1	-2,040+1	20	-2,291+1	1,567+1	1,204+1	-1,777+1
70	-9,390+0	8,578+1	22	-2,340+1	2,862+2	65,216+1	-3,863+1
75	-6,856+0	1,606+0	24	-2,222+1	6,394+1	5,940+0	-5,415+1
80	-3,153+0	2,044+0	26	-2,318+1	3,144+1	6,129+1	-6,457+1
85	1,087+0	2,134+0	28	-2,348+1	1,947+2	20,196+1	8,182+0
90	5,142+0	1,861+0	30	-2,310+1	3,528+1	64,138+1	1,086+0
95	8,321+0	1,272+0	32	-2,206+1	6,800+1	1,314+1	9,209+0
0	1,008+1	4,839+1	34	-2,050+1	6,600+1	6,134+1	8,225+1
5	1,030+1	-2,487+1	36	-1,864+1	9,741+1	20,767+1	-1,792+1
10	9,160+0	8,810+1	38	-1,668+1	1,005+0	35,852+0	-2,073+0
15	6,849+0	-1,404+0	40	-1,452+1	1,168+0	74,-3,595+1	-2,115+0
20	3,661+0	-1,748+0	42	-1,190+1	1,483+0	6,461+0	-2,039+0
25	4,217+3	-1,868+0	44	-8,521+0	1,904+0	78,-8,442+1	-1,764+0
30			46	-3,313+0	2,274+0		
35			48	-4,118+1	2,401+0		
40			50	-5,058+0	2,175+0		
45			52	-8,858+0	1,568+0		
50			54	-1,105+1	5,865+1		
55			56	-1,125+1	-3,910+1		
60			58	-9,560+0	-1,246+0		
65			60	-6,454+0	-1,824+0		
70			62	-2,471+0	-2,105+0		
75			64	-1,798+0	-2,123+0		
80			66	-5,863+0	-1,902+0		
85			68	-9,265+0	-1,466+0		
90			70	-1,161+1	-8,643+1		
95			72	-1,265+1	-1,649+1		
0	1,917+1	1,987+1	74	-1,233+1	4,669+1		
5	1,997+1	9,971+2	76	-1,088+1	9,686+1		
10	2,002+1	-9,120+2	78	-8,508+0	1,386+0		
15	1,896+0	-3,522+1	80	-5,412+0	1,687+0		
20	1,680+1	-5,214+1	82	-1,856+0	1,843+0		
25	1,587+1	-6,441+1	83	3,616+4	1,863+0		
30	1,700+1	2,387+1					
35	1,83+1	2,139+1					
40	1,917+1	1,987+1					
45	1,997+1	9,971+2					
50	2,002+1	-9,120+2					
55	1,896+0	-3,522+1					
60	1,680+1	-5,214+1					
65	1,587+1	-6,441+1					
70	1,040+1	-7,381+1					
75	6,546+0	-7,981+1					
80	2,480+0	-8,241+1					
85	1,661+5	-8,283+1					
0							
5							
10							
15							
20							
25							
30							
35							
40							
45							
50							
55							
60							
65							
70							
75							
80							
85							
90							
95							
0							
5							
10							
15							
20							
25							
30							
35							
40							
45							
50							
55							
60							
65							
70							
75							
80							
85							
90							
95							
0							
5							
10							
15							
20							
25							
30							
35							
40							
45							
50							
55							
60							
65							
70							
75							
80							
85							
90							
95							
0							
5							
10							
15							
20							
25							
30							
35							
40							
45							
50							
55							
60							
65							
70							
75							
80							
85							
90							
95							
0							
5							
10							
15							
20							
25							
30							
35							
40							
45							
50							
55							
60							
65							
70							
75							
80							
85							
90							
95							
0							
5							
10							
15							
20							
25							
30							
35							
40							
45							
50							
55							
60							
65							
70							
75							
80							
85							
90							
95							
0							
5							
10							
15							
20							
25							
30							
35							
40							
45							
50							
55							
60							
65							
70							
75							
80							
85							
90							
95							
0							
5							
10							
15							
20							
25							
30							
35							
40							
45							
50							
55							
60							
65							
70							
75							
80							
85							
90							
95							
0							
5							
10							
15							
20							
25							
30							
35							
40							
45							
50							
55							
60							
65							
70							
75							
80							
85							
90							
95							
0							
5							
10							
15							
20							
25							
30							
35							
40							
45							
50							
55							
60							
65							
70							
75							
80							
85							
90				</			

Tabelle 2, Blatt 4 (zu W. Krauss)

32		-2, 253+1	-4, 716-2	10	9, 975+0	9, 729-1	■	Station 28: W 1	140	-1, 210+1	3, 025+0	80	2, 585+1	4, 088+0
34		-2, 730+1	2, 462-1	20	1, 589+1	3, 387-1	■	■	144	-3, 373-3	3, 025+0	90	6, 019+1	2, 712+0
36		-2, 652+1	5, 378+1	30	1, 889+1	2, 699-1	0	0, 000+0	1, 000+0	100	8, 055+1	1, 451+0		
38		-2, 518+1	7, 761-1	40	2, 132+1	2, 190-1	10	9, 991+0	9, 963-1	110	8, 662+1	3, 348+1		
40		-2, 350+1	9, 061-1	50	2, 339+1	1, 807-1	20	1, 886+1	7, 029-1	120	7, 569+1	1, 615+0		
42		-2, 158+1	9, 832-1	60	2, 408+1	8, 272-2	30	2, 548+1	6, 390-1	130	5, 726+1	2, 019+0		
44		-1, 960+1	1, 019+0	70	2, 150+1	4, 572-1	40	3, 171+1	6, 056-1	140	3, 569+1	-2, 275+0		
46		-1, 713+1	1, 156+0	80	1, 555+1	6, 717-1	50	3, 756+1	5, 615-1	150	1, 218+1	-2, 406+0		
48		-1, 489+1	1, 407+0	90	8, 137+0	7, 940-1	60	4, 237+1	3, 673-1	155	8, 966-2	-2, 423+0		
50		-1, 173+1	1, 764+0	100	-1, 885-2	-8, 264-1	70	4, 411+1	-5, 083-2					
52		-7, 829+0	2, 137+0				80	4, 158+1	4, 046-1					
54		-3, 267+0	2, 393+0				90	3, 676+1	-5, 446-1					
56		1, 602+0	2, 434+0				100	3, 090+1	-6, 161-1					
58		6, 278+0	2, 187+0				110	2, 441+1	-6, 791-1					
60		1, 016+1	1, 653+0	■	0, 000+0	1, 000+0	120	1, 742+1	-7, 116-1					
62		1, 267+1	8, 128+1	10	9, 943+0	9, 370-1	130	1, 022+1	-7, 257-1					
64		1, 340+1	-6, 437-2	20	1, 094+1	-4, 142-1	140	2, 951+0	-7, 282-1					
66		1, 243+1	-8, 971+0	30	6, 275+0	-4, 988-1	144	3, 842-2	-7, 282-1					
68		9, 980+0	-1, 516+0	40	1, 14+1	-5, 216-1								
70		6, 468+0	-1, 958+0	50	-4, 060+0	-5, 124-1								
72		2, 321+0	-2, 153+0	60	-8, 533+0	-3, 386-1								
74		-2, 022+0	-2, 159+0	70	-1, 010+1	2, 669-2								
76		-6, 194+0	-1, 982+0	80	-8, 458+0	2, 814+1								
78		-9, 839+0	-1, 677+0	90	-4, 736+0	4, 424-1								
80		-1, 264+1	-1, 152+0	100	-1, 350-2	4, 873-1								
82		-1, 458+1	-5, 688-1											
84		-1, 490+1	4, 493+2											
86		-1, 426+1	5, 703-1											
88		-1, ~8+1	1, 002+0											
90		-1, 029+1	1, 372+0											
92		-7, 252+0	1, 655+0											
94		-3, 745+0	1, 832+0											
96		4, 568-4	1, 892+0											
Station 24: W 5														
■														
0	0, 000+0	1, 000+0	■	0, 000+0	1, 000+0	■	■	■	■	■	■	■	■	■
2	2, 000+0	1, 000+0	■	10	9, 751+0	7, 547-1	■	■	■	■	■	■	■	■
4	4, 011+0	1, 001+0	■	20	-5, 814+0	-2, 389+0	■	■	■	■	■	■	■	■
6	5, 975+0	9, 549+1	■	30	-2, 723+1	-1, 864+0	■	■	■	■	■	■	■	■
8	7, 930+0	8, 906+1	■	40	-4, 206+1	-1, 084+0	■	■	■	■	■	■	■	■
10	6, 962+0	-4, 600+2	■	50	-5, 064+1	-3, 752-1	■	■	■	■	■	■	■	■
12	5, 915+0	-3, 229+0	■	60	-3, 461+1	-3, 969+0	■	■	■	■	■	■	■	■
14	-2, 183+0	-4, 216+0	■	70	1, 842+1	5, 383+0	■	■	■	■	■	■	■	■
16	-9, 308+0	-2, 766+0	■	80	5, 493+1	1, 468+0	■	■	■	■	■	■	■	■
18	-1, 312+1	-1, 123+0	■	90	4, 399+1	-3, 320+0	■	■	■	■	■	■	■	■
20	-1, 465+1	-5, 563+1	■	100	3, 095+2	-4, 955+0	■	■	■	■	■	■	■	■
Station 26: W 4														
■														
0	0, 000+0	1, 000+0	■	0, 000+0	1, 000+0	■	■	■	■	■	■	■	■	■
10	9, 916+0	9, 626-1	■	9, 417+0	-1, 635+0	■	■	■	■	■	■	■	■	■
20	-8, 114+0	-1, 751+0	■	-2, 478+1	-1, 549+0	■	■	■	■	■	■	■	■	■
30	-5, 846+1	-1, 122+0	■	-6, 090+1	9, 556+1	■	■	■	■	■	■	■	■	■
40	-15, 141+1	-3, 746+1	■	-7, 541+1	3, 946+0	■	■	■	■	■	■	■	■	■
50	-2, 252+1	-3, 358+1	■	-8, 255+2	3, 718+0	■	■	■	■	■	■	■	■	■
60	-10, 548+1	2, 230+0	■	-9, 546+1	-2, 230+1	■	■	■	■	■	■	■	■	■
70	-7, 036+1	3, 545+1	■	-10, 504+1	-8, 545+1	■	■	■	■	■	■	■	■	■
80	-12, 580+1	-1, 883+0	■	-13, 540+1	-1, 883+0	■	■	■	■	■	■	■	■	■
90	-14, 915+1	3, 719+1	■	-14, 115+1	-4, 923+1	■	■	■	■	■	■	■	■	■
100	-15, 383+1	5, 588+1	■	-15, 375+1	-5, 588+1	■	■	■	■	■	■	■	■	■
Station 28: W 3														
■														
0	0, 000+0	1, 000+0	■	10	9, 990+0	9, 968-1	■	■	■	■	■	■	■	■
20	1, 199+1	7, 525-1	■	20	2, 655+1	6, 694-1	■	■	■	■	■	■	■	■
30	3, 333+1	6, 652-1	■	40	3, 398+1	6, 262-1	■	■	■	■	■	■	■	■
40	4, 559+1	4, 596-1	■	50	4, 539+1	4, 596-1	■	■	■	■	■	■	■	■
50	5, 481+1	4, 596-1	■	60	4, 783+1	-2, 481-1	■	■	■	■	■	■	■	■
60	6, 231+1	7, 159+1	■	70	4, 557+1	-3, 719-1	■	■	■	■	■	■	■	■
70	7, 151+1	6, 242+1	■	80	10, 293+1	-6, 051+0	■	■	■	■	■	■	■	■
80	11, 231+1	6, 242+1	■	90	12, 351+1	-6, 051+0	■	■	■	■	■	■	■	■
90	13, 291+1	6, 242+1	■	100	14, 331+1	-6, 051+0	■	■	■	■	■	■	■	■
Station 28: W 4														
■														
0	0, 000+0	1, 000+0	■	10	9, 990+0	9, 892-1	■	■	■	■	■	■	■	■
20	1, 170+1	-1, 759+1	■	30	1, 379+1	-3, 928+1	■	■	■	■	■	■	■	■
40	4, 956+1	-4, 496-1	■	40	4, 869+1	-4, 868-1	■	■	■	■	■	■	■	■
50	5, 133+1	-4, 314+2	■	50	4, 869+1	-4, 868-1	■	■	■	■	■	■	■	■
60	6, 125+1	-3, 624+0	■	60	2, 317+1	-5, 237+1	■	■	■	■	■	■	■	■
70	7, 150+1	-3, 289+1	■	70	-4, 959+1	-3, 709+1	■	■	■	■	■	■	■	■
80	8, 746+1	-2, 476+0	■	80	-7, 426+0	-1, 435+1	■	■	■	■	■	■	■	■
90	9, 826+1	-2, 856+0	■	90	-8, 258+0	-3, 048+2	■	■	■	■	■	■	■	■
100	10, 813+0	-3, 182+0	■	100	-8, 193+0	-3, 486-2	■	■	■	■	■	■	■	■
110	-11, 748+1	-3, 082+1	■	110	-7, 486+0	-3, 082+1	■	■	■	■	■	■	■	■
120	-12, 620+0	-1, 558+1	■	120	-6, 120+0	-1, 558+1	■	■	■	■	■	■	■	■
130	-13, 482+0	-1, 659+1	■	130	-2, 736+0	-1, 786+1	■	■	■	■	■	■	■	■
140	-15, 927+1	-3, 131+1	■	140	-9, 237+1	-1, 831+1	■	■	■	■	■	■	■	■
150	-16, -6, 209+3	-1, 836+1	■	155	-6, 209+3	-1, 836+1	■	■	■	■	■	■	■	■
Station 30: W 2														
■														
0	0, 000+0	1, 000+0	■	10	9, 891+0	9, 646-1	■	■	■	■	■	■	■	■
20	1, 378+1	-1, 537+0	■	20	-3, 411+0	-1, 761+0	■	■	■	■	■	■	■	■
40	-2, 052+1	-1, 629+0	■	40	-4, 881+0	-4, 881+0	■	■	■	■	■	■	■	■
50	-3, 538+1	-1, 280+0	■	50	-4, 116+1	4, 526+1	■	■	■	■	■	■	■	■
60	-4, 181+0	-1, 493+0	■	60	-1, 481+0	-1, 481+0	■	■	■	■	■	■	■	■
70	-5, 182+0	-1, 481+0	■	70	-1, 480+0	-1, 480+0	■	■	■	■	■	■	■	■
80	-6, 148+0	-2, 168+0	■	80	-11, 702+3	-8, 537+1	■	■	■	■	■	■	■	■
90	-1, 064+1	1, 283+0	■	90	-6, 466+1	1, 54+0	■	■	■	■	■	■	■	■
100	9, 870+4	-1, 893+0	■	100	-1, 893+0	-1, 893+0	■	■	■	■	■	■	■	■
Station 26: W 1														
■														
0	0, 000+0	1, 000+0	■	10	9, 903+4	-1, 899+0	■	■	■	■	■	■	■	■
Station 30: W 3														
■														

**Tabelle 2, Blatt 5** (zu W. Krauss)

60	3,947+1	2,516-1	90	1,542+1	7,413+0	60	-6,452+1	4,106+0	185	-8,355+1	3,979+0
70	3,889+1	-4,557+1	95	4,613+1	4,571+0	65	-3,356+1	8,210+0	190	-6,365+1	3,979+0
80	3,242+1	-7,738+1	100	5,944+1	8,065+0	70	1,312+1	9,456+0	195	-4,376+1	3,979+0
90	2,409+1	-8,905+1	105	5,407+1	-2,896+0	75	5,216+1	5,933+0	200	-2,386+1	3,979+0
100	1,476+1	-9,632+1	110	3,199+1	-5,702+0	80	7,181+1	2,076+0	205	-3,972+0	3,979+0
110	4,967+0	-9,915+1	115	1,992+2	-6,746+0	85	7,559+1	-4,840+1	206	6,520+3	3,979+0
115	-1,309+3	-9,949+1				90	6,789+1	-2,307+0			
Station 32: # 2											
0	0,000+0	1,000+0	100	3,451+1	-4,153+0	95	5,380+1	-5,302+0	105	1,390+1	-3,045+1
10	9,903+0	9,750+1	105	1,016+1	-5,171+0	105	1,016+1	-5,171+0	110	1,063+1	-3,567+1
20	1,675+1	-2,804+1	110	-1,581+1	-5,077+0	110	6,163+0	-5,739+1	115	0,000+0	1,000+0
30	1,559+1	-4,629+1	115	-3,925+1	-4,169+0	115	-5,002+1	-7,075+1	120	5,638+0	-2,580+0
40	7,697+0	-5,159+1	120	-6,550+1	-1,149+0	120	-7,334+0	-6,537+1	125	-6,550+1	-1,149+0
50	2,400+0	-5,149+1	130	-6,935+1	-4,003+1	125	1,350+1	-5,686+1	130	-6,935+1	-4,003+1
60	-3,030+0	-5,217+1	135	-6,945+1	3,476+1	130	1,829+1	-3,645+1	135	-6,945+1	3,476+1
70	-6,848+0	-1,608+1	140	-6,674+1	7,254+1	135	-2,047+1	-7,308+2	140	-6,674+1	7,254+1
80	-7,120+0	6,832+2	145	-6,222+1	1,075+0	140	-2,016+1	9,882+2	145	-6,222+1	1,075+0
90	-5,943+0	1,688+1	150	-5,603+1	1,396+0	145	-1,879+1	1,732+1	150	-5,603+1	1,396+0
100	-3,859+0	2,366+1	155	-4,832+1	1,680+0	150	-1,400+1	2,971+1	155	-4,832+1	1,680+0
110	-332+0	2,643+1	160	-3,930+1	1,918+0	155	-1,096+1	3,048+1	160	-3,930+1	1,918+0
115	8,766+4	2,677+1	165	-2,922+1	2,104+0	160	-7,919+0	3,048+1	165	-2,922+1	2,104+0
Station 32: W 1											
0	0,000+0	1,000+0	170	-1,835+1	2,233+0	170	-9,870+0	3,048+1	175	-6,991+0	2,302+0
10	9,877+0	9,951+1	175	-6,991+0	2,302+0	175	-1,822+0	3,048+1	180	6,690+3	2,313+0
20	1,947+1	7,940+1	180	-6,152+2		180	-6,152+2		185	9,283+1	-7,051+0
30	2,718+1	7,632+1	185	1,816+1	-6,420+1	185	1,816+1	-6,420+1	190	4,851+1	-1,015+1
40	3,471+1	7,403+1	190	1,711+1	-6,479+1	190	1,711+1	-6,512+1	195	4,522+0	-1,080+1
50	4,196+1	7,081+1	195	1,063+1	-6,520+1	195	1,063+1	-6,520+1	200	5,632+1	-1,736+0
60	4,860+1	5,894+1	200	-1,581+1	-5,077+0	200	-5,002+1	-7,075+1	205	-9,748+1	-6,244+0
70	5,275+1	1,465+1	205	-2,016+1	9,882+2	205	-1,154+2	-4,030+1	210	1,293+1	6,259+1
80	5,218+1	-1,886+1	210	-1,437+1	-8,486+1	210	-1,437+1	-8,486+1	215	2,709+0	-5,074+0
90	4,967+1	-2,996+1	215	-2,016+1	-4,685+0	215	-2,016+1	-4,685+0	220	-8,250+0	8,635+1
100	4,635+1	-3,736+1	220	-4,466+1	-4,508+0	220	-2,851+0	-8,678+1	225	-1,007+2	6,150+0
110	4,208+1	-4,790+1	225	-6,556+1	-3,667+0	225	-6,136+1	-8,157+1	230	-1,156+1	-2,461+1
115	-1,332+1	-5,735+1	230	-1,727+1	-1,089+1	230	-1,727+1	-1,089+1	235	-1,351+5	9,089+1
Station 32: W 2											
0	0,000+0	1,000+0	235	-8,824+1	-8,293+1	235	-9,244+6	1,140+0	240	1,916+1	8,580+1
10	9,696+0	9,210+1	240	-8,884+1	9,162+1	240	-8,876+0	1,097+0	245	1,293+1	6,259+1
20	1,066+1	-2,638+0	245	-7,767+1	4,081+0	245	-7,676+1	4,081+0	250	-2,016+1	-4,685+1
30	-1,673+1	-2,716+0	250	-4,466+1	-4,508+0	250	-2,851+0	-8,678+1	255	-2,016+1	-4,685+1
40	-4,188+1	-2,230+1	255	-6,556+1	-3,667+0	255	-6,136+1	-8,157+1	260	-1,156+1	-2,461+1
50	-6,007+1	-1,273+0	260	-1,727+1	-1,089+1	260	-1,727+1	-1,089+1	265	-1,351+5	9,089+1
60	-5,583+1	2,965+0	265	-8,824+1	-8,293+1	265	-9,244+6	1,140+0	270	-1,351+5	9,089+1
70	6,697+0	8,301+0	270	-8,884+1	9,162+1	270	-8,876+0	1,097+0	275	1,293+1	6,259+1
80	7,312+1	4,497+0	275	-7,767+1	4,081+0	275	-7,676+1	4,081+0	280	-2,016+1	-4,685+1
90	9,854+1	1,429+1	280	-4,466+1	-4,508+0	280	-2,851+0	-8,678+1	285	-2,016+1	-4,685+1
100	7,574+1	-3,802+0	285	-6,556+1	-3,667+0	285	-6,136+1	-8,157+1	290	-1,156+1	-2,461+1
110	2,893+1	-5,648+1	290	-1,727+1	-1,089+1	290	-1,727+1	-1,089+1	295	-1,351+5	9,089+1
115	-6,228+2	-5,885+0	295	-8,824+1	-8,293+1	295	-9,244+6	1,140+0	300	-1,351+5	9,089+1
Station 32: W 3											
0	0,000+0	1,000+0	300	-8,824+1	-8,293+1	300	-9,244+6	1,140+0	305	-1,351+5	9,089+1
10	9,696+0	9,210+1	305	-8,884+1	9,162+1	305	-8,876+0	1,097+0	310	-1,351+5	9,089+1
20	1,066+1	-2,638+0	310	-7,767+1	4,081+0	310	-7,676+1	4,081+0	315	-2,016+1	-4,685+1
30	-1,673+1	-2,716+0	315	-4,466+1	-4,508+0	315	-4,466+1	-4,508+0	320	-1,156+1	-2,461+1
40	-4,188+1	-2,230+1	320	-1,727+1	-1,089+1	320	-1,727+1	-1,089+1	325	-1,351+5	9,089+1
50	-6,007+1	-1,273+0	325	-8,824+1	-8,293+1	325	-9,244+6	1,140+0	330	-1,351+5	9,089+1
60	-5,583+1	2,965+0	330	-8,884+1	9,162+1	330	-8,876+0	1,097+0	335	-1,351+5	9,089+1
70	6,697+0	8,301+0	335	-7,767+1	4,081+0	335	-7,676+1	4,081+0	340	-2,016+1	-4,685+1
80	7,312+1	4,497+0	340	-4,466+1	-4,508+0	340	-4,466+1	-4,508+0	345	-1,156+1	-2,461+1
90	9,854+1	1,429+1	345	-1,727+1	-1,089+1	345	-1,727+1	-1,089+1	350	-1,351+5	9,089+1
100	7,574+1	-3,802+0	350	-8,824+1	-8,293+1	350	-9,244+6	1,140+0	355	-1,351+5	9,089+1
110	2,893+1	-5,648+1	355	-7,767+1	4,081+0	355	-7,676+1	4,081+0	360	-2,016+1	-4,685+1
115	-6,228+2	-5,885+0	360	-4,466+1	-4,508+0	360	-4,466+1	-4,508+0	365	-1,156+1	-2,461+1
Station 32: W 4											
0	0,000+0	1,000+0	365	-1,727+1	-1,089+1	365	-1,727+1	-1,089+1	370	-1,351+5	9,089+1
5	4,905+0	9,502+1	370	-8,824+1	-8,293+1	370	-9,244+6	1,140+0	375	-1,351+5	9,089+1
10	9,387+0	8,415+1	375	-8,884+1	9,162+1	375	-8,876+0	1,097+0	380	-1,351+5	9,089+1
15	1,328+1	6,241+1	380	-7,767+1	4,081+0	380	-7,676+1	4,081+0	385	-2,016+1	-4,685+1
20	3,432+0	-5,014+0	385	-4,466+1	-4,508+0	385	-4,466+1	-4,508+0	390	-1,156+1	-2,461+1
25	-2,100+1	-4,638+0	390	-1,727+1	-1,089+1	390	-1,727+1	-1,089+1	395	-1,351+5	9,089+1
30	-4,320+1	-4,276+0	395	-8,824+1	-8,293+1	395	-9,244+6	1,140+0	400	-1,351+5	9,089+1
35	-6,276+1	-3,433+0	400	-1,727+1	-1,089+1	400	-1,727+1	-1,089+1	405	-1,351+5	9,089+1
40	-7,701+1	-2,228+0	405	-8,824+1	-8,293+1	405	-9,244+6	1,140+0	410	-1,351+5	9,089+1
45	-8,473+1	-8,348+1	410	-8,884+1	9,162+1	410	-8,876+0	1,097+0	415	-1,351+5	9,089+1
50	-8,515+1	8,889+1	415	-7,767+1	4,081+0	415	-7,676+1	4,081+0	420	-2,016+1	-4,685+1
55	-7,196+1	4,743+0	420	-4,466+1	-4,508+0	420	-4,466+1	-4,508+0	425	-1,156+1	-2,461+1
60	-3,560+1	9,758+0	425	-1,727+1	-1,089+1	425	-1,727+1	-1,089+1	430	-1,351+5	9,089+1
65	1,918+1	1,073+1	430	-8,824+1	-8,293+1	430	-9,244+6	1,140+0	435	-1,351+5	9,089+1
70	4,961+1	5,274+1	435	-8,884+1	9,162+1	435	-8,876+0	1,097+0	440	-1,351+5	9,089+1
75	3,515+1	-5,361+0	440	-4,466+1	-4,508+0	440	-4,466+1	-4,508+0	445	-1,156+1	-2,461+1
80	3,021+0	-6,980+0	445	-1,727+1	-1,089+1	445	-1,727+1	-1,089+1	450	-1,351+5	9,089+1
85	-3,095+1	-6,372+0	450	-1,506+1	-5,181+1	450	-1,506+1	-5,181+1	455	-2,016+1	-4,685+1
90	5,769+1	-3,893+0	455	-1,548+1	6,669+1	455	-1,548+1	6,669+1	460	-1,156+1	-2,461+1
95	-6,890+1	-7,150+1	460	-4,494+0	1,275+0	460	-4,494+0	1,			

Station 36: W 5		Station 40: W 5		Station 40: W 5		Station 42: W 3			
70	9,864+0	-7,227+1	120	-4,169+1	-4,442+1	130	-2,161+1	2,521+1	
80	8,955+0	-9,734+1	130	-4,368+1	-3,325+4	140	-1,880+1	3,059+1	
90	8,679+0	-9,268+1	140	-4,281+1	1,633+1	150	-1,552+1	3,480+1	
100	-1,746+1	-8,170+1	150	-4,044+1	3,086+1	160	-1,189+1	3,721+1	
110	-2,145+1	-5,547+1	160	-3,675+1	4,104+1	170	-8,176+0	3,721+1	
120	-2,823+1	-1,958+1	170	-3,234+1	4,206+1	180	-4,455+1	3,721+1	
130	-8,834+1	-7,921+2	180	-2,737+1	5,227+1	190	-7,338+1	3,721+1	
140	-2,724+1	-1,935+1	190	-2,191+1	5,656+1	192	1,044+2	3,721+1	
150	-2,479+1	-2,952+1	200	-1,609+1	5,987+1				
160	-2,143+1	-3,639+1	210	-9,981+0	6,217+1				
170	-1,269+1	-3,761+1	220	-3,750+0	6,231+1				
180	-1,392+1	-3,761+1	226	-1,162+2	6,231+1				
190	-1,016+1	-3,761+1							
200	-6,406+0	3,761+1							
210	-2,645+0	3,761+1							
217	-1,245+2	3,761+1							
Station 38: W 3		Station 40: W 3		Station 40: W 3		Station 42: W 3			
60	-9,949+1	2,023+0	0	0,000+0	1,000+0	0	0,000+0	1,000+0	
65	-7,459+1	8,937+0	10	9,867+0	9,555+1	55	-7,403+1	-1,710+0	
70	-6,127+1	1,713+1	20	1,913+1	7,608+1	60	-7,264+1	1,053+0	
75	-6,910+1	1,112+1	30	1,689+1	-6,018+1	65	-5,050+1	1,126+1	
80	-9,725+1	6,094+1	40	1,043+1	-6,624+1	70	2,159+1	1,506+1	
85	-8,113+1	-6,254+0	50	3,682+0	-6,834+1	75	8,624+1	1,022+1	
90	-4,167+1	-9,074+0	60	-3,160+0	-6,685+1	80	1,205+2	3,229+0	
95	-5,696+0	-9,633+0	70	-7,456+0	-1,000+1	85	1,243+2	-1,835+0	
100	-5,211+1	-8,576+0	80	-6,710+0	2,055+1	90	1,041+1	-5,909+0	
105	-6,733+1	-5,244+0	90	-3,975+0	3,227+1	95	6,890+1	-8,064+1	
110	-1,016+2	-5,544+1	100	-5,579+1	3,558+1	100	2,515+1	-9,344+0	
115	-8,949+1	3,083+0	110	-2,907+0	3,256+1	115	-2,551+1	-7,452+0	
120	-5,332+1	8,982+0	120	5,704+0	2,288+1	125	8,997+1	4,632+1	
125	-4,054+1	1,034+1	130	7,240+0	9,408+2	135	-5,950+1	7,057+0	
130	-4,678+1	9,800+0	140	7,888+0	3,884+2	140	1,656+1	7,727+0	
135	-9,301+1	8,632+0	150	8,010+0	-1,459+2	145	5,429+1	7,284+0	
140	-1,021+2	5,363+1	160	7,632+0	-5,414+2	150	8,866+1	6,592+0	
160	-1,153+1	2,722+1	170	6,966+0	-7,851+2	155	1,175+2	5,121+0	
170	-1,282+1	4,352+2	180	6,068+0	-1,004+1	160	4,114+2	4,301+0	
175	-1,297+2	-8,462+1	190	4,968+0	-1,189+1	165	1,603+2	3,363+0	
180	-5,802+1	1,718+2	200	3,702+0	-1,334+1	170	1,745+2	2,320+0	
185	-2,158+2	-2,058+1	210	2,313+0	-1,456+1	175	1,834+2	1,206+0	
190	-1,067+1	-2,273+1	220	8,717+0	-1,443+1	180	1,865+2	5,538+2	
195	-8,399+0	-2,273+1	226	5,236+3	-1,443+1	185	1,839+2	-1,097+0	
200	6,125+0	-2,273+1				190	1,756+2	2,216+0	
210	-1,578+0	-2,273+1				195	1,619+2	-3,267+0	
217	-1,274+2	-2,273+1				200	1,431+2	-4,216+0	
Station 38: W 4		Station 40: W 4		Station 40: W 4		Station 42: W 4			
0	0,000+0	1,000+0	0	0,000+0	1,000+0	0	0,000+0	1,000+0	
5	4,899+0	9,466+1	5	4,969+0	9,821+1	5	4,954+0	9,729+1	
10	9,410+0	8,607+1	10	9,715+0	9,050+1	10	9,614+0	8,933+1	
15	1,361+1	8,324+1	15	1,407+1	8,588+1	15	1,383+1	7,916+1	
20	1,759+1	5,028+1	20	1,816+1	5,033+1	20	1,740+1	4,268+1	
25	9,129+0	-3,056+0	25	5,239+0	-1,195+0	25	5,195+0	-3,137+0	
30	-6,442+0	-3,114+0	30	-1,495+1	-1,939+0	30	-2,138+1	-3,028+0	
35	-2,185+1	-3,041+0	30	-2,872+1	3,894+1	35	-3,632+1	-2,977+0	
40	-3,674+1	-2,903+0	40	3,703+1	8,262+1	45	-3,111+1	-2,871+0	
45	-3,077+1	-2,697+0	50	4,527+1	8,174+1	50	-6,471+1	-2,557+0	
50	-8,361+1	-2,434+0	55	5,329+1	7,633+1	55	-7,657+1	-2,169+0	
55	-7,446+1	-1,831+0	60	5,876+1	2,930+1	60	-8,394+1	-1,929+2	
60	-8,057+1	-3,871+1	65	6,045+1	7,448+2	65	-5,965+0	-3,137+0	
65	-7,481+1	3,362+0	70	6,057+1	-4,034+2	70	-2,181+0	-2,977+0	
70	-4,024+1	1,054+1	75	5,980+1	-1,169+1	75	-5,753+1	-1,566+1	
75	-1,975+1	1,216+1	80	5,802+1	-2,392+1	80	-5,523+1	-2,904+1	
80	-7,304+1	8,834+0	85	5,503+1	-3,565+1	85	-1,014+2	-8,669+1	
85	-1,068+2	4,834+0	90	5,104+1	-4,500+1	90	1,017+2	-8,669+1	
90	-1,229+1	1,732+0	95	4,627+1	-4,812+1	95	9,111+1	-3,340+0	
95	-1,257+2	-6,098+1	100	4,133+1	-5,071+1	100	6,907+1	-5,382+0	
100	-1,683+2	-3,133+0	105	3,616+1	-3,245+1	105	3,841+1	-6,751+0	
105	-9,346+1	-6,123+0	110	3,086+1	-5,344+1	110	2,966+0	-7,278+0	
110	-5,675+1	-8,461+0	115	2,547+1	-5,427+1	115	3,284+1	-6,898+0	
115	-1,100+1	9,589+0	120	2,001+1	-5,494+1	120	6,527+1	-6,061+0	
120	-3,654+1	-9,191+0	125	1,449+1	-5,565+1	125	9,383+1	-5,398+0	
125	-7,888+1	-1,752+0	130	8,928+0	-5,580+1	130	4,398+2	-3,692+0	
130	-1,121+2	-5,859+0	135	3,346+0	-5,582+1	135	1,556+2	-2,623+0	
135	-1,381+2	-4,562+0	140	-3,315+3	-5,582+1	140	-1,716+2	-8,511+1	
145	-1,697+2	-1,644+0	150	-1,739+2	-2,395+1	150	-1,793+2	-4,024+1	
155	-1,699+2	-1,581+0	155	0	0,000+0	1,000+0	155	1,703+2	1,024+0
160	-1,600+2	2,374+0	160	1,000+0	1,000+0	160	0	0,000+0	1,000+0
165	-1,645+2	2,814+0	170	9,930+0	9,769+1	170	1,637+2	1,627+0	
170	-1,384+2	2,814+0	175	2,195+1	-1,417+2	175	-1,541+2	2,201+0	
175	-1,184+2	2,814+0	180	3,286+1	1,131+1	180	-1,268+2	3,220+0	
180	-1,043+2	2,814+0	185	4,236+1	5,657+2	185	-1,096+2	3,647+0	
190	-7,620+1	2,814+0	195	5,409+1	2,727+2	195	-9,051+1	4,008+0	
195	-6,212+1	2,814+0	200	6,394+1	-1,221+1	200	-6,971+1	4,303+0	
200	-4,805+1	2,814+0	205	1,260+1	-1,176+0	205	-6,479+1	4,246+0	
205	-3,398+1	2,814+0	210	4,132+0	-1,434+0	210	-5,220+0	8,070+1	
210	-1,190+1	2,814+0	215	9,019+1	-1,407+0	215	-1,258+1	-6,574+1	
215	-5,832+0	2,814+0	220	100	-2,375+1	220	-4,381+1	4,346+0	
220	-1,042+1	2,814+0	226	-3,482+1	-9,154+1	226	-2,217+1	-2,465+1	
226	-1,739+2	-2,395+1				165	-1,243+2	2,680+0	
155	-1,699+2	-1,581+0				170	-1,789+1	-3,118+0	
160	-1,600+2	2,374+0				175	-1,747+1	-2,927+0	
165	-1,645+2	2,814+0				180	-1,704+1	-2,801+0	
170	-1,384+2	2,814+0				185	-1,636+1	-2,630+0	
175	-1,184+2	2,814+0				190	-1,569+1	-2,521+0	
180	-1,043+2	2,814+0				195	-1,514+1	-2,424+0	
190	-7,620+1	2,814+0				200	-1,451+1	-2,324+0	
195	-6,212+1	2,814+0				205	-1,398+1	-2,227+0	
200	-4,805+1	2,814+0				210	-1,345+1	-2,130+0	
205	-3,398+1	2,814+0				215	-1,292+1	-2,033+0	
210	-1,190+1	2,814+0				220	-1,240+1	-1,936+0	
215	-5,832+0	2,814+0				225	-1,187+1	-1,839+0	
220	-1,042+1	2,814+0				230	-1,144+1	-1,742+0	
225	-1,739+2	-2,395+1				235	-1,681+1	-1,643+1	
155	-1,699+2	-1,581+0				240	-1,644+1	-1,584+1	
160	-1,600+2	2,374+0				245	-1,586+1	-1,527+1	
165	-1,645+2	2,814+0				250	-1,543+1	-1,484+1	
170	-1,384+2	2,814+0				255	-1,491+1	-1,427+1	
175	-1,184+2	2,814+0				260	-1,449+1	-1,370+1	
180	-1,043+2	2,814+0				265	-1,407+1	-1,313+1	
190	-7,620+1	2,814+0				270	-1,365+1	-1,257+1	
195	-6,212+1	2,814+0				275	-1,323+1	-1,196+1	
200	-4,805+1	2,814+0				280	-1,281+1	-1,137+1	
205	-3,398+1	2,814+0				285	-1,240+1	-1,074+1	
210	-1,190+1	2,814+0				290	-1,199+1	-1,024+1	
215	-5,832+0	2,814+0				295	-1,157+1	-9,729+1	
220	-1,042+1	2,814+0				300	-1,125+1	-9,553+1	
225	-1,739+2	-2,395+1				305	-1,083+1	-9,383+1	
155	-1,699+2	-1,581+0				310	-1,041+1	-9,213+1	
160	-1,600+2	2,374+0				315	-1,009+1	-9,053+1	
165	-1,645+2	2,814+0				320	-9,918+0	-9,059+1	
170	-1,384+2	2,814+0				325	-9,786+0	-9,051+1	
175	-1,184+2	2,814+0				330	-9,555+0	-9,043+1	
180	-1,043+2	2,814+0				335	-9,324+0	-9,035+1	
190	-7,620+1	2,814+0				340	-9,093+0	-9,027+1	
195	-6,212+1	2,814+0				345	-8,862+0	-9,021+1	
200	-4,805+1	2,814+0				350	-8,631+0	-9,013+1	
205	-3,398+1	2,814+0				355	-8,400+0	-9,005+1	
210	-1,190+1	2,814+0				360	-8,169+0	-8,997+1	
215	-5,832+0	2,814+0				365	-7,938+0	-8,989+1	
220	-1,042+1	2,814+0				370	-7,707+0	-8,981+1	
225	-1,739+2	-2,395+1				375	-7,476+0	-8,973+1	
155	-1,699+2	-1,581+0				380	-7,245+0	-8,965+1	
160	-1,600+2	2,374+0				385	-7,014+0	-8,957+1	
165	-1,645+2	2,814+0				390	-6,783+0	-8,949+1	
170	-1,384+2	2,814+0				395	-6,552+0	-8,941+1	
175	-1,184+2	2,8							

## Tabelle 2, Blatt 7 (zu W. Krauss)

55	-1,010+2	-1,482+0
60	-1,003+2	3,432+0
65	-4,995+1	1,708+1
70	4,666+1	1,621+1
75	2,668+1	-2,872+0
80	3,732+1	-1,107+1
85	-2,184+1	-1,179+1
90	-7,429+1	-8,837+0
95	-1,091+2	-1,989+0
100	-1,225+2	-6,608+2
105	-1,078+2	5,805+0
110	-6,685+1	1,024+1
115	9,579+0	1,218+1
120	5,002+1	1,115+1
125	9,740+1	7,422+0
130	1,256+2	4,312+0
135	1,429+2	2,741+0
140	1,529+2	1,261+0
145	1,554+2	-2,801+1
150	1,501+2	-1,808+1
155	1,374+2	-3,212+0
160	2,402+2	-3,770+0
165	1,014+2	-3,755+0
170	8,265+1	-3,755+0
175	6,387+1	-3,755+0
180	4,509+1	3,755+0
185	2,631+1	-3,755+0
190	7,541+0	-3,755+0
192	3,004+2	-3,755+0
Station 44: W 1		
0	0,000+0	1,000+0
10	9,989+0	9,975+1
20	1,392+1	9,852+1
30	2,821+1	7,649+1
40	3,583+1	7,616+1
50	4,341+1	7,505+1
60	5,079+1	7,055+1
70	5,560+1	7,146+1
80	5,345+1	-4,394+1
90	4,824+1	-5,897+1
100	4,195+1	-6,631+1
110	3,501+1	-7,229+1
120	2,753+1	-7,715+1
130	1,968+1	-7,876+1
140	1,181+1	-7,876+1
150	3,935+0	-7,876+1
155	-2,977+3	-7,876+1
Station 44: W 2		
0	0,000+0	1,000+0
10	9,933+0	9,833+1
20	1,949+1	9,200+1
30	1,850+1	-4,829+1
40	1,355+1	-4,971+1
50	5,514+0	-5,163+1
60	3,239+0	-5,464+1
70	-2,476+0	-5,342+1
80	-6,162+0	-2,522+1
90	-7,747+0	-8,986+2
100	-8,188+0	-5,579+4
110	-7,616+1	8,532+2
120	-5,512+0	1,621+1
130	-4,681+0	1,884+1
140	-2,797+0	1,884+1
150	-9,132+1	1,844+1
155	2,890+2	1,884+1
Station 44: W 3		
0	0,000+0	1,000+0
10	9,877+0	9,694+1
20	1,902+1	8,197+1
30	1,001+1	-1,533+1
40	-5,409+0	-1,544+0
50	-2,068+1	-1,491+0
60	-3,468+1	-1,130+0
70	-2,696+1	3,342+0
80	1,906+1	4,693+0
90	5,943+1	3,238+0
100	8,515+1	1,744+0
110	9,322+1	-3,313+2
120	8,387+1	-1,804+0
130	6,084+1	-2,430+0
140	3,654+1	-2,430+0
Station 44: W 4		
150	1,223+1	-2,430+0
155	7,928+2	-2,430+0
Station 46: W 1		
110	1,201+1	-1,081+0
120	1,097+0	-1,097+0
121	-2,052+4	-1,097+0
Station 46: W 2		
0	0,000+0	1,000+0
10	9,693+0	9,239+1
15	1,411+1	8,178+1
20	1,761+1	5,654+1
25	8,158+0	-3,797+0
30	-1,136+1	-3,891+0
35	-3,061+1	-3,830+0
40	-8,976+1	-3,830+0
45	-6,877+1	-3,668+0
50	-8,596+1	-3,189+0
60	-1,005+2	-2,600+0
70	-1,095+2	-1,248+1
75	-8,163+1	1,169+1
80	-2,854+0	2,042+1
85	8,481+1	1,001+1
90	1,052+2	-5,879+1
95	5,107+0	-9,567+0
100	-4,205+1	-9,108+0
105	-8,407+1	-7,527+1
110	-1,157+2	-5,030+1
115	-1,333+2	-1,916+1
120	-1,345+2	1,430+1
125	-1,198+2	3,963+0
130	-9,987+1	3,994+0
135	-7,989+1	3,994+0
140	-5,992+1	3,994+0
145	-3,994+1	3,994+0
150	-1,997+1	3,994+0
155	-7,143+5	3,994+0
Station 44: W 5		
0	0,000+0	1,000+0
10	9,829+0	9,306+1
20	1,675+1	4,393+1
30	2,388+0	-2,561+0
40	-2,324+1	-2,563+0
50	-4,846+1	-2,386+0
60	-6,799+1	-8,737+1
70	-2,286+1	1,004+1
80	7,235+1	7,402+0
90	1,204+2	1,969+0
100	1,161+2	-2,501+0
110	7,362+1	-5,763+0
120	7,189+0	-7,151+0
121	2,965+2	-7,163+0
Station 46: W 4		
0	0,000+0	1,000+0
10	9,722+0	8,860+1
20	1,484+1	1,411+1
30	-2,554+0	-3,559+0
40	-3,811+1	-3,555+0
50	-7,260+1	-3,107+0
60	-9,295+1	8,977+2
70	-8,279+0	1,653+1
80	1,033+2	4,998+0
90	1,055+2	-4,480+0
100	2,897+1	-9,478+0
103	6,087+2	-9,720+0
Station 46: W 5		
0	0,000+0	1,000+0
10	9,514+0	8,268+1
20	1,686+1	5,747+1
30	-8,569+0	-4,193+0
40	-5,052+1	-4,195+0
50	-9,109+1	-3,517+0
60	-1,122+2	-5,126+1
70	-5,695+1	2,021+1
80	1,499+2	1,356+1
90	1,892+2	-5,292+0
100	7,039+1	-1,681+1
104	-9,083+3	-1,799+1
Station 46: W 6		
0	0,000+0	1,000+0
10	9,894+0	9,620+1
20	1,930+1	9,021+1
30	1,878+1	-6,476+1
40	1,231+1	-6,470+1
50	5,817+0	-6,596+1
60	-8,858+0	-6,741+1
70	-7,039+0	-3,828+1
80	-7,227+0	1,669+1
90	-4,801+0	3,023+1
100	-1,447+0	3,584+1
104	-3,139+4	3,636+1
Station 50: W 3		
0	0,000+0	1,000+0
10	9,894+0	9,620+1
20	1,930+1	9,021+1
30	1,878+1	-6,476+1
40	1,231+1	-6,470+1
50	5,817+0	-6,596+1
60	-8,858+0	-6,741+1
70	-7,039+0	-3,828+1
80	-7,227+0	1,669+1
90	-4,801+0	3,023+1
100	-1,447+0	3,584+1
104	-3,139+4	3,636+1
Station 50: W 4		
0	0,000+0	1,000+0
10	9,514+0	8,268+1
20	1,686+1	5,747+1
30	-8,569+0	-4,193+0
40	-5,052+1	-4,195+0
50	-9,109+1	-3,517+0
60	-1,122+2	-5,126+1
70	-5,695+1	2,021+1
80	1,499+2	1,356+1
90	1,892+2	-5,292+0
100	7,039+1	-1,681+1
104	-9,083+3	-1,799+1
Station 50: W 5		
0	0,000+0	1,000+0
10	9,496+1	7,739+1
20	1,182+1	5,642+2
30	1,035+1	-5,340+1
40	4,802+0	-2,267+0
50	-8,984+0	-2,560+0
60	-2,168+1	-2,538+0
70	-3,437+1	-2,538+0
80	-4,708+1	-2,523+0
90	-5,799+1	-1,798+0
100	-6,455+1	-5,615+1
110	-5,990+1	2,796+0
120	-6,246+1	1,149+1
130	-5,388+1	7,709+0
140	-2,646+1	-8,285+0
150	-2,100+1	-9,351+0
160	-5,495+1	2,841+0
170	-6,456+1	-5,254+0
180	-7,473+1	-2,247+1
190	-5,549+1	5,548+0
200	-2,477+1	2,977+0
210	-3,289+4	8,396+0
220	-4,477+1	-2,538+0
230	-5,799+1	-1,798+0
240	-6,455+1	-5,615+1
250	-5,990+1	2,796+0
260	-6,246+1	1,149+1
270	-5,388+1	7,709+0
280	-2,646+1	-8,285+0
290	-2,100+1	-9,351+0
300	-5,495+1	2,841+0
310	-6,456+1	-5,254+0
320	-7,473+1	-2,247+1
330	-5,549+1	5,548+0
340	-2,477+1	2,977+0
350	-3,289+4	8,396+0
360	-4,477+1	-2,538+0
370	-5,799+1	-1,798+0
380	-6,455+1	-5,615+1
390	-5,990+1	2,796+0
400	-6,246+1	1,149+1
410	-5,388+1	7,709+0
420	-2,646+1	-8,285+0
430	-2,100+1	-9,351+0
440	-5,495+1	2,841+0
450	-6,456+1	-5,615+1
460	-5,990+1	2,796+0
470	-6,246+1	1,149+1
480	-5,388+1	7,709+0
490	-2,646+1	-8,285+0
500	-2,100+1	-9,351+0
510	-5,495+1	2,841+0
520	-6,456+1	-5,615+1
530	-5,990+1	2,796+0
540	-6,246+1	1,149+1
550	-5,388+1	7,709+0
560	-2,646+1	-8,285+0
570	-2,100+1	-9,351+0
580	-5,495+1	2,841+0
590	-6,456+1	-5,615+1
600	-5,990+1	2,796+0
610	-6,246+1	1,149+1
620	-5,388+1	7,709+0
630	-2,646+1	-8,285+0
640	-2,100+1	-9,351+0
650	-5,495+1	2,841+0
660	-6,456+1	-5,615+1
670	-5,990+1	2,796+0
680	-6,246+1	1,149+1
690	-5,388+1	7,709+0
700	-2,646+1	-8,285+0
710	-2,100+1	-9,351+0
720	-5,495+1	2,841+0
730	-6,456+1	-5,615+1
740	-5,990+1	2,796+0
750	-6,246+1	1,149+1
760	-5,388+1	7,709+0
770	-2,646+1	-8,285+0
780	-2,100+1	-9,351+0
790	-5,495+1	2,841+0
800	-6,456+1	-5,615+1
810	-5,990+1	2,796+0
820	-6,246+1	1,149+1
830	-5,388+1	7,709+0
840	-2,646+1	-8,285+0
850	-2,100+1	-9,351+0
860	-5,495+1	2,841+0
870	-6,456+1	-5,615+1
880	-5,990+1	2,796+0
890	-6,246+1	1,149+1
900	-5,388+1	7,709+0
910	-2,646+1	-8,285+0
920	-2,100+1	-9,351+0
930	-5,495+1	2,841+0
940	-6,456+1	-5,615+1
950	-5,990+1	2,796+0
960	-6,246+1	1,149+1
970	-5,388+1	7,709+0
980	-2,646+1	-8,285+0
990	-2,100+1	-9,351+0
1000	-5,495+1	2,841+0
1010	-6,456+1	-5,615+1
1020	-5,990+1	2,796+0
1030	-6,246+1	1,149+1
1040	-5,388+1	7,709+0
1050	-2,646+1	-8,285

65 -7,228+1	1,100+1	60 6,726+0	3,469+0	25 2,281+1	4,977+1	35 -1,951+0	-2,898-1
79 1,456+1	2,106+1	65 8,929+0	-2,480+0	30 2,215+1	-4,382+1	40 -1,632+0	1,947-1
75 5,819+1	-3,878+0	68 -1,526-3	-3,203+0	35 1,972+1	-5,080+1	45 -6,714+1	1,918-1
80 1,256+1	-1,167+1			40 1,718+1	-5,087+1	50 2,882+1	1,883-1
85 -4,371+1	-9,685+0			45 1,462+1	5,176+1	55 9,930+1	2,188-2
90 -7,661+1	-3,366+0			50 1,196+1	5,553+1	60 1,049+0	-3,097+2
95 -7,548+1	3,801+0			55 8,959+0	6,555+1	65 8,249+1	-5,156+2
100 -4,141+1	9,309+0			60 5,429+0	-7,514+1	70 5,502+1	-5,491+2
104 -8,741+2	1,085+1			65 1,369+0	-7,028+1	75 2,756+1	-5,491+2
				67 2,521+3	-7,838+1	80 1,134+3	-5,491+2
Station 52: W 4							
0 0,000+0	1,000+0	0 0,000+0	1,000+0	0 0,000+0	1,000+0	40 0,000+0	1,000+0
5 4,868+0	8,990+1	5 4,969+0	9,789+1	2 1,991+0	9,821+1	45 -6,714+1	1,918-1
10 8,280+0	3,998+1	10 9,585+0	8,309+1	4 3,888+0	9,089+1	50 2,882+1	1,883-1
15 9,367+0	1,412+1	15 2,127+1	4,608+1	6 5,554+0	7,230+1	55 9,930+1	2,188-2
20 9,632+0	-2,371+1	20 2,421+0	-1,260+0	7 6,699+0	4,200+1	60 1,049+0	-3,097+2
25 -2,231+0	-4,246+0	22 -7,158+1	-1,661+0	10 7,084+0	-1,071+1	65 8,249+1	-5,156+2
30 -1,773+1	-2,693+0	24 -2,930+0	-5,872+1	12 6,091+0	-9,005+1	70 5,502+1	-5,491+2
35 -3,126+1	-2,707+0	26 -3,531+0	-8,020+2	14 3,672+0	-1,428+0	75 2,756+1	-5,491+2
40 -4,480+1	-2,707+0	28 -3,436+0	1,654+1	16 6,522+1	-1,546+0	80 1,134+3	-5,491+2
45 -5,837+1	-2,678+0	30 -2,957+0	2,843+1	18 -2,422+0	-1,504+0		
50 -6,784+1	-7,692+1	32 -2,366+0	3,001+1	20 -5,262+0	-1,315+0		
55 -6,300+1	2,645+0	34 -1,768+0	2,989+1	22 -7,567+0	9,399+1		
60 -4,244+1	5,566+0	36 -1,170+0	2,989+1	24 -6,947+1	5,471+0		
65 -7,121+0	8,308+0	38 -5,723+1	2,989+1	26 -6,496+0	2,643+0		
70 -1,992+1	-3,149+0	40 -2,552+1	2,989+1	28 -8,782+0	1,947+0		
75 -2,164+1	-6,545+0	42 -6,233+1	2,989+1	30 -1,064+0	2,740+1		
80 -2,966+1	2,297+0	44 -1,221+0	2,996+1	32 -1,064+0	2,740+1		
85 -6,291+0	6,263+0	46 1,814+0	2,883+1	34 -1,064+0	2,740+1		
90 2,349+1	4,871+0	48 2,351+0	2,410+1	36 -6,496+0	2,643+0		
95 3,640+1	-5,063+3	50 2,746+0	1,151+1	38 -6,496+0	2,643+0		
100 2,345+1	-4,876+0	52 2,898+0	6,284+4	40 -1,064+0	2,740+1		
104 1,199+2	-6,364+0	54 2,689+0	-2,312+1	42 -1,064+0	2,740+1		
		56 1,952+0	-4,954+1	44 -1,064+0	2,740+1		
Station 52: W 1				58 4,095+0	1,880+0		
0 0,000+0	1,000+0	60 -3,06+1	-6,757+1	60 6,620+0	6,028+1	32 -6,876+0	2,511+0
5 4,994+0	9,962+1	62 -1,689+0	-3,104+1	62 6,564+0	-6,009+1	34 1,023+0	4,621+0
10 9,917+0	9,672+1	64 -1,014+0	4,725+1	64 4,545+0	-1,327+0	36 7,900+0	1,933+0
15 1,460+1	9,076+1	66 7,462+3	5,304+1	66 1,582+0	-1,569+0	38 9,299+0	-1,851+1
20 1,904+1	7,941+1			67 4,145+4	-1,588+0	40 8,328+0	-6,114+1
25 1,399+1	-2,643+1					42 7,153+0	-5,776+1
30 1,026+1	-3,922+1					44 5,998+0	-5,776+1
35 1,628+1	-3,960+1					46 4,849+0	-5,681+1
40 1,450+1	-3,960+1					48 3,672+0	-6,332+1
45 1,232+1	-3,963+1					50 2,207+0	-8,545+1
50 1,028+1	-4,246+1					52 2,913+1	-1,025+0
55 8,019+0	-4,909+1					54 -1,697+0	-9,113+1
60 5,337+0	-5,882+1					56 -3,199+0	-5,737+1
65 2,091+0	-6,918+1					58 -3,985+0	-2,230+1
68 -3,352+6	-6,996+1					60 -4,120+0	1,162+2
		Station 52: W 2				62 -4,020+0	1,246+1
0 0,000+0	1,000+0					64 -3,697+0	2,002+1
5 4,994+0	9,962+1					66 -3,248+0	2,340+1
10 9,917+0	9,672+1					68 -2,783+0	2,318+1
15 1,460+1	9,076+1					70 -2,520+0	2,318+1
20 1,904+1	7,941+1					72 -1,856+0	2,318+1
25 1,399+1	-2,643+1					74 -1,392+0	2,318+1
30 1,026+1	-3,922+1					76 -9,291+1	2,318+1
35 1,628+1	-3,960+1					78 -4,654+1	2,318+1
40 1,450+1	-3,960+1					80 -1,800+3	2,318+1
45 1,232+1	-3,963+1						
50 1,028+1	-4,246+1						
55 8,019+0	-4,909+1						
60 5,337+0	-5,882+1						
65 2,091+0	-6,918+1						
68 -3,352+6	-6,996+1						
		Station 52: W 3					
0 0,000+0	1,000+0						
5 4,994+0	9,962+1						
10 9,917+0	9,672+1						
15 1,460+1	9,076+1						
20 1,904+1	7,941+1						
25 1,399+1	-2,643+1						
30 1,026+1	-3,922+1						
35 1,628+1	-3,960+1						
40 1,450+1	-3,960+1						
45 1,232+1	-3,963+1						
50 1,028+1	-4,246+1						
55 8,019+0	-4,909+1						
60 5,337+0	-5,882+1						
65 2,091+0	-6,918+1						
68 -3,352+6	-6,996+1						
		Station 52: W 4					
0 0,000+0	1,000+0						
5 4,994+0	9,962+1						
10 9,917+0	9,672+1						
15 1,460+1	9,076+1						
20 1,904+1	7,941+1						
25 1,399+1	-2,643+1						
30 1,026+1	-3,922+1						
35 1,628+1	-3,960+1						
40 1,450+1	-3,960+1						
45 1,232+1	-3,963+1						
50 1,028+1	-4,246+1						
55 8,019+0	-4,909+1						
60 5,337+0	-5,882+1						
65 2,091+0	-6,918+1						
68 -3,352+6	-6,996+1						
		Station 53: W 1					
0 0,000+0	1,000+0						
5 4,994+0	9,962+1						
10 9,917+0	9,672+1						
15 1,460+1	9,076+1						
20 1,904+1	7,941+1						
25 1,399+1	-2,643+1						
30 1,026+1	-3,922+1						
35 1,628+1	-3,960+1						
40 1,450+1	-3,960+1						
45 1,232+1	-3,963+1						
50 1,028+1	-4,246+1						
55 8,019+0	-4,909+1						
60 5,337+0	-5,882+1						
65 2,091+0	-6,918+1						
68 -3,352+6	-6,996+1						
		Station 53: W 2					
0 0,000+0	1,000+0						
5 4,994+0	9,962+1						
10 9,917+0	9,672+1						
15 1,460+1	9,076+1						
20 1,904+1	7,941+1						
25 1,399+1	-2,643+1						
30 1,026+1	-3,922+1						
35 1,628+1	-3,960+1						
40 1,450+1	-3,960+1						
45 1,232+1	-3,963+1						
50 1,028+1	-4,246+1						
55 8,019+0	-4,909+1						
60 5,337+0	-5,882+1						
65 2,091+0	-6,918+1						
68 -3,352+6	-6,996+1						
		Station 53: W 3					
0 0,000+0	1,000+0						
5 4,888+0	9,245+1						
10 8,384+0	3,783+1						
15 7,952+0	-4,910+1						
20 4,824+0	-1,206+0						
25 -6,007+0	-1,730+0						
30 -1,128+1	-5,903+1						
35 -1,401+1	-5,409+1						
40 -1,671+1	-5,409+1						
45 -1,943+1	-5,308+1						
50 -2,005+1	5,410+1						
55 -1,179+1	3,010+0						
		Station 53: W 4					
0 0,000+0	1,000+0						
5 4,994+0	9,961+1						
10 9,917+0	9,672+1						
15 1,460+1	9,076+1						
20 1,904+1	7,941+1						
25 1,399+1	-2,643+1						
30 1,026+1	-3,922+1						
35 1,628+1	-3,960+1						
40 1,450+1	-3,960+1						
45 1,232+1	-3,963+1						
50 1,028+1	-4,246+1						
55 8,019+0	-4,909+1						
60 5,337+0	-5,882+1						
65 2,091+0	-6,918+1						

Station 62: W 1											
62	3,295+1	-4,766-1	20	1,730+1	6,036-1	45	4,001+1	6,141-1	62	3,441+1	-5,229+0
64	3,098+1	-1,511-0	22	1,846+1	5,719-1	50	4,286+1	4,975-1	64	1,852+1	-1,003+1
66	2,730+1	-1,979+0	24	1,959+1	5,448-1	55	4,433+1	1,200-3	66	-3,246+0	-1,118+1
68	2,338+1	-1,948+0	26	2,054+1	3,729-1	60	4,251+1	-7,203-1	68	-2,436+1	-9,537+0
70	1,948+1	-1,948+0	28	2,071+1	-3,587-1	65	3,751+1	-1,216+0	70	-4,033+1	-6,323+0
72	1,559+1	-1,948+0	30	1,788+1	-2,866+0	70	3,069+1	-1,494+0	72	-4,964+1	-3,075+0
74	1,169+1	-1,948+0	32	9,446+0	-5,197+1	75	2,290+1	-1,599+0	74	-5,315+1	-5,802+1
76	7,795+0	-1,948+0	34	-1,606+0	-5,631+1	76	-5,236+1	1,320+0	76	2,190+0	2,268+1
78	3,897+0	-1,948+0	36	-1,267+1	-5,397+1	80	1,480+1	-1,635+0	80	-4,821+1	2,719+0
80	9,394+5	-1,948+0	38	-2,312+1	-5,033+1	85	6,591+0	-1,646+0	85	-4,177+1	3,681+0
			40	-3,283+1	-4,699+0	89	3,184-4	-1,648+0	89	-3,322+1	4,297+0
Station 58: W 1											
0	0,000+0	1,000+0	48	-6,393+1	-2,558+0	42	-4,194+1	-4,392+0	84	-2,473+1	4,674+0
5	4,997+0	9,987-1	50	-6,779+1	-1,200+0	44	-5,055+1	-4,013+0	86	-5,150+1	4,939+0
10	9,984+0	9,955-1	52	-6,813+1	1,054+0	46	-5,282+1	-3,446+0	88	-5,077+0	5,057+0
15	1,494+1	9,899-1	54	-6,267+1	4,610+0				89	-1,126-2	5,070+0
20	1,988+1	9,818-1	56	-4,894+1	9,138+0						
25	2,478+1	9,752-1	58	-2,644+1	1,312+1						
30	2,939+1	7,671-1	60	1,949+0	1,469+1						
35	3,214+1	4,282-1	62	2,951+1	1,204+1						
40	3,407+1	3,571-1	64	4,652+1	4,065+0						
45	3,578+1	3,249-1	66	4,260+1	-8,451+0						
50	3,728+1	2,630-1	68	1,599+1	-1,649+1						
55	3,816+1	5,853-2	70	-1,797+1	-1,641+1						
60	3,749+1	-3,826-1	72	-4,634+1	-1,135+1						
65	3,381+1	-1,127+0	74	-6,182+1	-3,924+0						
70	2,615+1	-1,872+0	76	-6,204+1	3,528+0						
75	1,587+1	-2,185+0	78	-4,899+1	9,227+0						
80	4,608+0	-2,298+0	80	-2,668+1	1,260+1						
82	1,258-3	-2,305+0	82	3,255-2	1,373+1						
Station 58: W 2											
0	0,000+0	1,000+0	0	0,000+0	1,000+0						
5	4,993+0	9,958-1	2	1,994+0	9,922-1						
10	9,944+0	9,835-1	4	3,958+0	9,689-1						
15	1,481+1	9,630-1	6	5,860+0	9,306-1						
20	1,956+1	9,340-1	8	7,671+0	8,728-1						
25	2,419+1	9,120-1	10	9,363+0	8,114-1						
30	2,787+1	1,936-1	12	1,090+1	7,323-1						
35	2,505+1	-9,658-1	14	1,228+1	6,418-1						
40	1,968+1	-1,137+0	16	1,346+1	5,414-1						
45	1,385+1	-1,192+0	18	1,444+1	4,325+1						
50	7,734+1	-1,258+0	20	1,519+1	3,114-1						
55	1,238+1	-1,334+0	22	1,573+1	2,585+1						
60	-5,311+0	-1,229+0	24	1,623+1	2,167-1						
65	-1,021+1	-6,040-1	26	1,645+1	-4,557-2						
70	-1,049+1	3,856-1	28	1,551+1	-1,097+0						
75	-7,171+0	3,858-1	30	1,061+1	-4,199+0						
80	-2,165+0	1,073+0	32	-2,024+1	-5,967+0						
82	-8,712-4	1,087+0	34	-1,145+1	-5,134+0						
Station 58: W 3											
0	0,000+0	1,000+0	0	0,000+0	1,000+0						
5	4,979+0	9,878-1	2	1,994+0	9,922-1						
10	9,839+0	9,519-1	4	-4,052+1	2,232+0						
15	1,446+1	8,929-1	52	-3,391+1	4,509+0						
20	1,873+1	8,105-1	54	-2,210+1	7,329+0						
25	2,267+1	7,492-1	56	-5,131+0	9,327+0						
30	2,389+1	-1,142+0	58	1,326+1	8,433+0						
35	9,744+0	-3,615+0	60	2,583+1	3,477+0						
40	-8,650+0	-3,670+0	62	2,514+1	-4,402+1						
45	-2,665+1	-3,496+0	64	8,981+0	-1,102+1						
50	-4,279+1	-2,819+0	66	-1,345+1	-9,493+0						
55	-5,139+1	-1,138-2	68	-2,329+1	-1,810-1						
60	-3,727+1	5,906+0	70	-1,574+1	2,041+0						
65	4,087+0	9,445+0	72	1,443+0	9,256+0						
70	3,858+1	3,874+1	74	1,810+1	6,758+0						
75	3,855+1	-3,182+0	76	2,676+1	1,701+0						
80	1,295+1	-6,306+0	78	2,498+1	-3,277+0						
82	8,412-3	-6,557+0	80	1,477+1	-6,605+0						
Station 58: W 4											
0	0,000+0	1,000+0	0	-4,336+1	-3,350-1						
5	4,979+0	9,878-1	46	-4,331+1	6,358-1						
10	9,839+0	9,519-1	50	-4,052+1	2,232+0						
15	1,446+1	8,929-1	52	-3,391+1	4,509+0						
20	1,873+1	8,105-1	54	-2,210+1	7,329+0						
25	2,267+1	7,492-1	56	-5,131+0	9,327+0						
30	2,389+1	-1,142+0	58	1,326+1	8,433+0						
35	9,744+0	-3,615+0	60	2,583+1	3,477+0						
40	-8,650+0	-3,670+0	62	2,514+1	-4,402+1						
45	-2,665+1	-3,496+0	64	8,981+0	-1,102+1						
50	-4,279+1	-2,819+0	66	-1,345+1	-9,493+0						
55	-5,139+1	-1,138-2	68	-2,329+1	-1,810-1						
60	-3,727+1	5,906+0	70	-1,574+1	2,041+0						
65	4,087+0	9,445+0	72	1,443+0	9,256+0						
70	3,858+1	3,874+1	74	1,810+1	6,758+0						
75	3,855+1	-3,182+0	76	2,676+1	1,701+0						
80	1,295+1	-6,306+0	78	2,498+1	-3,277+0						
82	8,412-3	-6,557+0	80	1,477+1	-6,605+0						
Station 58: W 5											
0	0,000+0	1,000+0	0	0,000+0	1,000+0						
5	4,979+0	9,878-1	2	1,994+0	9,922-1						
10	9,839+0	9,519-1	4	-4,052+1	2,232+0						
15	1,446+1	8,929-1	52	-3,391+1	4,509+0						
20	1,873+1	8,105-1	54	-2,210+1	7,329+0						
25	2,267+1	7,492-1	56	-5,131+0	9,327+0						
30	2,389+1	-1,142+0	58	1,326+1	8,433+0						
35	9,744+0	-3,615+0	60	2,583+1	3,477+0						
40	-8,650+0	-3,670+0	62	2,514+1	-4,402+1						
45	-2,665+1	-3,496+0	64	8,981+0	-1,102+1						
50	-4,279+1	-2,819+0	66	-1,345+1	-9,493+0						
55	-5,139+1	-1,138-2	68	-2,329+1	-1,810-1						
60	-3,727+1	5,906+0	70	-1,574+1	2,041+0						
65	4,087+0	9,445+0	72	1,443+0	9,256+0						
70	3,858+1	3,874+1	74	1,810+1	6,758+0						
75	3,855+1	-3,182+0	76	2,676+1	1,701+0						
80	1,295+1	-6,306+0	78	2,498+1	-3,277+0						
82	8,412-3	-6,557+0	80	1,477+1	-6,605+0						
Station 60: W 1											
0	0,000+0	1,000+0	0	0,000+0	1,000+0						
5	4,979+0	9,878-1	2	1,994+0	9,922-1						
10	9,839+0	9,519-1	4	-4,052+1	2,232+0						
15	1,446+1	8,929-1	52	-3,391+1	4,509+0						
20	1,873+1	8,105-1	54	-2,210+1	7,329+0						
25	2,267+1	7,492-1	56	-5,131+0	9,327+0						
30	2,389+1	-1,142+0	58	1,326+1	8,433+0						
35											

78	-3,880+1	-7,688-1
80	-3,938-1	1,805-1
82	-3,815+1	1,025+0
84	-3,537+1	1,732+0
86	-3,132+1	2,293+0
88	-2,632+1	2,662+0
90	-2,077+1	2,875+0
92	-1,490+1	2,963+0
94	-8,951+0	2,982+0
96	-2,987+0	2,981+0
97	-5,228-3	2,981+0
Station 64: W 2		
0	0,000+0	1,000+0
2	1,994+0	9,911-1
4	3,957+0	9,722-1
6	5,889+0	9,634-1
8	7,818+0	9,644-1
10	9,749+0	9,680-1
12	1,165+1	9,195-1
14	1,338+1	8,106-1
16	1,487+1	6,633-1
18	1,596+1	3,963-1
20	1,639+1	2,678-2
22	1,591+1	-5,675-1
24	1,373+1	-1,727+0
26	8,901+0	-3,049+0
28	2,040+0	-3,655+0
30	-5,254+0	-3,565+0
32	-1,207+1	-3,253+0
34	-1,827+1	-2,946+0
36	-2,383+1	-2,589+0
38	-2,858+1	-2,149+0
40	-3,230+1	-1,512+0
42	-3,450+1	-3,840-1
44	-3,333+1	1,493+0
46	-2,782+1	4,117+0
48	-1,676+1	6,866+0
50	-1,093+0	8,440+0
52	1,457+1	6,417+0
54	2,150+1	-9,564-3
56	1,504+1	-5,752+0
58	1,182+0	-7,533+1
60	-1,329+1	-6,583+0
62	-2,405+1	-3,982+0
64	-2,876+1	-6,931-1
66	-2,695+1	2,409+0
68	-1,954+1	4,752+0
70	-8,668+0	6,030+0
72	3,752+0	6,229+0
74	1,570+1	5,605+0
76	2,581+1	4,442+0
78	3,331+1	3,047+0
80	3,796+1	1,591+0
82	3,970+1	1,662-1
84	3,873+1	-1,103+0
86	3,544+1	-2,151+0
88	3,035+1	-2,862+0
90	2,418+1	-3,275+0
92	1,741+1	-3,458+0
94	1,045+1	-3,486+0
96	3,483+0	-3,485+0
97	-1,839-3	-3,485+0
Station 64: W 1		
0	0,000+0	1,000+0
2	1,999+0	9,988-1
4	3,933+0	9,954-1
6	5,978+0	9,882-1
8	7,944+0	9,774-1
10	9,884+0	9,615-1
12	1,178+1	9,376-1
14	1,363+1	9,079-1
16	1,541+1	8,701-1
18	1,710+1	8,267-1
20	1,870+1	7,665-1
22	2,015+1	6,782-1
24	2,237+1	4,049-1
26	2,299+1	2,101-1
28	2,314+1	-8,371-2
30	2,299+1	2,101-1
32	2,258+1	-4,862-1
34	2,114+1	-9,609-1
36	1,871+1	-1,471+0
38	1,526+1	-1,074-0
40	1,084+1	-2,435+0
42	5,632+0	-2,746+0
44	-1,279-4	-2,850+0
Station 64: W 5		
0	0,000+0	1,000+0
2	1,994+0	9,911-1
4	3,957+0	9,722-1
6	5,889+0	9,634-1
8	7,818+0	9,644-1
10	9,749+0	9,680-1
12	1,165+1	9,195-1
14	1,338+1	8,106-1
16	1,487+1	6,633-1
18	1,596+1	3,963-1
20	1,639+1	2,678-2
22	1,591+1	-5,675-1
24	1,373+1	-1,727+0
26	8,901+0	-3,049+0
28	2,040+0	-3,655+0
30	-5,254+0	-3,565+0
32	-1,207+1	-3,253+0
34	-1,827+1	-2,946+0
36	-2,383+1	-2,589+0
38	-2,858+1	-2,149+0
40	-3,230+1	-1,512+0
42	-3,450+1	-3,840-1
44	-3,333+1	1,493+0
46	-2,782+1	4,117+0
48	-1,676+1	6,866+0
50	-1,093+0	8,440+0
52	1,457+1	6,417+0
54	2,150+1	-9,564-3
56	1,504+1	-5,752+0
58	1,182+0	-7,533+1
60	-1,329+1	-6,583+0
62	-2,405+1	-3,982+0
64	-2,876+1	-6,931-1
66	-2,695+1	2,409+0
68	-1,954+1	4,752+0
70	-8,668+0	6,030+0
72	3,752+0	6,229+0
74	1,570+1	5,605+0
76	2,581+1	4,442+0
78	3,331+1	3,047+0
80	3,796+1	1,591+0
82	3,970+1	1,662-1
84	3,873+1	-1,103+0
86	3,544+1	-2,151+0
88	3,035+1	-2,862+0
90	2,418+1	-3,275+0
92	1,741+1	-3,458+0
94	1,045+1	-3,486+0
96	3,483+0	-3,485+0
97	-1,839-3	-3,485+0
Station 64: W 3		
0	0,000+0	1,000+0
2	1,994+0	9,911-1
4	3,957+0	9,722-1
6	5,889+0	9,634-1
8	7,818+0	9,644-1
10	9,749+0	9,680-1
12	1,165+1	9,195-1
14	1,338+1	8,106-1
16	1,487+1	6,633-1
18	1,596+1	3,963-1
20	1,639+1	2,678-2
22	1,591+1	-5,675-1
24	1,373+1	-1,727+0
26	8,901+0	-3,049+0
28	2,040+0	-3,655+0
30	-5,254+0	-3,565+0
32	-1,207+1	-3,253+0
34	-1,827+1	-2,946+0
36	-2,383+1	-2,589+0
38	-2,858+1	-2,149+0
40	-3,230+1	-1,512+0
42	-3,450+1	-3,840-1
44	-3,333+1	1,493+0
46	-2,782+1	4,117+0
48	-1,676+1	6,866+0
50	-1,093+0	8,440+0
52	1,457+1	6,417+0
54	2,150+1	-9,564-3
56	1,504+1	-5,752+0
58	1,182+0	-7,533+1
60	-1,329+1	-6,583+0
62	-2,405+1	-3,982+0
64	-2,876+1	-6,931-1
66	-2,695+1	2,409+0
68	-1,954+1	4,752+0
70	-8,668+0	6,030+0
72	3,752+0	6,229+0
74	1,570+1	5,605+0
76	2,581+1	4,442+0
78	3,331+1	3,047+0
80	3,796+1	1,591+0
82	3,970+1	1,662-1
84	3,873+1	-1,103+0
86	3,544+1	-2,151+0
88	3,035+1	-2,862+0
90	2,418+1	-3,275+0
92	1,741+1	-3,458+0
94	1,045+1	-3,486+0
96	3,483+0	-3,485+0
97	-1,839-3	-3,485+0
Station 64: W 5		
0	0,000+0	1,000+0
2	1,994+0	9,911-1
4	3,957+0	9,722-1
6	5,889+0	9,634-1
8	7,818+0	9,644-1
10	9,749+0	9,680-1
12	1,165+1	9,195-1
14	1,338+1	8,106-1
16	1,487+1	6,633-1
18	1,596+1	3,963-1
20	1,639+1	2,678-2
22	1,591+1	-5,675-1
24	1,373+1	-1,727+0
26	8,901+0	-3,049+0
28	2,040+0	-3,655+0
30	-5,254+0	-3,565+0
32	-1,207+1	-3,253+0
34	-1,827+1	-2,946+0
36	-2,383+1	-2,589+0
38	-2,858+1	-2,149+0
40	-3,230+1	-1,512+0
42	-3,450+1	-3,840-1
44	-3,333+1	1,493+0
46	-2,782+1	4,117+0
48	-1,676+1	6,866+0
50	-1,093+0	8,440+0
52	1,457+1	6,417+0
54	2,150+1	-9,564-3
56	1,504+1	-5,752+0
58	1,182+0	-7,533+1
60	-1,329+1	-6,583+0
62	-2,405+1	-3,982+0
64	-2,876+1	-6,931-1
66	-2,695+1	2,409+0
68	-1,954+1	4,752+0
70	-8,668+0	6,030+0
72	3,752+0	6,229+0
74	1,570+1	5,605+0
76	2,581+1	4,442+0
78	3,331+1	3,047+0
80	3,796+1	1,591+0
82	3,970+1	1,662-1
84	3,873+1	-1,103+0
86	3,544+1	-2,151+0
88	3,035+1	-2,862+0
90	2,418+1	-3,275+0
92	1,741+1	-3,458+0
94	1,045+1	-3,486+0
96	3,483+0	-3,485+0
97	-1,839-3	-3,485+0
Station 64: W 3		
0	0,000+0	1,000+0
2	1,994+0	9,911-1
4	3,957+0	9,722-1
6	5,889+0	9,634-1
8	7,818+0	9,644-1
10	9,749+0	9,680-1
12	1,165+1	9,195-1
14	1,338+1	8,106-1
16	1,487+1	6,633-1
18	1,596+1	3,963-1
20	1,639+1	2,678-2
22	1,591+1	-5,675-1
24	1,373+1	-1,727+0
26	8,901+0	-3,049+0
28	2,040+0	-3,655+0
30	-5,254+0	-3,565+0
32	-1,207+1	-3,253+0
34	-1,827+1	-2,946+0
36	-2,383+1	-2,589+0
38	-2,858+1	-2,149+0
40	-3,230+1	-1,512+0
42	-3,450+1	-3,840-1
44	-3,333+1	1,493+0
46	-2,782+1	4,117+0
48	-1,676+1	6,866+0
50	-1,093+0	8,440+0
52	1,457+1	6,417+0
54	2,150+1	-9,564-3
56	1,504+1	-5,752+0
58	1,182+0	-7,533+1
60	-1,329+1	-6,583+0
62	-2,405+1	-3,982+0
64	-2,876+1	-6,931-1
66	-2,695+1	2,409+0
68	-1,954+1	4,752+0
70	-8,668+0	6,030+0
72	3,752+0	6,229+0
74	1,570+1	5,605+0
76	2,581+1	4,442+0
78	3,331+1	3,047+0
80	3,796+1	1,591+0
82	3,970+1	1,662-1
84	3,873+1	-1,103+0
86	3,544+1	-2,151+0
88	3,035+1	-2,862+0
90	2,418+1	-3,275+0
92	1,741+1	-3,458+0
94	1,045+1	-3,486+0
96	3,483+0	-3,485+0
97	-1,839-3	-3,485+0
Station 64: W 1		
0	0,000+0	1,000+0
2	1,996+1	9,957-1
4	3,972+0	9,785-1
6	5,900+0	9,660-1
8	7,844+0	8,958-1
10	9,796+0	9,203-1
12	1,101+1	7,188-1
14	1,232+1	5,896-1
16	1,355+1	4,344-1
18	1,405+1	2,120-1
20	1,450+1	1,096-1
22	1,494+1	8,957-1
24	1,524+1	7,872-1
26	1,560+1	6,804-1
28	1,594+1	5,283-1
30	1,624+1	4,239-1
32	1,654+1	3,105-1
34	1,684+1	2,004-1
36	1,714+1	1,075-1
38	1,744+1	1,004-1
40	1,774+1	1,03

## Tabelle 2, Blatt 12 (zu W. Krauss)

**Tabelle 2, Blatt 13** (zu W. Krauss)

15	3,013+0	-4,580-1	19	-4,817-1	4,816-1	Station 82: W 1	■	0	0,000+0	1,000+0	8	3,772-1	-1,440+0
16	2,497+0	-5,706-1	20	-1,079-4	4,816-1	■	0	0,000+0	1,000+0	9	-1,029+0	-1,154+0	
17	1,892+0	-6,281-1	Station 80: W 5	■	1	9,734-1	9,221-1	10	-1,725+0	-2,651-1			
18	1,260+0	-6,317-1	■	2	1,285+0	6,593-1	11	-1,717+0	1,941-1				
19	6,300+1	-6,298-1	■	4	3,888+0	8,925-1	12	-1,418+0	3,993-1				
20	2,460+0	-6,298-1	■	6	5,185+0	2,806-1	13	-9,631-1	4,832-1				
Station 80: W 4			■	8	4,876+0	-5,020-1	14	-4,806+1	4,805+1				
			■	10	3,628+0	-6,977-1	15	-8,972-5	4,805+1				
			■	12	2,192+0	-7,281-1	Station 82: W 5	■	0	0,000+0	1,000+0		
			■	14	7,312+1	-7,312-1	1	9,279-1	7,904+1				
			■	15	-3,398+5	-7,312-1	2	1,441+0	1,534-1				
			■	10	2,610+0	-4,213-2	3	1,096+0	-8,541+1				
			■	11	2,373+0	-4,159-1	4	-5,492+5	-1,335+0				
			■	12	1,877+0	-5,713-1	5	-7,593+1	4,856+1				
			■	13	1,264+0	-6,333-1	6	-5,362+2	-1,642+0				
			■	14	6,315+1	-6,313-1	7	-2,296+1	5,288+1				
			■	15	1,758+4	-6,313-1	Station 82: W 4	■	0	0,000+0	1,000+0		
			■	10	0,000+0	1,000+0	8	2,754+1	1,117+0				
			■	12	1,913+0	8,601-1	9	1,082+0	4,411+1				
			■	14	3,093+0	1,705-1	10	-3,252+0	-3,692+7				
			■	15	8,913+1	-2,387+0	11	1,245+0	-2,749+1				
			■	8	-3,034+0	-8,621-1	12	1,087+0	-2,749+1				
			■	10	-3,252+0	4,224-1	13	-7,459+1	-3,751+1				
			■	12	-2,070+0	6,665-1	14	-6,349+1	-1,287+0				
			■	14	-6,925+1	6,927-1	15	-6,235+1	1,446+0				
			■	15	1,875+4	6,927-1	Station 82: W 3	■	0	0,000+0	1,000+0		
			■	10	0,000+0	1,000+0	8	8,563+1	-1,249+0				
			■	12	1,627+0	4,206-1	9	-6,349+1	-1,287+0				
			■	14	1,657+0	-4,073+1	10	-6,235+1	1,446+0				
			■	15	8,563+1	-1,249+0	11	9,358+1	7,608+1				
			■	8	8,563+1	-1,249+0	12	-2,050+4	-3,718+1				
			■	9	-6,349+1	-1,287+0	13	3,716+1	-3,718+1				
			■	10	-6,235+1	1,446+0	14	-2,050+4	-3,718+1				
			■	11	9,358+1	7,608+1	15	3,716+1	-3,718+1				

### Fortsetzung von Tabelle 1

**Tabelle 2, Blatt 14** (zu W. Krauss)

führt weiterhin mit der Separationskonstanten  $v$  auf

$$(2.10.) \quad \frac{\partial^2 F}{\partial x^2} + \frac{\partial^2 F}{\partial y^2} + (\kappa^2 + \eta^2) F = 0$$

$$(2.11.) \quad \frac{d^2 W}{d z^2} + \Gamma(z) \frac{d W}{d z} + \Gamma v W = 0$$

mit

$$(2.12.) \quad v = \frac{g(\kappa^2 + \eta^2)}{\omega^2 - f^2}.$$

Als Randbedingungen hinsichtlich der  $z$ -Koordinate hat man im Falle des quasiebenen Meeresbodens

$$(2.13.) \quad W = 0 \text{ für } z = 0 \text{ und } z = H$$

und hinsichtlich der Uferlinien 0 und  $L$

$$(2.14.) \quad u = 0 \text{ für } x = 0 \text{ und } x = L.$$

Abb. 1 (Tafel 1) gibt die Stationen auf einem Schnitt längs der Talsohle der Ostsee an. Die DGL (2.11) mit den Randbedingungen (2.12) wurde für jede zweite Station integriert. Die mittlere Dichte  $\bar{\rho}(z)$  für diese Stationen wurde dem Längsschnitt der Dichte von G. Wüst (1957) in Tiefenstufen von 2 m (geglättet) entnommen und in das Innere des Finnischen Meerbusens extrapoliert. In Tabelle 1 sind die verwendeten Dichtegradienten  $\frac{\Delta \bar{\rho}}{\Delta z} \cdot 10^{-5}$  für  $\Delta z = 2$  m wiedergegeben. Die Werte wurden für die Rechnungen weiterhin quadratisch interpoliert und (2.11) nach dem RUNGE-KUTTA-Verfahren auf der elektronischen Rechenmaschine Z 22 der Universität Kiel integriert. Als Anfangswerte wurden  $W = 0$  und  $\frac{d W}{d z} = 1$  für  $z = 0$  verwendet; war mit einem willkürlichen  $v_n$  die auf diese Weise ermittelte Amplitude am Boden  $|W| \leq 0,1\%$  des Maximalwertes von  $|W(z)|$ , so wurde diese als hinreichend für (2.13) angesehen. Andernfalls erfolgten weitere Approximationen (Eingabelung nach der regula falsi).  $v_n$  stellt den Eigenwert zur so ermittelten Eigenfunktion  $W_n(z)$  dar. Tabelle 2 enthält die Eigenfunktionen  $W_n(z)$  und  $\frac{d W_n}{d z}$  für die angegebenen Tiefen für  $n = 1, 2, 3, 4, 5$ . Um das wiedergegebene Tabellenmaterial auf ein Minimum zu beschränken, wurden für Stationen mit  $H \leq 50$  m die Werte  $W_1$  und  $W_2$  alle 2 m Tiefe,  $W_3-W_5$  alle 1 m Tiefe angegeben. Für Stationen mit  $50 \leq H \leq 100$  m findet man  $W_1-W_3$  für alle 5 m,  $W_4-W_5$  für alle 2 m Tiefe. Für Stationen mit  $H > 100$  ist schließlich  $W_1-W_3$  für alle 10 m und  $W_4-W_5$  alle 5 m angegeben. Die Werte  $W_n(z)$  stellen die Grundlage zur Berechnung der internen Vertikalverlagerung dar; die  $\frac{d W_n}{d z}$  dienen zur Berechnung der mit den internen Wellen verbundenen Horizontalströmungen.

Um (auch für künftige Berechnungen) eine leichte Übersicht zu erhalten, sind in den Abb. 2—41 (Tafeln 2—11) für die Stationen 4—82  $\bar{\rho}(z)$ ,  $W_n(z)$  und  $\frac{d W_n(z)}{d z}$  für  $n = 1, 2, 3$  als Funktionen der Tiefe gezeichnet worden. Man erkennt an ihnen, in welchen Tiefen interne Wellen  $W(z)$  bzw. die damit verbundenen Horizontalströmungen

$$U_n = a \frac{d W_n}{d z}$$

besonders intensiv sind. Für  $n = 4$  und  $n = 5$ , die ebenfalls von Bedeutung sind, kann man den Verlauf Tabelle 2 entnehmen. Besondere Bedeutung kommt auch den Eigenwerten  $v_n$  zu, da sie gemäß (2.12) eine Relation  $\kappa = \kappa(\omega)$  liefern, d. h. die zu einer internen Welle der Periode  $\tau$  gehörenden Wellenlänge  $\lambda$  zu berechnen gestatten. Die Werte sind in Tabelle 3 angegeben. Mit Hilfe der Eigenwerte  $v_n$  wurde  $\kappa_n$  unter der Annahme  $\kappa = \eta$  und  $\omega^{*2} = \omega^2 - f^2 = \frac{4\pi^2}{\tau^{*2}}$  für die Seichesperioden  $\tau^* = 27,5$  Std. bzw.  $\tau^* = 17,6$  Std. berechnet. Die erstere stellt die Grundschwingung des Gebietes Westliche Ostsee-Finnischer Meerbusen dar, die zweite ist die nächste Oberschwingung. (Theoretisch ergibt sich 19,1 Std.; G. NEUMANN (1941) zeigte jedoch an Hand von Beobachtungsmaterial, daß 17,6 Std. wahrscheinlicher ist. E. LISITZIN (1959) tendierte sogar zu noch kürzeren Wellen).

Die Wellenform  $F(x)$  auf dem Längsschnitt ist in erster Näherung durch eine Sinuswelle mit  $\kappa =$  sonst gegeben. In zweiter Näherung verwenden wir die obigen Werte  $\kappa_n$  für die numerische Integration nach dem RUNGE-KUTTA-Verfahren mit den Anfangs- bzw. Randwerten

$$(2.15.) \quad F = 1 \text{ für } x = 0, \frac{dF}{dx} = 0 \text{ für } x = 0 \text{ und } x = L.$$

Das Verschwinden des Gradienten an den Randlinien 0 und L bedeutet, daß dort Wellenberge vorhanden sind und ist identisch mit (2.14).

Die Integration wurde für die Tiefen 10 m, 20 m usw. mit den jeweiligen Profillängen L durchgeführt. Als Ergebnis sind in den Abb. 42—45 (Tafeln 12—13) die Produkte  $w_n(x, z) = W_n(z) F_n(x)$  für die internen Wellen 1.—2. Ordnung der 27,5<sup>h</sup> und 17,6<sup>h</sup>-Welle dargestellt. Die Abbildungen geben einen Einblick in die Wellenlängen dieser internen Seiches.

Die in den Abb. 42—45 nicht enthaltenen Tiefenregionen des Gotlandbeckens mit  $H > 120$  m wurden zwar berechnet, sind hier jedoch nicht wiedergegeben.

L. MAGAARD (1962) hat gezeigt, daß auch bei nicht-ebenem Meeresboden die lokale Wellenlänge  $\lambda$  nur von der Wassertiefe H, die Amplitude hingegen sehr stark von der Bodenneigung abhängig ist. Man kann daher erwarten, daß die in den Abb. 42—45 angegebenen Wellen andere Amplitudenverteilungen besitzen und lediglich die Lage der Schwingungsbäuche und Knoten der Realität entspricht.

### 3. Die Strommessungen auf der Mastposition Süd, 1961 ( $\varphi = 55^\circ 00,7'N$ , $\lambda = 14^\circ 10,0'E$ )

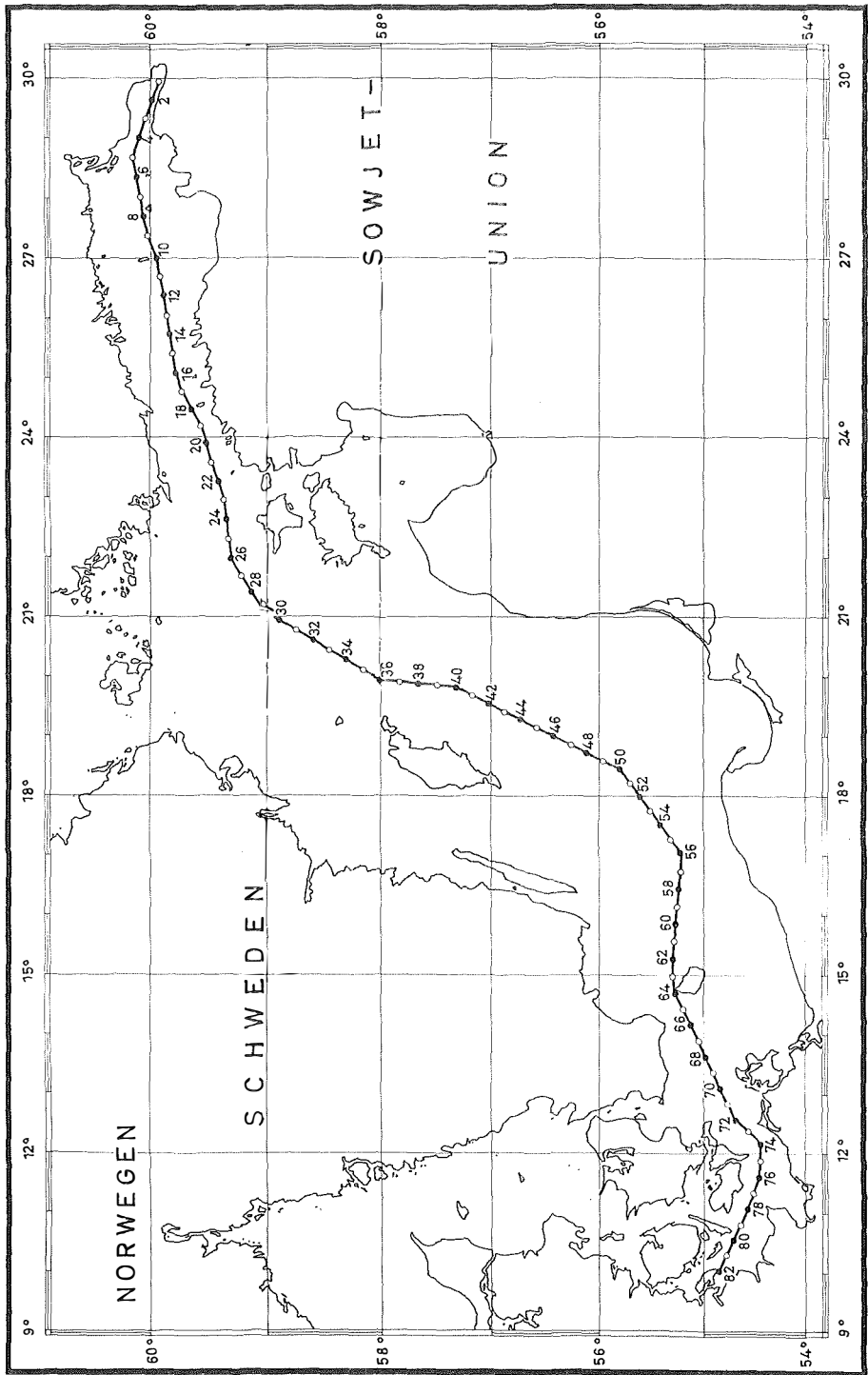
Im Arkona-Becken wurden in der Zeit vom 10. 8.—19. 8. 1961 Strommessungen in den Tiefen 7, 21, 27, 31 und 41 m durchgeführt. Die Wassertiefe betrug 46 m. Die Meßwertdistanz ist 12 Minuten (1089 Meßwerte je Tiefe). Abb. 46 (Tafel 14) gibt die 10-fach gemittelten Meßwerte für Stromrichtung (R) und Stromgeschwindigkeit (N) wieder.

Den Meßwerten ist die große vertikale Veränderlichkeit unmittelbar zu entnehmen.

---

Legende zu der nebenstehenden Abbildung (Tafel 1)

Abb. 1: Lage der Stationen 2, 4, ..., 82 längs der Talsohle der Ostsee.



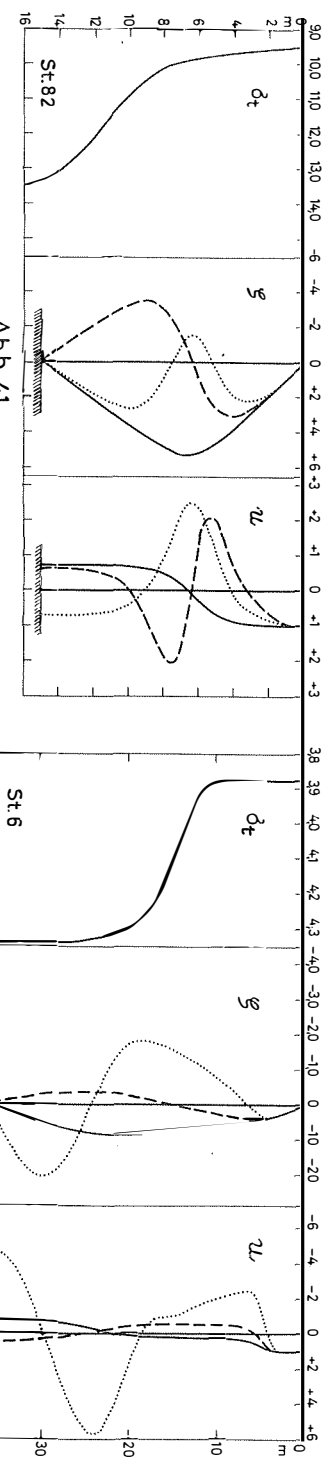


Abb. 4

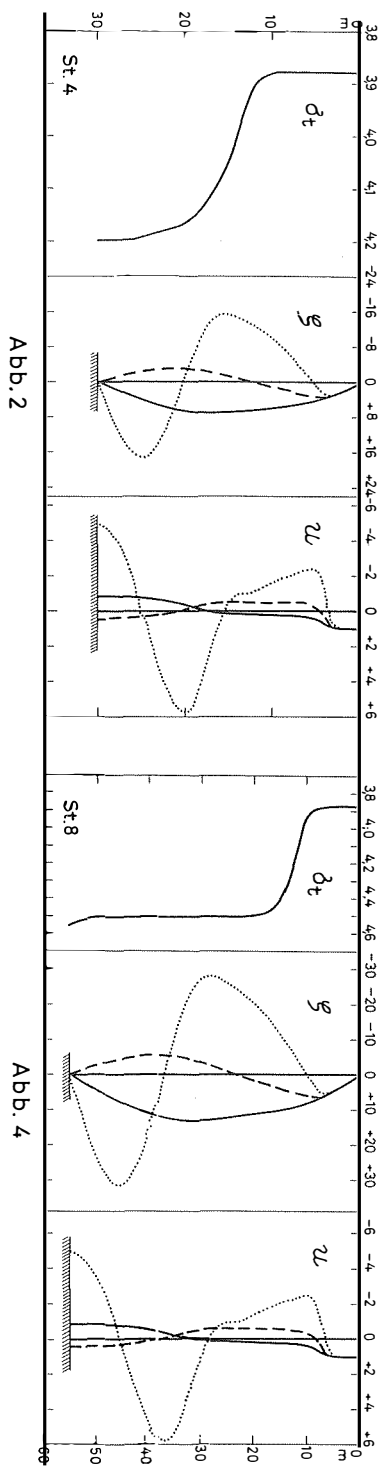
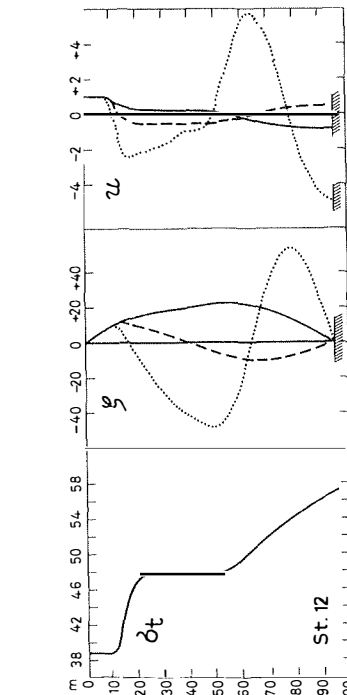
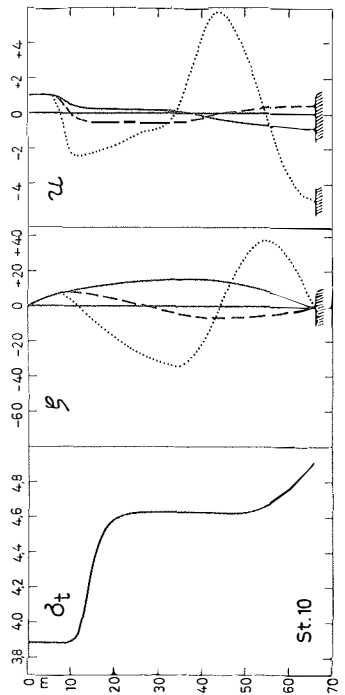
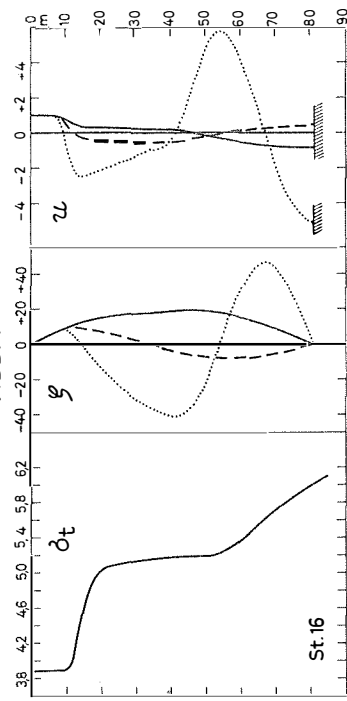
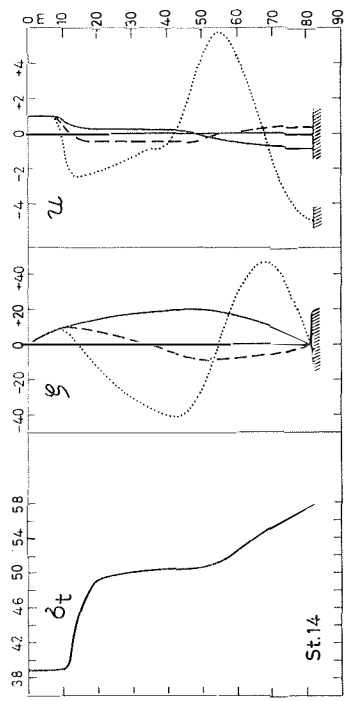


Abb. 3

Tafel 2 (zu W. Krauss)



Tafel 3 (zu W. Krauß)

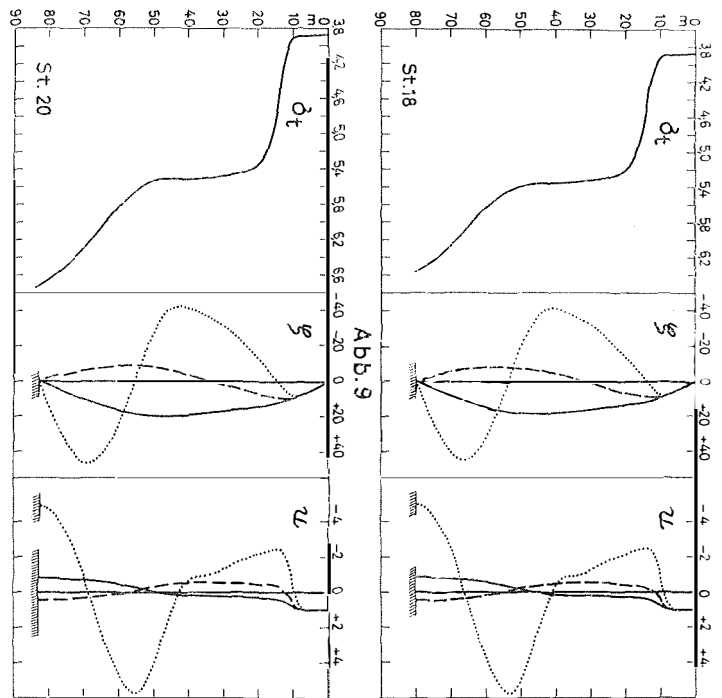


Abb. 10

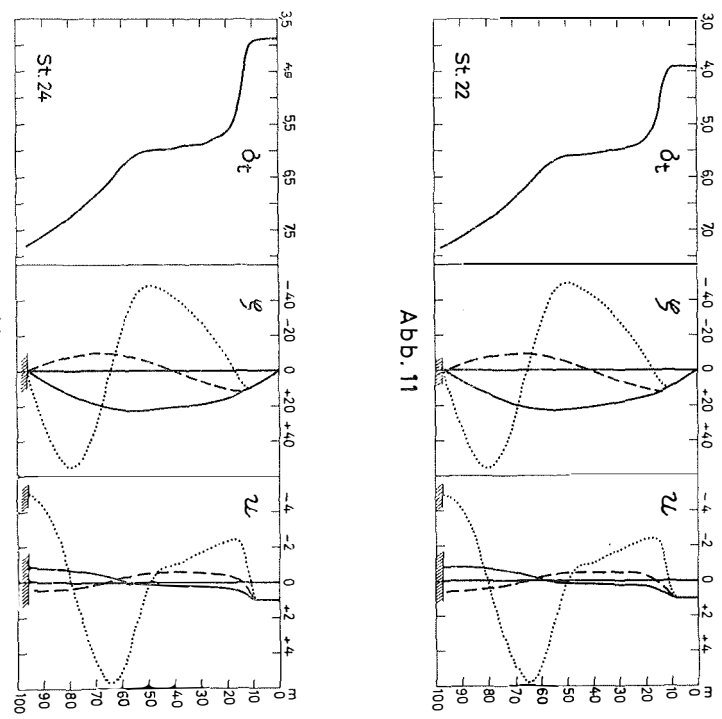


Abb. 12

Tafel 4 (zu W. Krauss) \*

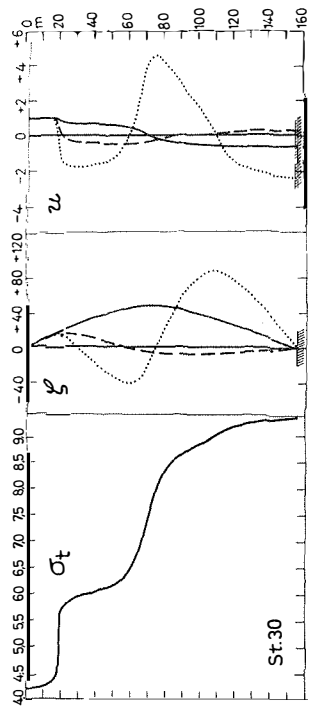


Abb. 15

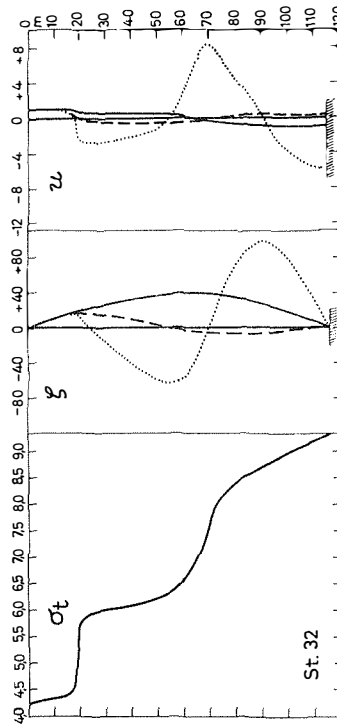


Abb. 16

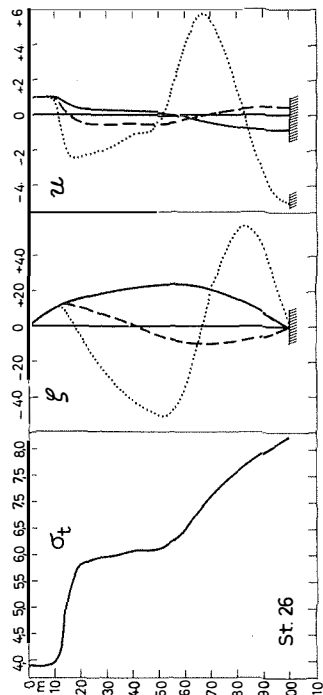


Abb. 13

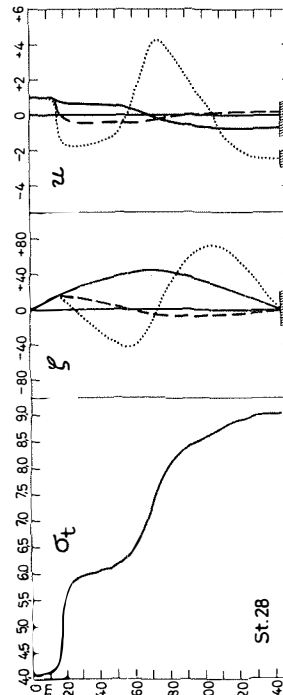


Abb. 14

Tafel 5 (zu W. Krauss)

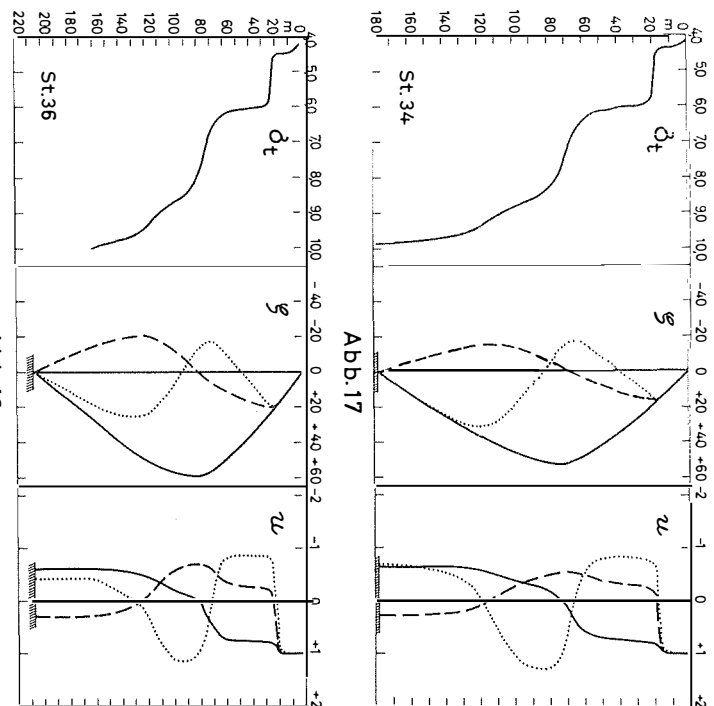


Abb. 18

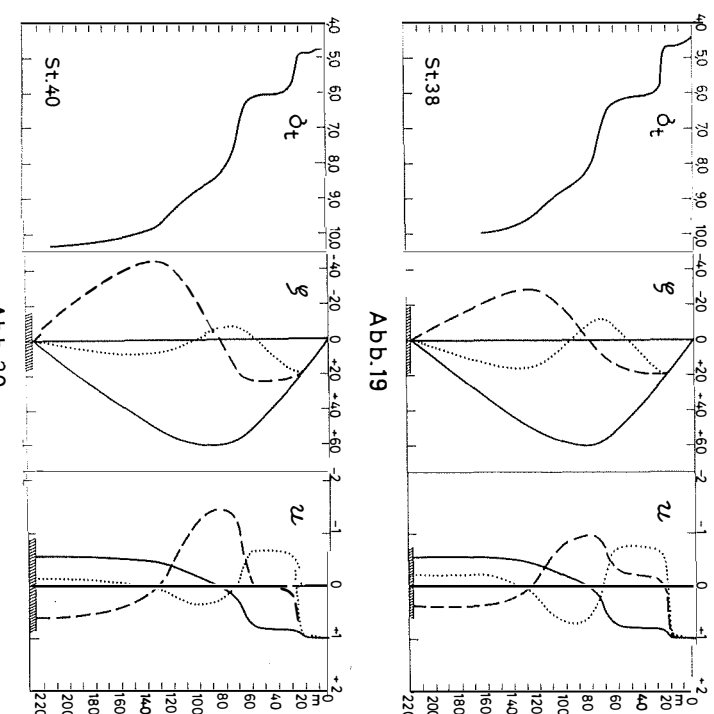


Abb. 20

Tafel 6 (zu W. Krauss)

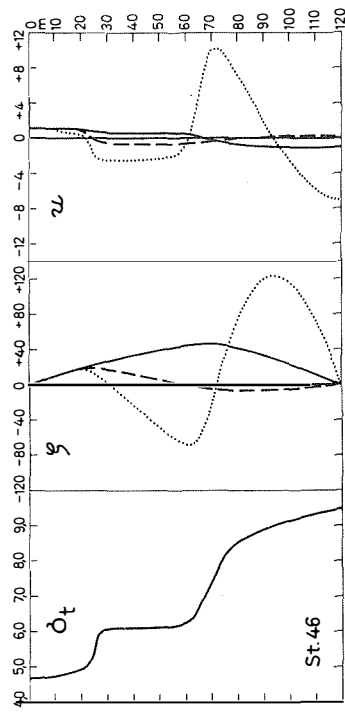


Abb. 23

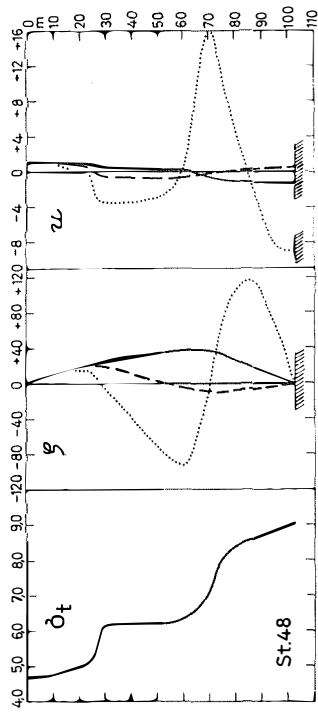


Abb. 24

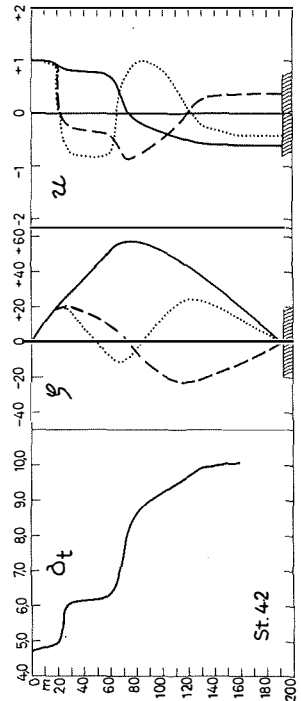


Abb. 21

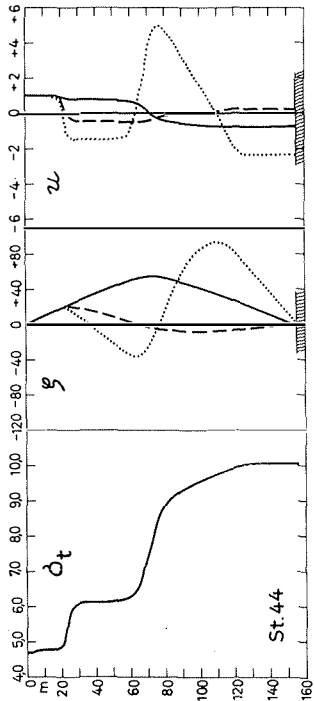


Abb. 22

Tafel 7 (zu W. Krauss)

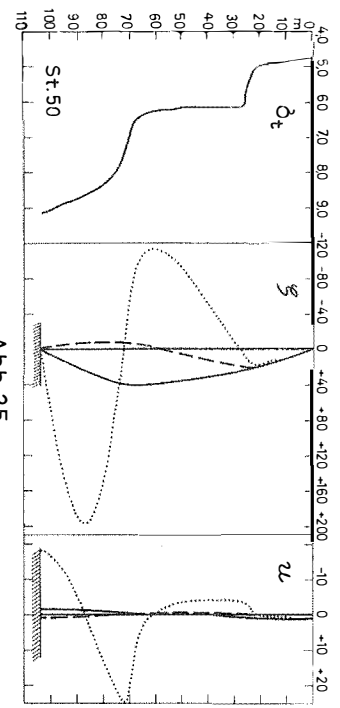


Abb. 25

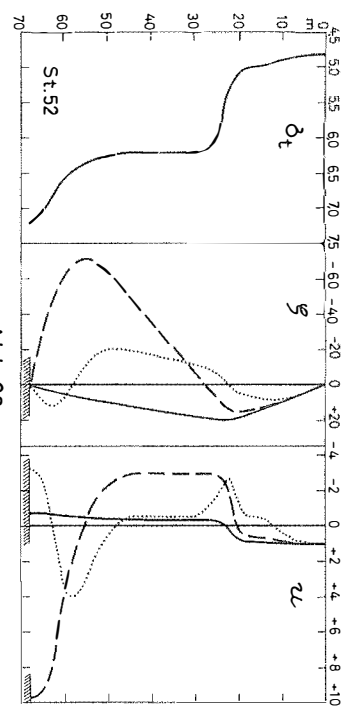


Abb. 26

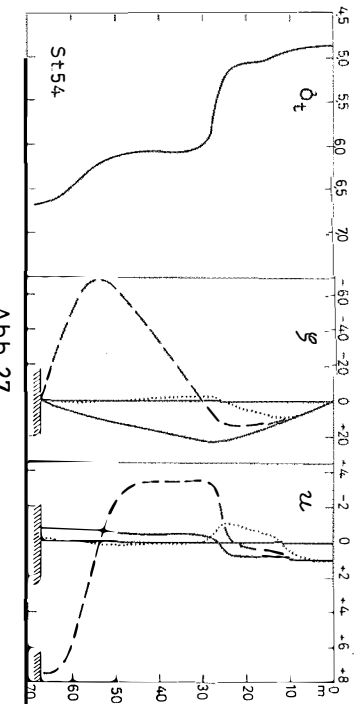


Abb. 27

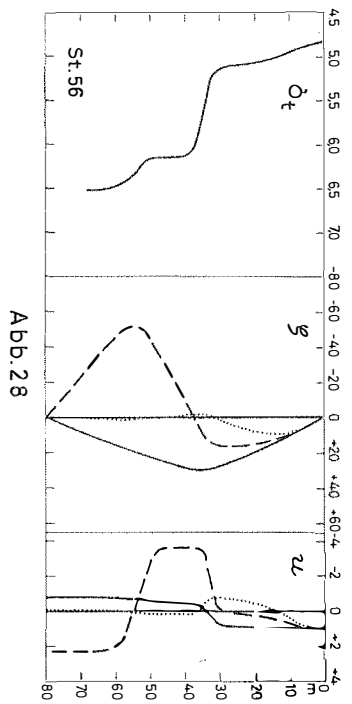


Abb. 28

Tafel 8 (zu W. Krauss)

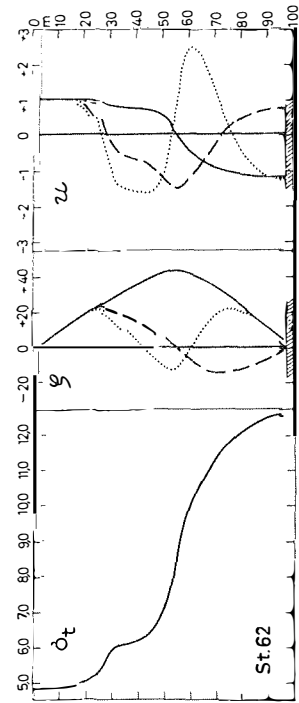


Abb. 31

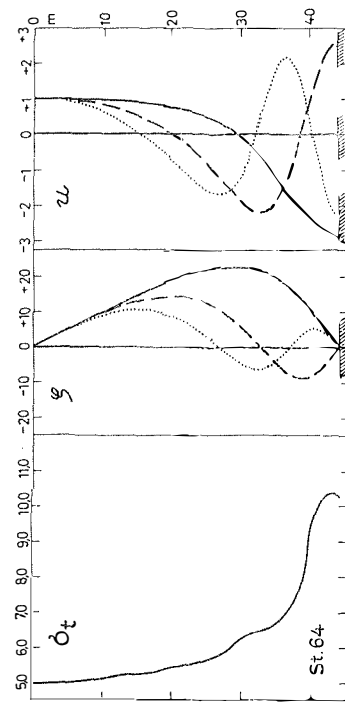
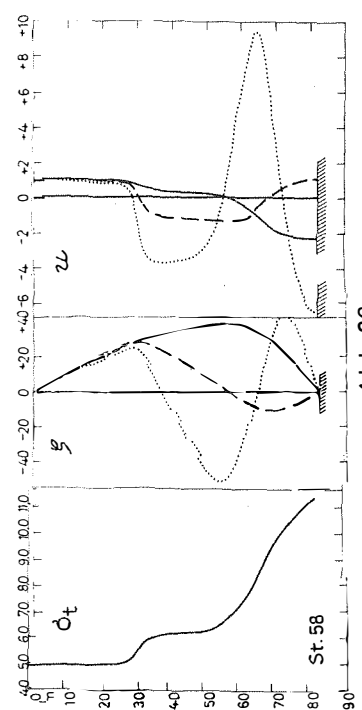


Abb. 32



Tafel 9 (zu W. Krauss)

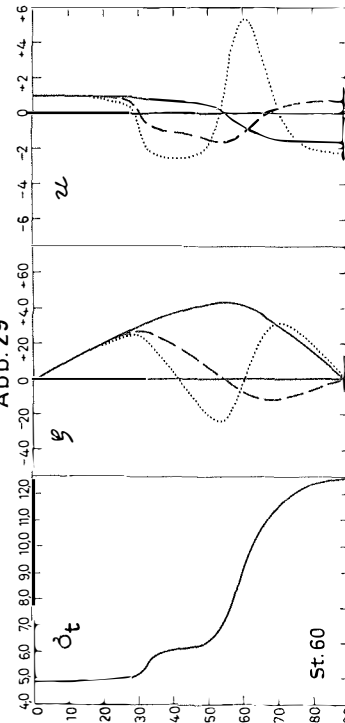


Abb. 30

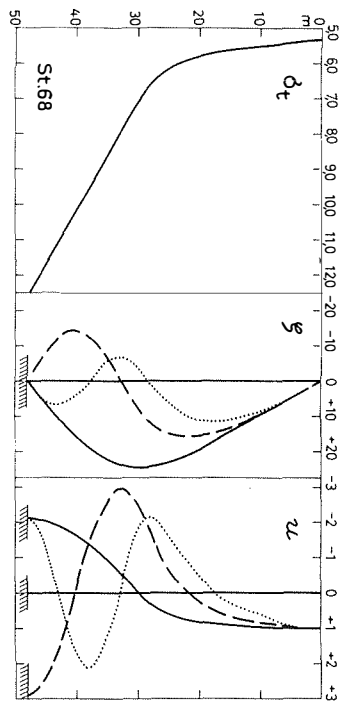


Abb. 34

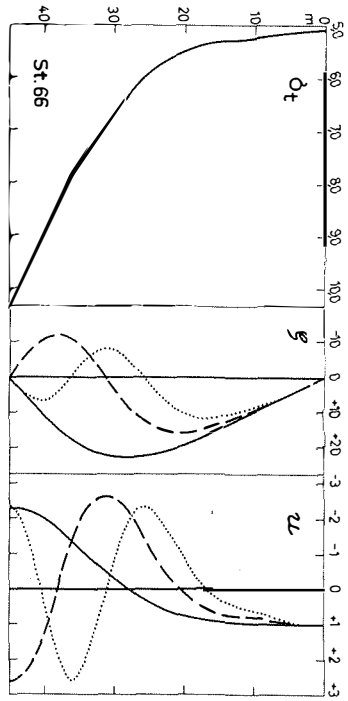


Abb. 33

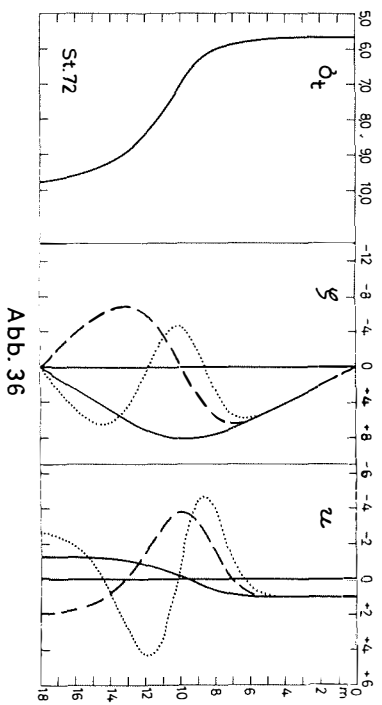


Abb. 36

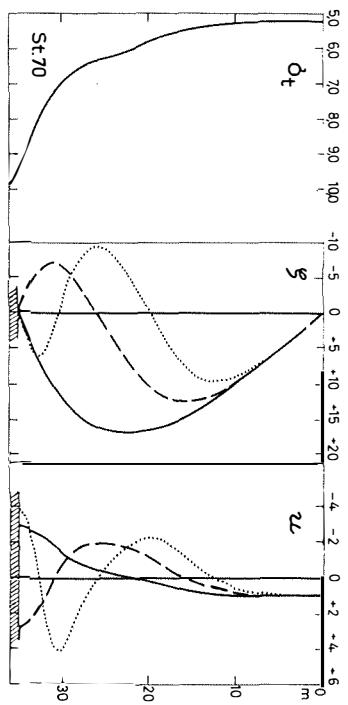


Abb. 35

Tafel 10 (zu W. Krauss)

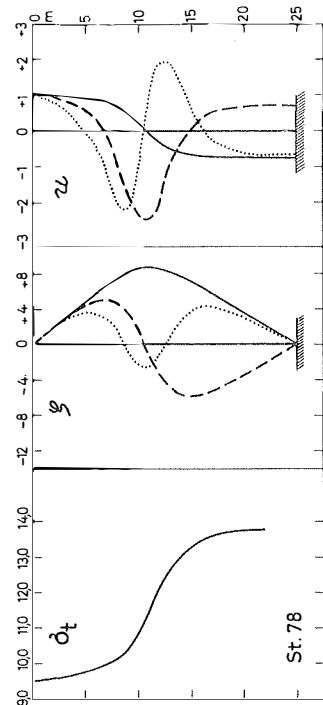


Abb. 39

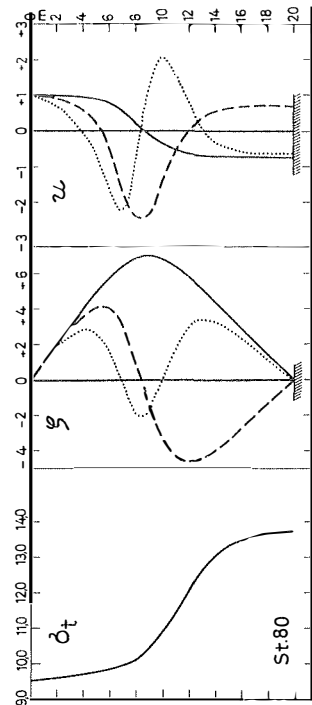


Abb. 40

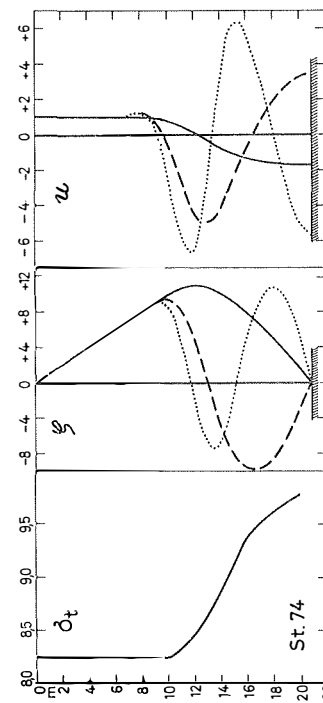


Abb. 37

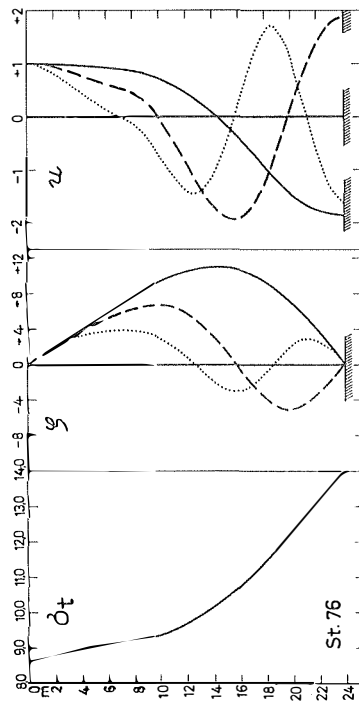


Abb. 38

Tafel 11 (zu W. Krauss)

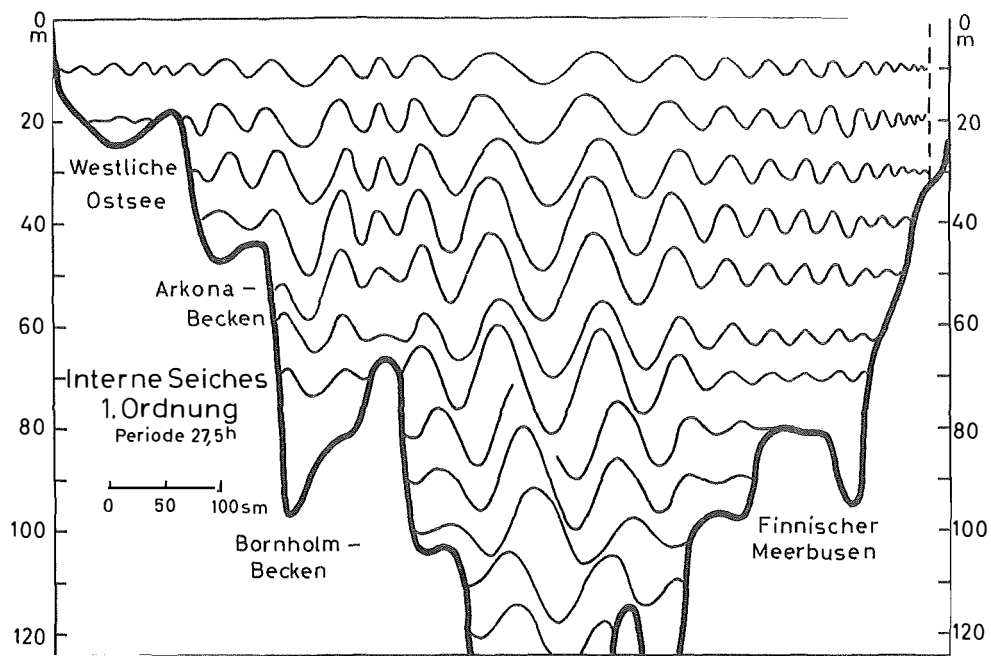


Abb. 42

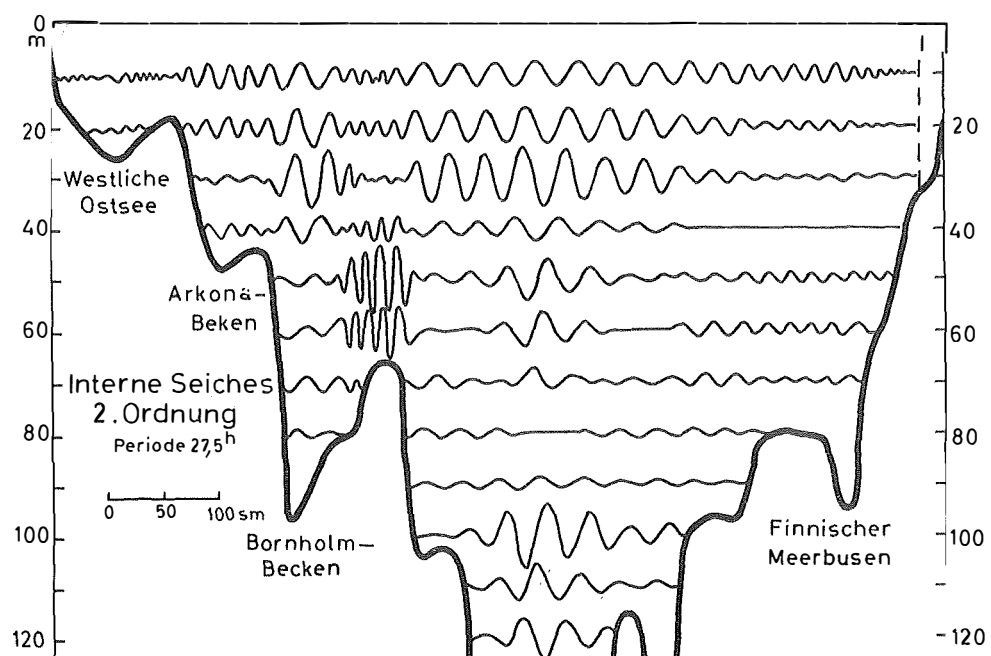


Abb. 43

Tafel 12 (zu W. Krauss)

Tabelle 3. Eigenwerte  $v_n$  für  $n = 1$  bis  $n = 5$  auf den Stationen 2, 4, ..., 82

Station	Wassertiefe H (m)	$v_1$ [m <sup>-1</sup> ]	$v_2$ [m <sup>-1</sup> ]	$v_3$ [m <sup>-1</sup> ]	$v_4$ [m <sup>-1</sup> ]	$v_5$ [m <sup>-1</sup> ]
2	9	42740	99830	375000	789800	1104000
4	30	1923	4492	16880	35540	49670
6	36	890,3	2080	7813	16450	23000
8	55	286,1	668,3	2510	5287	7389
10	66	158,9	371,3	1395	2937	4105
12	95	63,93	149,3	561,0	1181	1651
14	82	73,55	171,8	645,4	1359	1900
16	81	65,95	154,1	578,7	1219	1703
18	80	60,10	140,4	527,4	1111	1552
20	83	50,25	117,4	440,9	928,6	1298
22	97	33,45	78,13	293,5	618,1	863,9
24	96	31,30	73,11	274,7	578,5	808,5
26	100	26,63	62,20	233,7	492,1	687,8
28	144	11,66	49,63	121,5	264,3	484,4
30	155	9,749	48,55	109,8	251,9	462,0
32	115	14,37	52,82	167,9	342,2	634,9
34	178	7,939	44,96	67,49	216,8	356,7
36	206	6,472	38,09	58,07	192,7	295,3
38	217	6,258	39,04	60,70	187,9	311,6
40	226	5,921	34,81	66,85	144,2	248,3
42	192	6,761	48,90	69,53	216,9	398,3
44	155	7,779	53,37	98,37	247,3	477,9
46	121	12,42	57,66	167,1	365,9	706,6
48	103	18,43	58,89	277,5	559,4	871,9
50	104	18,34	59,14	275,4	604,4	1014
52	68	58,58	236,0	1208	1488	2418
54	67	60,15	331,3	1107	1972	2531
56	80	44,18	325,6	866,0	1935	3189
58	82	17,78	65,88	193,7	421,3	779,0
60	89	9,199	64,38	132,7	327,8	573,1
62	97	8,075	63,07	110,7	255,4	429,2
64	44	39,40	184,7	405,2	732,8	1132
66	45	37,48	182,9	476,8	829,6	1296
68	48	24,39	139,6	325,8	562,5	870,4
70	35	82,43	271,8	806,2	1377	2185
72	18	79,54	615,2	1531	2941	4707
74	21	207,4	1602	3868	7281	11960
76	24	68,93	331,6	805,7	1380	2001
78	25	53,76	467,2	1180	2102	3256
80	20	84,00	730,0	1844	3285	5087
82	15	149,3	1298	3278	5840	9044

Um zu prüfen, inwieweit im Seiches-Bereich von 10--40 Stunden interne Seiches für diese Vertikalstruktur verantwortlich sind, wurden die 10-fach gemittelten Werte der Fourier-Analyse unterworfen.

Die Rechenschritte sind:

- Es liegt die Meßreihe  $F_n = F(n \Delta t)$  vor ( $n = 1, 2, \dots, 108$ ;  $\Delta t = 2$  Std.).
- Es wurden mit  $q = 20$  die Gewichtsfaktoren

Legende zu den nebenstehenden und um seitigen Abbildungen (Tafel 2—11)

Abb. 2—41: Dichte  $\bar{\rho}(z)$ , Eigenfunktionen  $W_n(z)$  und  $\frac{d W_n}{d z}$  für  $n = 1, 2, 3$  der Stationen 4, 6, ..., 82.

$$(3.1.) \quad \gamma_k = \frac{1}{M} \sum_{m=0}^M A_f(m \Delta \omega) \cos(k \Delta t m \Delta \omega)$$

$$\left( M = \frac{\pi}{\Delta t \Delta \omega} \right)$$

zur Approximation des Spektralilters

$$(3.2.) \quad A_f(m \Delta \omega) = \gamma_0 + 2 \sum_{k=1}^q \gamma_k \cos(k \Delta t m \Delta \omega) \approx \begin{cases} 1 & \text{für } 4 \leqq \tau \leqq 50 \text{ Std.} \\ 0 & \text{sonst} \end{cases}$$

ermittelt. Dann folgt die gefilterte Meßreihe

$$(3.3.) \quad F_f(n \Delta t) = \sum_{k=-q}^{k=q} \gamma_k F\{(n-k) \Delta t\},$$

die nur noch Perioden des obigen Filterbereiches enthält. Die Meßreihe wird hierdurch um  $2q = 40$  Werte verkürzt.

c) Die Amplitudendichte  $\bar{A}(m \Delta \omega)$  und die Phasenverteilung  $\bar{\phi}(m \Delta \omega)$  ergeben sich aus

$$(3.4.) \quad \bar{A}(m \Delta \omega) = \sqrt{a^2(m \Delta \omega) + b^2(m \Delta \omega)} \cdot \frac{\sin\left(m \Delta \omega \frac{\Delta t}{2}\right)}{m \Delta \omega \frac{\Delta t}{2}}$$

$$(3.5.) \quad \bar{a}(m \Delta \omega) = \Delta t \sum_{n=q+1}^{N-q} F_f(n \Delta t) \cos(m \Delta \omega \cdot n \Delta t)$$

$$(3.6.) \quad \bar{b}(m \Delta \omega) = \Delta t \sum_{n=q+1}^{N-q} F_f(n \Delta t) \sin(m \Delta \omega \cdot n \Delta t)$$

$$(3.7.) \quad \bar{\phi}(m \Delta \omega) = \arctan \frac{\bar{b}(m \Delta \omega)}{\bar{a}(m \Delta \omega)}.$$

d) Die  $\bar{A}(m \Delta \omega)$  und  $\bar{\phi}(m \Delta \omega)$  wurden mit dem HAMMINGschen Filter geglättet:

$$(3.8.) \quad \bar{A}(m \Delta \omega) = 0,23 \bar{A}\left(m \Delta \omega - \frac{2 \pi}{(N-2q) \Delta t}\right) + 0,54 \bar{A}(m \Delta \omega) +$$

$$+ 0,23 \bar{A}\left(m \Delta \omega + \frac{2 \pi}{(N-2q) \Delta t}\right).$$

Entsprechendes für  $\bar{\phi}(m \Delta \omega)$ .

e) Die Amplitudendichte  $\bar{A}$  mit der Dimension [F] / [ $\Delta \omega$ ] wurde mit  $\Delta \omega = 0,6944 \cdot 10^{-5} \text{ sec}^{-1}$  berechnet. Die Phase  $\bar{\phi}$  ist an den Stellen  $m \Delta \omega$  als Winkel im Bogenmaß angegeben. Auf der Abszisse wurde statt der Kreisfrequenz  $\omega$  die Periode  $\tau$  angegeben.

Legende zu den nebenstehenden und umseitigen Abbildungen (Tafel 12—13)  
 Abb. 42—43: Die internen Seiches 1.—2. Ordnung der 27,5h-Periode  $W_n(x, z) = W_n(z) F_n(x)$ .  
 Abb. 44—45: Die internen Seiches 1.—2. Ordnung der 17,6h-Periode  $W_n(x, z) = W_n(z) F_n(x)$ .

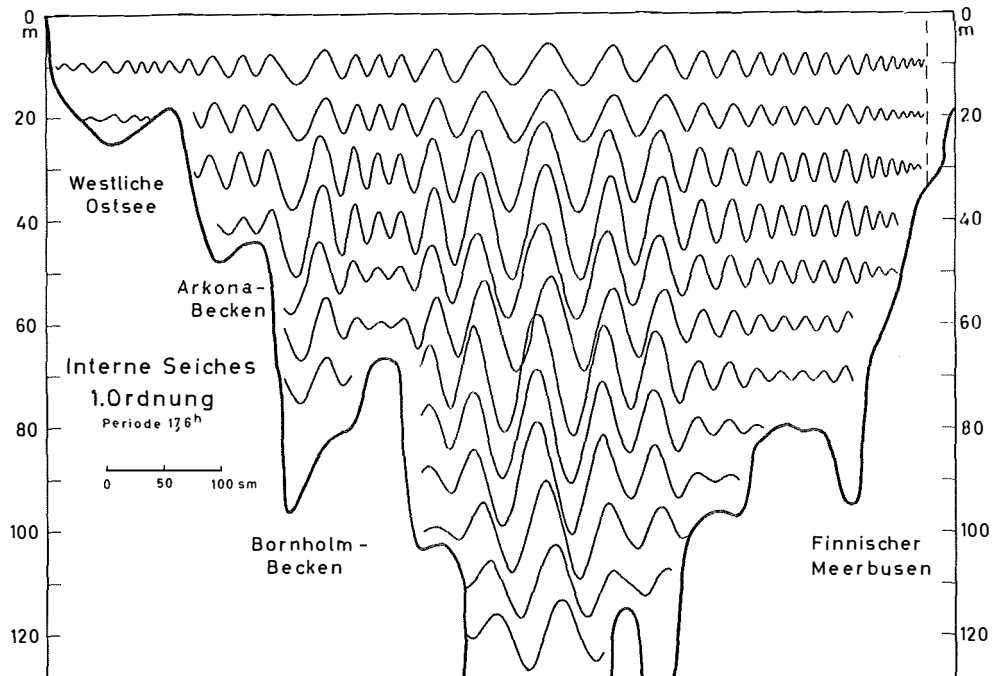


Abb. 44

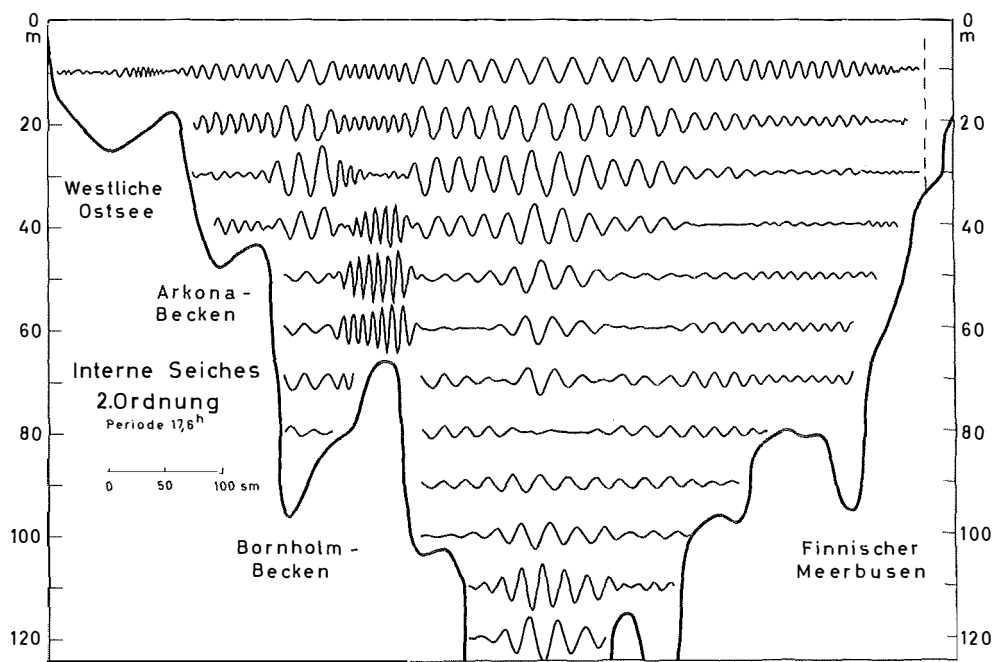


Abb. 45

Tafel 13 (zu W. Krauss)

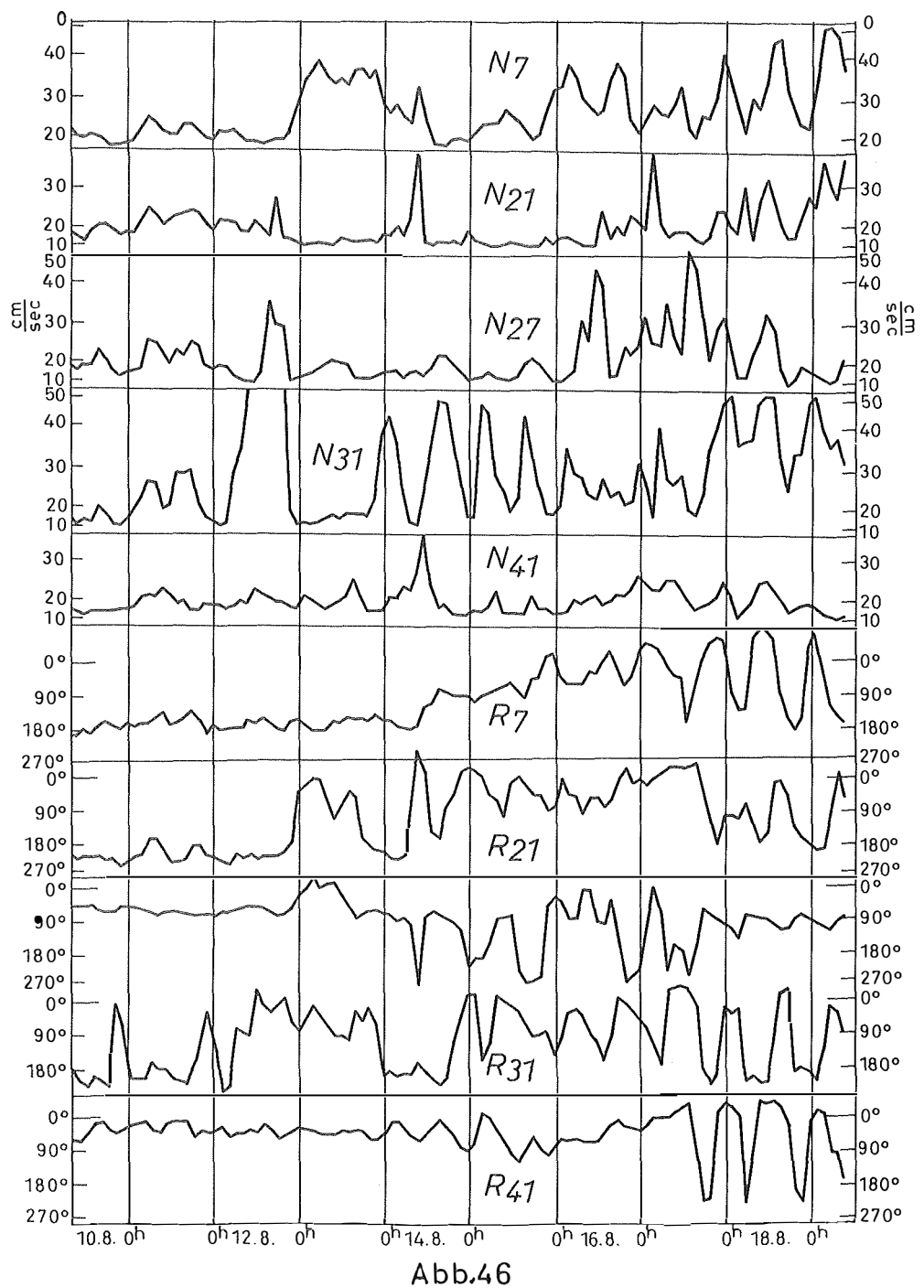


Abb.46

Tafel 14 (zu W. Krauss)

Tabelle 4. Die Koeffizienten (Amplituden)  $C_n$  der zu den Oberflächenseiches ( $C_0$ ) und internen Seiches ( $C_n$ ,  $n = 1$  bis  $n = 5$ ) gehörenden Strömungen auf Mastposition Süd (u- und v-Komponente)

Meßgröße	Periode	$C_0$	$C_1$	$C_2$	$C_3$	$C_4$	$C_5$
$u_x$	39,5h	— 5,545	+ 0,010	+ 5,702	— 6,646	+ 7,595	— 3,138
$u_\beta$	39,5h	+ 14,460	— 0,073	— 33,787	+ 56,363	— 54,096	+ 25,239
$v_x$	39,5h	— 3,256	— 0,010	— 3,687	+ 7,307	— 5,972	+ 4,376
$v_\beta$	39,5h	— 5,134	+ 0,430	+ 15,053	— 26,391	+ 23,825	— 14,071
$u_x$	27,5h	— 3,081	— 0,001	+ 0,859	+ 1,618	+ 0,378	— 0,832
$u_\beta$	27,5h	+ 17,503	— 0,179	— 37,305	— 65,819	— 59,665	+ 30,043
$v_x$	27,5h	— 2,206	— 0,007	— 1,596	+ 4,241	— 4,565	+ 2,827
$v_\beta$	27,5h	— 14,819	+ 0,073	+ 31,822	— 56,215	+ 55,384	— 25,105
$u_x$	22,5h	— 5,513	+ 0,013	+ 6,568	— 10,817	+ 10,134	— 5,651
$u_\beta$	22,5h	— 1,649	+ 0,027	+ 11,417	— 15,567	+ 18,829	— 9,528
$v_x$	22,5h	— 0,135	— 0,034	— 12,624	+ 25,080	— 23,079	+ 10,257
$v_\beta$	22,5h	— 2,629	— 0,005	— 1,096	+ 2,014	— 3,883	+ 0,090
$u_x$	18,0h	— 7,415	+ 0,004	+ 4,914	— 8,247	+ 5,102	— 3,370
$u_\beta$	18,0h	— 9,423	+ 0,030	+ 14,445	— 28,986	+ 22,485	— 10,159
$v_x$	18,0h	— 6,806	+ 0,032	+ 14,001	— 22,457	+ 23,884	— 12,806
$v_\beta$	18,0h	— 5,880	+ 0,041	+ 17,525	— 31,821	+ 30,389	— 12,548
$u_x$	13,0h	— 5,603	+ 0,009	+ 4,797	— 8,783	+ 7,174	— 4,559
$u_\beta$	13,0h	— 12,257	+ 0,034	+ 17,554	— 30,739	+ 24,937	— 14,289
$v_x$	13,0h	— 1,992	— 0,047	— 19,021	+ 34,967	— 34,315	+ 16,132
$v_\beta$	13,0h	— 7,949	+ 0,047	+ 23,812	— 38,431	+ 32,960	— 16,034
$u_x$	9,5h	— 8,538	+ 0,017	+ 10,151	— 15,178	+ 13,470	— 7,058
$u_\beta$	9,5h	— 4,853	+ 0,031	+ 13,940	— 22,554	+ 23,271	— 9,585
$v_x$	9,5h	— 5,159	+ 0,001	+ 2,376	— 2,491	+ 1,401	— 0,399
$v_\beta$	9,5h	— 1,513	— 0,019	— 8,822	+ 13,345	— 13,618	+ 6,397

Abb. 47 und 48 geben die Spektren der Amplitudendichte  $\bar{A}$ , Abb. 49 und 50 die Phasen  $\bar{\varphi}$  für die Komponenten u (Ost) und v (Nord) der angegebenen Tiefen wieder. Sämtliche Rechnungen wurden auf der elektronischen Rechenmaschine X 1 der Universität Kiel durchgeführt.

Um zu untersuchen, welche Bedeutung die internen Seiches für die Stromverteilung besitzen, wurden den Spektren für folgende Seichesperioden  $\tau_i$  die Werte  $\bar{A}$  und  $\bar{\varphi}$  entnommen:

1.  $\tau_1 = 39,5$  Std. (Grundschwingung Lübeck-Bottnischer Meerbusen)
2.  $\tau_2 = 27,5$  Std. (Grundschwingung Lübeck-Finnischer Meerbusen)
3.  $\tau_3 = 22,5$  Std. (1. Oberschwingung Lübeck-Bottnischer Meerbusen)
4.  $\tau_4 = 18,0$  Std. (repräsentativ für 1. Oberschwingung Lübeck-Finnischer Meerbusen und 2. Oberschwingung Lübeck-Bottnischer Meerbusen)
5.  $\tau_5 = 13,0$  Std. (repräsentativ für 2. Oberschwingung Lübeck-Finnischer Meerbusen und 3. Oberschwingung Lübeck-Bottnischer Meerbusen)

#### Legende zu der nebenstehenden Abbildung (Tafel 14)

Abb. 46: Stromrichtung (R) und Geschwindigkeit (N) auf Position Süd in 7, 21, 27, 31 und 41 m Tiefe für die Zeit vom 10.—19. 8. 1961.

6.  $\tau_6 = 9,5$  Std. (repräsentativ für 3. Oberschwingung Lübeck-Finnischer Meerbusen und 4. Oberschwingung Lübeck-Botnischer Meerbusen).

Statt mit den  $\bar{A}(z_i)$  und  $\bar{\varphi}(z_i)$  erfolgt die weitere Berechnung mit den  $u_\alpha$  und  $u_\beta$ :

$$(3.9.) \quad u(z_i) = \bar{A}(z_i) \cos\left(\frac{2\pi}{\tau} t - \varphi(z_i)\right) = u_\alpha \cos\frac{2\pi}{\tau} t + u_\beta \sin\frac{2\pi}{\tau} t.$$

Es soll  $u_\alpha$  (entsprechend  $u_\beta$ , dasselbe für  $v$ ) durch Eigenfunktionen  $\frac{dW_n}{dz}$  ( $n = 0, \dots, 5$ )

mit Einschluß des zur Oberflächenwelle ( $n = 0, \frac{dW_0}{dz} = 1$ ) gehörenden Stromes approximiert werden:

$$(3.10.) \quad u_\alpha(z_i) = \sum_{n=0}^N C_n \frac{dW_n(z_i)}{dz}.$$

Nach dem GAUSSSchen Ausgleichsverfahren muß somit

$$(3.11.) \quad \sum_i \left[ u_\alpha(z_i) - \sum_{n=0}^N c_n \frac{dW_n(z_i)}{dz} \right]^2 = \text{Min!}$$

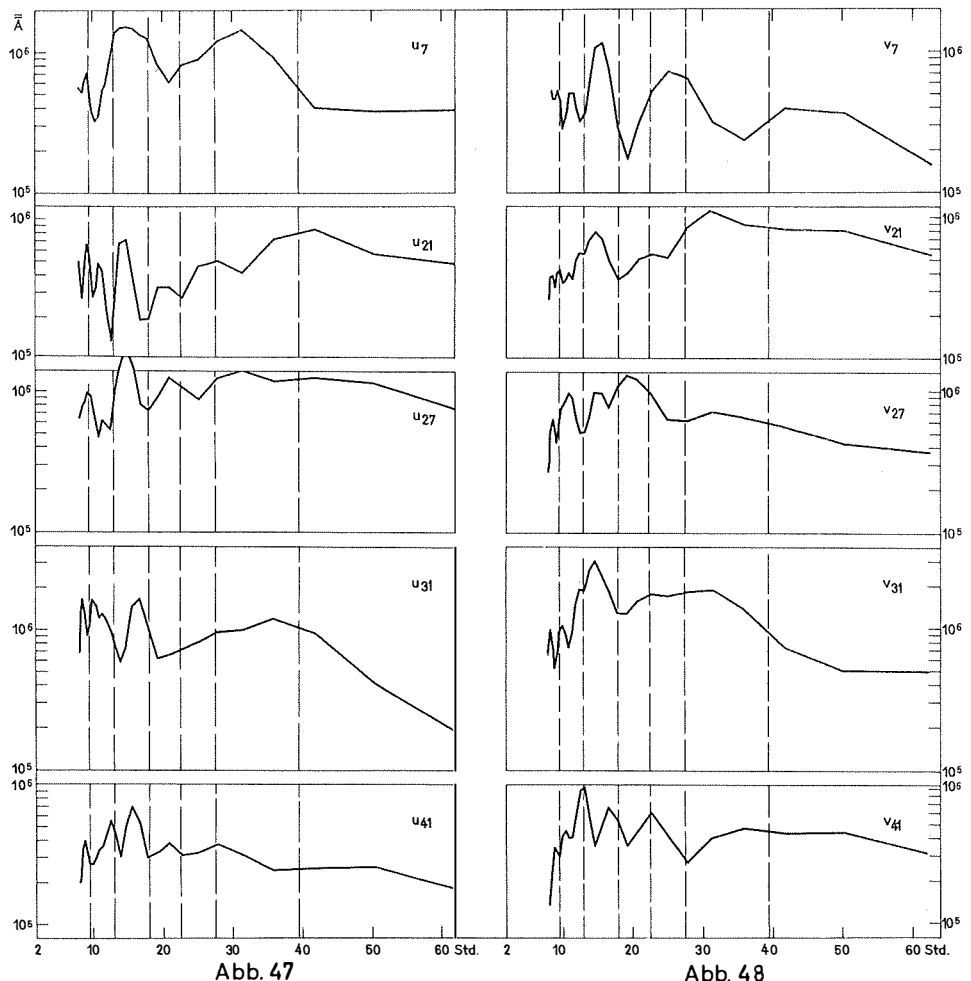
sein, woraus durch Nullsetzen der partiellen Ableitungen nach den Koeffizienten  $C_n$  das System

$$(3.12.) \quad \begin{aligned} C_0 \sum_i \frac{dW_0(z_i)}{dz} + C_1 \sum_i \frac{dW_1(z_i)}{dz} + \dots \\ + C_5 \sum_i \frac{dW_5(z_i)}{dz} = \sum_i u_\alpha(z_i) \\ C_0 \sum_i \frac{dW_1(z_i)}{dz} + C_1 \sum_i \left( \frac{dW_1(z_i)}{dz} \right)^2 + \dots \\ + C_5 \sum_i \frac{dW_5(z_i)}{dz} \frac{dW_1(z_i)}{dz} = \sum_i u_\alpha(z_i) \frac{dW_1(z_i)}{dz} \\ C_0 \sum_i \frac{dW_5(z_i)}{dz} + C_1 \sum_i \frac{dW_1(z_i)}{dz} \frac{dW_5(z_i)}{dz} + \dots \\ + C_5 \sum_i \left( \frac{dW_5(z_i)}{dz} \right)^2 = \sum_i u_\alpha(z_i) \frac{dW_5(z_i)}{dz} \end{aligned}$$

folgt.

Die  $C_n$  wurden auf der elektronischen Rechenmaschine X 1 der Universität Kiel berechnet. In Tabelle 4 sind sie wiedergegeben. Man entnimmt aus ihr, daß die  $C_n$  für  $n = 2$  bis  $n = 5$ , d. h. die zu den internen Wellen zweiter bis fünfter Ordnung gehörenden Strömungen, die zu den Oberflächenseiches gehörenden Strömungen  $C_0$  um ein Mehrfaches übertreffen. Insbesondere zeigt sich, daß die interne Welle erster Ordnung

Legende zu der nebenstehenden Abbildung (Tafel 15)  
Abb. 47 u. 48: Amplitudendichte  $= \bar{A}(\tau)$  im Bereich  $4h \leq \tau \leq 50h$  auf Position Süd für die Stromkomponenten  $u$  (Ost) bzw.  $v$  (Nord).



Tafel 15 (zu W. Krauss)

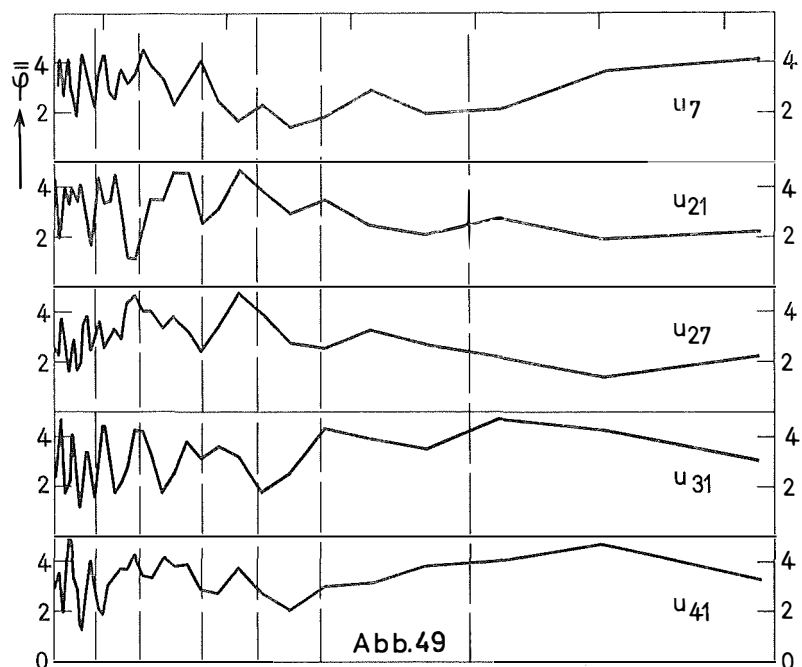


Abb. 49

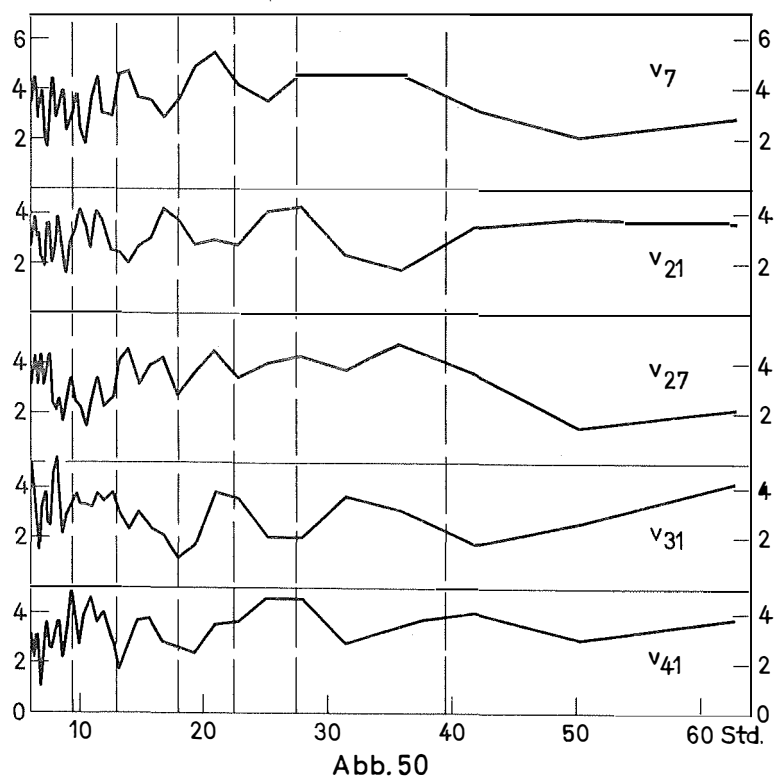


Abb. 50

Tafel 16 (zu W. Krauss)

Tabelle 5. Vergleich zwischen theoretisch berechneten und beobachteten Strömungen auf Mastposition Süd

$Z_i$	$u_\alpha$		$u_\beta$		$v_\alpha$		$v_\beta$	
	beob.	theor.	beob.	theor.	beob.	theor.	beob.	theor.
39,5 <sup>h</sup> -Periode								
7	— 2,15	— 2,11	+ 5,06	+ 4,77	— 2,64	— 2,68	— 1,81	— 1,65
21	— 6,44	— 6,44	+ 4,41	+ 4,43	— 8,12	— 8,13	+ 2,52	+ 2,50
27	— 8,66	— 8,64	+ 8,47	+ 8,30	— 3,80	— 3,82	— 4,63	— 4,54
31	— 4,68	— 4,70	— 9,18	— 8,99	— 5,37	— 5,35	+ 7,84	+ 7,75
41	— 1,67	— 1,70	— 1,70	— 1,44	— 3,42	— 3,39	— 2,90	— 3,05
27,5 <sup>h</sup> -Periode								
7	— 1,15	— 1,15	+ 11,44	+ 10,63	— 1,92	— 1,95	— 6,21	— 5,92
21	— 4,58	— 4,59	— 1,42	— 1,48	— 3,63	— 3,63	— 7,13	— 7,16
27	— 9,74	— 9,74	+ 6,67	+ 6,29	— 2,82	— 2,83	— 5,52	— 5,35
31	— 5,03	— 5,02	— 7,91	— 7,55	— 7,14	— 7,12	+ 16,84	+ 16,65
41	— 3,63	— 3,62	+ 0,73	+ 1,29	— 0,28	— 0,26	— 2,79	— 3,05
22,5 <sup>h</sup> -Periode								
7	— 4,17	— 4,12	+ 4,17	+ 4,28	— 1,91	— 2,06	— 4,51	— 4,60
21	— 1,94	— 1,95	— 1,99	— 2,00	— 5,16	— 5,15	+ 1,60	+ 1,60
27	— 5,78	— 5,75	— 9,08	— 9,02	— 9,20	— 9,24	— 3,90	— 3,91
31	— 2,10	— 2,14	+ 6,78	+ 6,71	— 15,24	— 15,11	— 8,40	— 8,38
41	— 3,14	— 3,18	+ 0,63	+ 0,54	— 5,05	— 4,96	— 2,78	— 2,77
18,0 <sup>h</sup> -Periode								
7	— 7,73	— 7,71	— 9,41	— 9,29	— 2,35	— 2,22	— 1,30	— 1,14
21	— 1,57	— 1,57	+ 1,07	— 1,06	— 2,74	— 2,75	— 2,32	— 2,33
27	— 5,25	— 5,24	+ 5,14	+ 5,21	— 10,51	— 10,43	+ 3,26	+ 3,35
31	— 9,90	— 9,91	0	— 0,08	+ 5,07	+ 5,00	+ 11,96	+ 11,85
41	— 2,87	— 2,88	+ 0,89	+ 0,78	— 4,46	— 4,58	+ 2,84	+ 2,69
13,0 <sup>h</sup> -Periode								
7	— 5,68	— 5,64	— 11,14	— 11,00	— 2,32	— 2,50	— 2,82	— 2,64
21	— 0,86	— 0,86	+ 2,02	+ 2,01	— 3,91	— 3,89	+ 3,82	+ 3,80
27	— 4,49	— 4,47	— 7,06	— 7,00	— 4,44	— 4,55	— 2,45	— 2,34
31	— 3,72	— 3,75	— 7,31	— 7,39	— 19,20	— 19,08	— 1,93	— 2,05
41	— 3,88	— 3,91	— 2,66	— 2,78	— 3,59	— 3,42	+ 8,46	+ 8,29
9,5 <sup>h</sup> -Periode								
7	— 5,87	— 5,80	+ 0,59	+ 0,71	— 4,23	— 4,23	— 1,79	— 1,87
21	— 3,67	— 3,68	— 4,47	— 4,48	— 4,20	— 4,20	0	+ 0,01
27	— 9,07	— 9,03	— 2,81	— 2,74	— 5,15	— 5,15	+ 2,54	+ 2,50
31	— 7,46	— 7,50	+ 7,29	+ 7,21	— 8,28	— 8,28	— 3,51	— 3,46
41	— 1,99	— 2,05	+ 1,94	+ 1,83	— 1,36	— 1,37	— 2,67	— 2,60

(C<sub>1</sub>) generell ohne Bedeutung ist und daß die internen Wellen dritter und vierter Ordnung (C<sub>3</sub> und C<sub>4</sub>) die maximalen Werte besitzen. Eine Begründung, weshalb die internen Wellen höherer Ordnung so stark angeregt werden, läßt sich z. Z. nicht angeben.

Tabelle 5 gibt eine Gegenüberstellung von theoretisch nach Formel (3.9) berechneten und beobachteten Strömungen für die einzelnen Seichesperioden in Abhängigkeit von den Tiefen z.

#### Legende zu den nebenstehenden Abbildungen (Tafel 16)

Abb. 49 u. 50: Phasenverteilung  $\bar{\varphi}$  (im Bogenmaß) im Bereich  $4h \leq \tau \leq 50h$  auf Position Süd für die Stromkomponenten u (Ost) bzw. v (Nord).

Die Werte stimmen praktisch völlig überein, was nur bedeutet, daß es möglich ist, mit 5 internen Wellen und einer Oberflächenwelle die wirklichen Verhältnisse vollkommen darzustellen. Das eigentliche Resultat stellen die für diese Übereinstimmung notwendigen Amplituden der internen Wellen (Tabelle 4) dar, die selbst Relativwerte sind. Absolute Geschwindigkeitswerte sind in Tabelle 6 für die 39,5<sup>h</sup>-Welle als Beispiel angegeben.

Tabelle 6. Absolutwerte [cm/sec] der Geschwindigkeitskomponente  $v_\alpha$  für die 39,5<sup>h</sup>-Periode

$Z_i$ [m]	Oberflächen-seiches	Interne Seiches					Resul-tierender Strom
		1. Ord-nung	2. Ord-nung	3. Ord-nung	4. Ord-nung	5. Ord-nung	
7	— 3,26	— 0,01	— 3,39	+ 5,81	— 3,89	+ 2,06	— 2,68
21	— 3,26	— 0,01	+ 0,45	— 9,03	+ 10,33	— 6,62	— 8,13
27	— 3,26	0,00	+ 6,99	— 16,16	+ 1,46	+ 7,14	— 3,82
31	— 3,26	0,00	+ 9,68	— 0,66	— 13,06	+ 1,96	— 5,35
41	— 3,26	+ 0,02	— 6,38	— 3,25	+ 3,89	+ 5,59	— 3,39

Die große Bedeutung, die interne Wellen für die Strömungsstruktur in der Ostsee besitzen, geht aus den Beobachtungen (Abb. 47 und 48) auch unmittelbar hervor, da die  $u(z)$  und  $v(z)$  für alle angegebenen Periodenbereiche von starker vertikaler Veränderlichkeit sind. Würden nur Oberflächenseiches für die Strömung maßgebend sein, so müßten  $u(z)$  und  $v(z)$  nahezu tiefenunabhängig sein. Dasselbe wäre der Fall, wenn die internen Seiches die Wellenlänge der Oberflächenseiches hätten. Dann wäre ihr Anteil bei den Seichesperioden  $\tau_i$  Null. Die Resultate zeigen, daß dies nicht der Fall ist. In der Ostsee tritt somit das Seichessystem auf, in dem Oberflächen- und interne Seiches dieselbe Periode haben und die internen Seiches Wellenlängen besitzen, wie sie in den Abb. 42—45 gezeichnet sind. (Interne Seiches 1. Art).

Herr Dr. L. MAGAARD führte die Berechnung der Eigenfunktionen für die Stationen 2—82 sowie die Horizontal-Integration in den Jahren 1959—60 auf der elektronischen Rechenmaschine Z 22 der Universität Kiel mit Mitteln der Deutschen Forschungsgemeinschaft durch. Die Berechnung der Spektren sowie die Koeffizientenbestimmung erfolgte durch Herrn cand. rer. nat. D. GEYER auf der X 1 der Universität Kiel.

Der Deutschen Forschungsgemeinschaft, dem Leiter des Rechenzentrums Prof. Dr. K. H. WEISE und den genannten Herren sei auch an dieser Stelle für ihre Hilfe gedankt.

#### Literaturverzeichnis

- FJELDSTAD, J. E. (1933): Interne Wellen. Geofys. Publikasjoner X, 6. — KRAUSS, W. und MAGAARD, L. (1962): Zum System der Eigenschwingungen der Ostsee, Kieler Meeresf. 18, 184. — LISITZIN, E. (1959): Beitrag zur Kenntnis der Eigenschwingungen der Ostsee. Bericht der Konferenz der Baltischen Ozeanographen (unveröffentl.). — MAGAARD, L. (1962): Zur Berechnung interner Wellen in Meeresräumen mit nicht-ebenen Böden und einer speziellen Dichteverteilung, Kieler Meeresf. 18, 161. — MUNK, W. H. (1941): Internal waves in the Gulf of California. J. Marine Res. 4, 81. — NEUMANN, G. (1941): Eigenschwingungen der Ostsee. Archiv d. Seewarte und Marineobservatorien, 61, 4. — PETTERSSON, O. (1909): Gezeitenähnliche Bewegungen des Tiefenwassers. Publ. Circ. Cons. int. Explor. Mer. 47, 1. — WÜST, G. (1957): Ergebnisse eines hydrographisch-produktionsbiologischen Längsschnittes durch die Ostsee im Sommer 1956. Teil 1: Die Verteilung von Temperatur, Salzgehalt und Dichte. Kieler Meeresf. 13, 163.